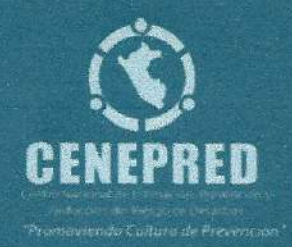


Ministerio de Vivienda, Construcción y Saneamiento

Programa Nacional de Vivienda Rural





INFORME DE EVALUACIÓN DE RIESGOS POR INUNDACIÓN PLUVIAL, DEL DISTRITO DE MORROPE SECTOR 1, PROVINCIA DE LAMBAYEQUE, DEPARTAMENTO DE LAMBAYEQUE



NOVIEMBRE - 2018

ELABORACIÓN DEL INFORME TÉCNICO

Municipalidad Distrital de MORROPE, SECTOR 1, PROVINCIA LAMBAYEQUE DEL DEPARTAMENTO DE LAMBAYEQUE

ASISTENCIA TÉCNICA Y ACOMPAÑAMIENTO DEL CENEPRED:

Mg. Lic. Félix Eduardo Romaní Seminario Responsable de la Dirección de Gestión de Procesos

Supervisor de CENEPRED Ing. Eduardo Perez Tipula Dirección de Gestión de Procesos

ASISTENCIA TÉCNICA DEL PROGRAMA NACIONAL DE VIVIENDA RURAL-MVCS

Evaluador de Riesgo Ing. Geógrafa Tania Mirtha Ríos Araujo

Equipo Técnico de apoyo:
Profesional de Apoyo SIG Ing. Geógrafo Eduardo Aguero
Profesional de Apoyo Geología Ing. Geóloga María
Profesional de Apoyo Meteorología Ing. Meteoróloga Marisela Rivera

dw

TANIA MIRTHA RIOS ARAUJO INGENIERA GEOGRAFA Reg. CIR. Nº 79935

CONTENIDO

PRES	SENTACIÓN	5
INTR	ODUCCIÓN	6
CAPI	TULO I: ASPECTOS GENERALES	7
1.1	Objetivo General	7
1.2	Objetivos específicos	7
1.3	Finalidad	7
1.4	Justificación	7
1.4	Antecedentes	8
1.5	Marco normativo	9
CAPI	TULO II: CARACTERISTICAS GENERALES DEL AREA DE ESTUDIO	10
2.1	Ubicación	10
2.2	Vias de acceso	13
2.3	Características sociales	13
	2.3.1 Población	11
	2.3.2 Vivienda	20
	2.3.3 Abastecimiento de Agua	28
	2.3.4 Servicios Higiénicos	32
	2.3.5 Tipo de Alumbrado	36
	2.3.6 Educación	40
	2.3.7 Salud	45
2.4	Características económicas	51
2.5	Características físicas	56
	2.5.1 Geología	56
	2.5.2 Geomorfología	59
	2.5.3 Pendientes	61
	2.5.4 Condiciones Climatológicas	62
	2.5.4.1 Clasificación climática	62
	2.5.4.2 Clima	62
	2.5.4.3 Precipitaciones extremas	63
	5.7% Antition his interestable the anti-industrial and industrial	UJ
CAPI	TULO III: DETERMINACIÓN DEL NIVEL DE PELIGROSIDAD	67
3.1	Metodología para la determinación del peligro	67
3.2	Recopilación y análisis de información	67
3.3	Identificación del peligro	68
3.4	Caracterización del peligro	68
3.5	Ponderación de los Parámetros de evaluación de los peligros	69
3.6	Susceptibilidad del territorio	70
	3.6.1 Análisis del Factor desencadenante	70
	3.6.2 Análisis de los Factores condicionantes	71
3.7	Análisis de Elementos Expuestos	75
3.8	Definición de Escenarios	77
3.9	Niveles de peligro	77
3 10	Estratificación del Nivel de Peligro	77

TANIA MIRTHA RÍOS ARAU. INGENIERA GEOGRAFA Reg. CIP. Nº 79935



3.11	Mapa de Peligros	79
CAP	ITULO IV: ANÁLISIS DE LA VULNERABILIDAD	79
4.1	Metodología para el análisis de la vulnerabilidad	79
4.2	Análisis de la Dimensión Social	79
	4.2.1 Análisis de la Exposición en la Dimensión Social	80
	4.2.2 Análisis de la Fragilidad en la DimensiónSocial	80
	4.2.3 Análisis de la Resiliencia en la Dimensión Social	84
4.3	Análisis de la Dimensión Económica	89
	4.3.1 Análisis de la Exposición en la Dimensión Económica	90
	4.3.2 Análisis de la Fragilidad en la Dimensión Económica	90
	4.3.3 Análisis de la Resiliencia en la Dimensión Económica	94
4.4	Niveles de vulnerabilidad	99
4.5	Estratificación de la vulnerabilidad	99
4.6	Mapa de vulnerabilidad	100
CAPI	ITULO V: CÁLCULO DEL RIESGO	117
5.1	Metodología para la Determinación de los niveles de Riesgo	117
5.2	Determinación de los Niveles del riesgo	117
	5.2.1 Niveles de riesgo	117
	5.2.2 Matriz del riesgo	118
	5.2.3 Estratificación del nivel del riesgo	118
	5.2.4 Mapa de riesgos	120
5.3	Cálculo de posibles pérdidas (cualitativa y cuantitativa)	137
5.4	Medidas de Prevención y Reducción de Riesgos de Desastres	137
	5.4.1 De orden Estructural	137
	5.4.2 Medidas No Estructurales	138
CAPI	ITULO VI: CONTROL DEL RIESGO	139
6.1	Aceptabilidad o tolerancia del riesgo	139
6.4	Bibliografía	142
6.5	Anexo	143

TANIA MIRTHA RÍOS ARAUJO INGENIERA GEOGRAFA Reg. CIP. Nº 79935



PRESENTACIÓN

Mediante la Ley Nº 30290, Ley que establece medidas para promover la ejecución de viviendas rurales seguras e idóneas en el ámbito rural, se establece que el Ministerio de Vivienda, Construcción y Saneamiento-MVCS, a través del Programa Nacional de Vivienda Rural (PNVR), desarrolle acciones de construcción, reconstrucción, reforzamiento, confort térmico y mejoramiento de viviendas rurales seguras e idóneas, para lo cual se requiere entre otras condiciones, que la población vulnerable o afectada no este asentada en las zonas de riesgo no mitigable.

En el marco del Decreto de las Declaratorias de Estado de Emergencia por el Fenómeno "El Niño Costero 2017" y por la Ley Nº 30556, Ley que aprueba disposiciones de carácter extraordinario para las intervenciones del Gobierno Nacional frente a los desastre y que dispone la creación de la Autoridad para la Reconstrucción con Cambios; y, sus modificatorias, en su Octava Disposición Complementaria Final, se establece que para declarar zonas de riesgo no mitigable se necesita contar con información de Evaluación de Riesgo de Desastre, las mismas que se encargan al Centro Nacional de Estimación, Prevención y Reducción de Riesgo de Desastre – CENEPRED

Al respecto, de acuerdo al Convenio de Cooperación Interinstitucional entre el Ministerio de Vivienda, Construcción y Saneamiento- MVCS y el Centro Nacional de Estimación, Prevención y Reducción del Riesgo de Desastre-CENEPRED, el Programa Nacional de Vivienda Rural (PNVR) del MVCS ha programado, en una segunda fase, la elaboración de (ciento treinta y ocho) 138 informe de Evaluación de Riesgo (EVAR) comprendidos en cincuenta y uno (51) distritos a nivel nacional, en un plazo no mayor de 30 días, entre los cuales se encuentra comprendido los sectores 1, 2 y 3 del distrito de Morrope.

Para el desarrollo del presente informe se realizaron las coordinaciones con los funcionarios de la Municipalidad distrital de Morrope, para el reconocimiento de campo así como para el levantamiento de la información, insumos principales para la elaboración del respectivo Informe EVAR, asimismo, con la Comisión de Formalización de la Propiedad Informal (COFOPRI) e Instituto de Estadística e Informática (INEI).

En el presente informe se ha aplicado la metodología del "Manual para la Evaluación de Riesgos originados por Fenómenos Naturales", 2da Versión, el cual permite: analizar parámetros de evaluación y susceptibilidad (factores condicionantes y desencadenantes) de los fenómenos o peligros; analizar la vulnerabilidad de elementos expuestos al fenómeno en función a la fragilidad y resiliencia y determinar y zonificar los niveles de riesgos y la formulación de recomendaciones vinculadas a la prevención y/o reducción de riesgos en las áreas geográficas objetos de evaluación.

gue

TANIA MIRTHA RIOS ARAUJO INGENIERA GEOGRAFA Reg. CIP. Nº 79935

INTRODUCCION

El presente Informe de Evaluación del Riesgo por inundación pluvial permite analizar el impacto potencial del área de influencia de la inundación pluvial en los sectores del distrito de Morrope en caso de presentarse un "Niño Costero" de intensidad similar a lo acontecido en el verano 2017.

El día 18 del mes de marzo del 2017, los sectores 1, 2 y 3 pertenecientes al distrito de Morrope, presentaron lluvias intensas calificadas, según el Percentil 99 (P₉₉)¹ como "Extremadamente lluvioso", como parte de la presencia de "El Niño Costero 2017", causando desastres en los sectores 1, 2 y 3.

La ocurrencia de los desastres es uno de los factores que mayor destrucción causa debido a la ausencia de medidas y/o acciones que puedan garantizar las condiciones de estabilidad física en su hábitat.

En el primer capítulo del informe, se desarrolla los aspectos generales, entre los que se destaca los objetivos, tanto el general como los específicos, la justificación que motiva la elaboración de la Evaluación del Riesgo de los sectores y el marco normativo. En el segundo capítulo, se describe las características generales del área de estudio, como ubicación geográfica, características físicas, sociales, económicas, entre otros.

En el tercer capítulo, se desarrolla la determinación del peligro, en el cual se identifica su área de influencia en función a sus factores condicionantes y desencadenante para la definición de sus niveles, representándose en el mapa de peligro. El cuarto capítulo comprende el análisis de la vulnerabilidad en sus dos dimensiones, el social y el económico. Cada dimensión de la vulnerabilidad se evalúa con sus respectivos factores: fragilidad y resiliencia, para definir los niveles de vulnerabilidad, representándose en el mapa respectivo.

En el quinto capítulo, se contempla el procedimiento para cálculo del riesgo, que permite identificar el nivel del riesgo por inundaciones pluviales del centro poblado y el mapa de riesgo como resultado de la evaluación del peligro y la vulnerabilidad.

Finalmente, en el sexto capítulo, se evalúa el control del riesgo, para identificar la aceptabilidad o tolerancia del riesgo.

TANIA MIRTHA RIOS ARAUJO INGENIERA GEOGRAFA Reg. CIP. Nº 79935

die

CAPITULO I: ASPECTOS GENERALES

1.1. OBJETIVO GENERAL

 Determinar el nivel del riesgo por inundación pluvial del sector 1 del distrito de Morrope, provincia de Lambayeque, departamento de Lambayeque.

1.2. OBJETIVOS ESPECÍFICOS

- Identificar y determinar los niveles de peligro y elaborar el mapa de peligro del área de influencia
- Analizar ydeterminar los niveles de vulnerabilidad, y elaborar el mapa de vulnerabilidad.
- Establecer los niveles del riesgo y elaborar el mapa de riesgos, evaluando la aceptabilidad o tolerabilidad del riesgo.
- Recomendar medidas de control del riesgo.

1.3. FINALIDAD

Contribuir con un documento técnico para que la autoridad que corresponda en el marco de lo estipulado según la normativa vigente, tome las decisiones adecuadas para la prevención de riesgos de desastres.

1.4. JUSTIFICACIÓN

La Ley N° 30556, publicado en el diario oficial El Peruano el 29 de abril del 2017, precisa en la cuarta disposición complementaria finales la determinación de zonas de muy alto riesgo que califican como nivel de emergencia 4 y 5 . Según el contexto antes señalado, el Centro Nacional de Estimación, Prevención y Reducción del Riesgo de Desastres - CENEPRED determina las zonas de riesgo alto y muy alto que califican como nivel de emergencia 4 y 5 para los fines de la presente Ley, e informa a la Autoridad..

Según el contexto antes señalado, se reubicará a los damnificados que se ubiquen en zonas de alto riesgo no mitigable bajo la modalidad de vivienda nueva y se reconstruirán las viviendas de los damnificados que se ubiquen en zonas de riesgo mitigable bajo la modalidad de construcción en sitio propio. Todo ello previa declaración de zona de alto riesgo no mitigable y/o mitigable por parte del Ministerio de Vivienda, Construcción y Saneamiento, para aquellos casos en que los gobiernos locales no hayan efectuado tal declaratoria. Para tales fines, dicha declaratoria será dada por Resolución Ministerial, siendo necesarias las evaluaciones de riesgos que ha de elaborar el CENEPRED sobre las zonas afectadas. Por lo tanto, la presente evaluación de riesgos, no sólo resulta justificable, también resulta relevante, toda vez que permitirá definir la modalidad de intervención del Ministerio de Vivienda, Construcción y Saneamiento en el sector 1 del distrio de Morrope en aras de brindar una adecuada atención de las familias damnificadas.

to

TANIA MIRTHA RIGS ARAUJO INGENIERA GEOGRAFA Reg. CIP. Nº 79935

1.5. ANTECEDENTES

En el año de 1982 -1983 se manifestó la presencia del Fenómeno del Niño, afectando principalmente a los departamentos de la zona norte del país como Tumbes, Piura y Lambayeque, provocando grandes daños a la población, infraestructura vial, agrícola, urbana entre otros. Las características principales que permitieron la inundación en estas zonas fueron la casi nula pendiente, la falta de un buen sistema de drenaje que facilite la evacuación de las aguas producto de las lluvias intensas y la falta de obras de prevención.

En el Fenómeno El Niño 97 – 98, se incremento el caudal de los ríos en forma extraordinaria debido a las altas concentraciones de precipitación pluvial, generando pérdidas de áreas de cultivo, viviendas colapsadas, vías de comunicación interrumpidas, entre otros.

Cuando ocurre un fenómeno El Niño extraordinario, la temperatura del agua del mar aumenta en toda la franja ecuatrorial del océano Pacífico, hasta la cosata norte de Estados Unidos y lo efectos se sienten en todo el mundo (ejem. Lluvias amazónicas débiles en India, inviernos mas fríos en Europa, Tifones en Asia y sequías en Indonesia y Australia; WWF, 2017). Pero cuando este calentamiento en las aguas del mar se da solo en las costas de Perú y Ecuador, las anomalías como lluvias fuertes, se restringen a estos dos países, a este evento se deonminó "Niño Costero". La evolución de este evento frente a las costas del Perú, puede ser visto en los comunicados oficiales proporcionados por el comité multisectorial encargado del "Estudio Nacional del Fenómeno el Niños" (ENFEN)1.

Desde el enero, febrero y marzo del 2017, se han registrado fuertes precipitaciones pluviales, ocasionando inundaciones, afectando viviendas, vías de comunicación instituciones educativas, centros de salud y áreas de cultivo.

Las Iluvias fuertes se presentaron en el mes de marzo, se desbordó el río La Leche afectando seriamente a Illimo, Morrope, caseríos aledaños como Las Juntas, Colche, Progreso y San Juan entre otros, que los dejaron completamente inundados y sin conexión con Lambayeque.

En la región Lambayeque, según cifras oficiales del INDECI hasta el mes de junio, los daños causados por el evento El Niño Costero fueron de 54,069 damnificados, 131,419 personas afectadas, 9 personas fallecidas y 5 heridas. En cuanto a los daños en viviendas se tiene 11,728 destruidas y 29,456 afectadas e inhabitables; los daños en carreteras alcanzan los 98km destruidas y 120km afectados; 336km de caminos rurales destruidos y 568km afectados. El número de puentes destruidos es de 63 y 80 puentes afectados; en la agricultura se tiene 2,301 Ha de cultivo perdido y 2,563Ha de cultivo afectada (INDECI, 2017).

El distrito de Mórrope de la Región Lambayeque, tiene la mayor cantidad de damnificados con 7376 habitantes, seguido por el distrito de Chiclayo con 6250 damnificados, distrito de Túcume con 5950,

Página8 | 144



TANIA MIRTHA ROS ARAUJO INGENIERA GEOGRAFA Reg. CIP. N. 19935

¹ Informe Técnico N° A6766. Evaluación geológica de las zonas afectadas por el Niño Costero 2017.

José L. Ortiz con 5626. (Reporte de Situación N° 10; Perú: Temporada de Lluvias, de la Red Humanitaria Nacional, al 10 de mayo del 2017).

Considerándose las intensas precipitaciones pluviales ocurridas en el 2017, la Presidencia de Consejo de Ministros con Decreto Supremo N° 011-2017-PCM de fecha 02 de febrero de 2017, declara el Estado de Emergencia en los departamentos de Tumbes, Piura y Lambayeque, por un plazo de sesenta (60) días calendarios, para la ejecución de acciones de excepción inmediatas y necesarias de respuesta y rehabilitación que correspondan.

Con Decreto Supremo N° 052-207-PCM se prorroga el Estado de Emergencia en los departamentos de Tumbes y Lambayeque en un plazo de cuarenta y cinco (45 dias), por desastre a consecuencia de intensas lluvias, para continuar con la ejecución de acciones y medidas de excepción inmediatas y necesarias de respuesta y rehabilitación que corresponsa.

1.6. MARCO NORMATIVO

- Ley N° 29664, que crea el Sistema Nacional de Gestión del Riesgo de Desastres SINAGERD,
- Decreto Supremo N° 048-2011-PCM, Reglamento de la Ley del Sistema Nacional de Gestión del Riesgo de Desastres.
- Ley N° 27867, Ley Orgánica de los Gobiernos Regionales y su modificatorias dispuesta por Ley N° 27902.
- Ley N° 27972, Ley Orgánica de Municipalidades y su modificatoria aprobada por Ley N° 28268.
- Ley N° 29869, Ley de Reasentamiento Poblacional para Zonas de Muy Alto Riesgo No Mitigable.
- Ley N° 30556, Ley que aprueba disposiciones de carácter extraordinario para las intervenciones del Gobierno Nacional frente a desastres y que dispone la creación de la Sutoridad para la Reconstruccion con Cambios.
- Decreto Supremo N° 115-2013-PCM, aprueba el Reglamento de la Ley N° 29869.
- Decreto Supremo N° 126-2013-PCM, modifica el Reglamento de la Ley N° 29869.
- Resolución Jefatural N° 112 2014 CENEPRED/J, que aprueba el "Manual para la Evaluación de Riesgos originados por Fenómenos Naturales", 2da Versión.
- Resolución Ministerial N° 334-2012-PCM, que Aprueba los Lineamientos Técnicos del Proceso de Estimación del Riesgo de Desastres.
- Resolución Ministerial N° 222-2013-PCM, que Aprueba los Lineamientos Técnicos del Proceso de Prevención del Riesgo de Desastres.
- Resolución Ministerial N° 220-2013-PCM, Aprueba los Lineamientos Técnicos para el Proceso de Reducción del Riesgo de Desastres.
- Decreto Supremo Nº 111–2012–PCM, de fecha 02 de noviembre de 2012, que aprueba la Política Nacional de Gestión del Riesgo de Desastres
- Resolución Ministerial N°147-2016-PCM, de fecha 18 julio 2016, que aprueba los Lineamientos para la Implementación del Proceso de Reconstrucción".
- Decreto de Urgencia N°004-2017, de fecha 17 de marzo del 2017, que aprueba medidas para estimular la economía así como para la atención de intervenciones ante la ocurrencia de lluvias y peligros asociados.

the

TANIA MRTHARIOS ARAUJO INGENIERA GEOGRAFA Reg. CIP. W 79935

CAPITULO II:CARACTERÍSTICAS GENERALES

2.1. UBICACIÓN GEOGRÁFICA

El distrito de Morrope es uno de los doce distritos de la provincia de Lambayeque, departamento de Lambayeque y se encuentra ubicado en la parte nor-occidental, a una altura de 16.m.s.n.m., con una superficie de 4,313.89km2, su capital es el Centro Poblado de Morrope.

Morrope se encuentra ubicado entre las siguientes coordenadas geográficas: 6°32'29"latitud Sur y 80°00'54"latitud Oeste

Sus límites son los siguientes:

Por el Norte

: con el distrito de Olmos

Por el Sur

: con el distrito de Lambayeque

Por el Este

: con el distrito de Mochumí, Túcume, Illimo, Pacora.

Por el Oeste

: con el Océano Pacífico.

Piura

Dimos

Salas
Chockope
Metupe

Jayanca

Pacora
Illino
Tucume
Mechani

Lambayese

San Jose

Figura N° 1. Mapa limítrofe de Morrope



TANIA MIRTHA RIOS ARAUJO INGENIERA GEOGRAFA Reg. CIP. N. 79935 Página10 | 144

Presenta los siguientes Caseríos y Centros Poblados:

Caserío Lagunas

Caserio Chepito Alto

Caserio Chepito Bajo

Caserio Arbolsol

Caserio Caracucho

Caserio Transa Sasape

Caserio Tranca Fanupe

Caserio Fanupe Barrio Nuevo

Caserio Casa Blanca

Caserío Monte Verde

Caserio Monte Hermoso

Caserío Las Pampas

Caserio Quemazón

Caserio San Francisco

Caserio Annape

Caserío Angolo 1

Caserio Angolo 2

Caserío Huaca de Barro

Caserio Chepito Olivos

Caserio Lagartera

Caserio Cruz de Medianía

Caserío 25 de Febrero

Caserío San Isidro

Caserio Pedregal

Caserío Sequiones

Caserio Puplan

Caserio Santa Isabel

Caserio San José

Caserio Cucufana

Caserio Yencala León

Caserio Trapiche

Caserio Dos Palos

Caserio Carrizal

Caserio Cartajena

Caserio San Sebastián

Caserio Olleria

Centro Poblado Romero

Centro Poblado Colorada

Centro Poblado Cruz del Medano

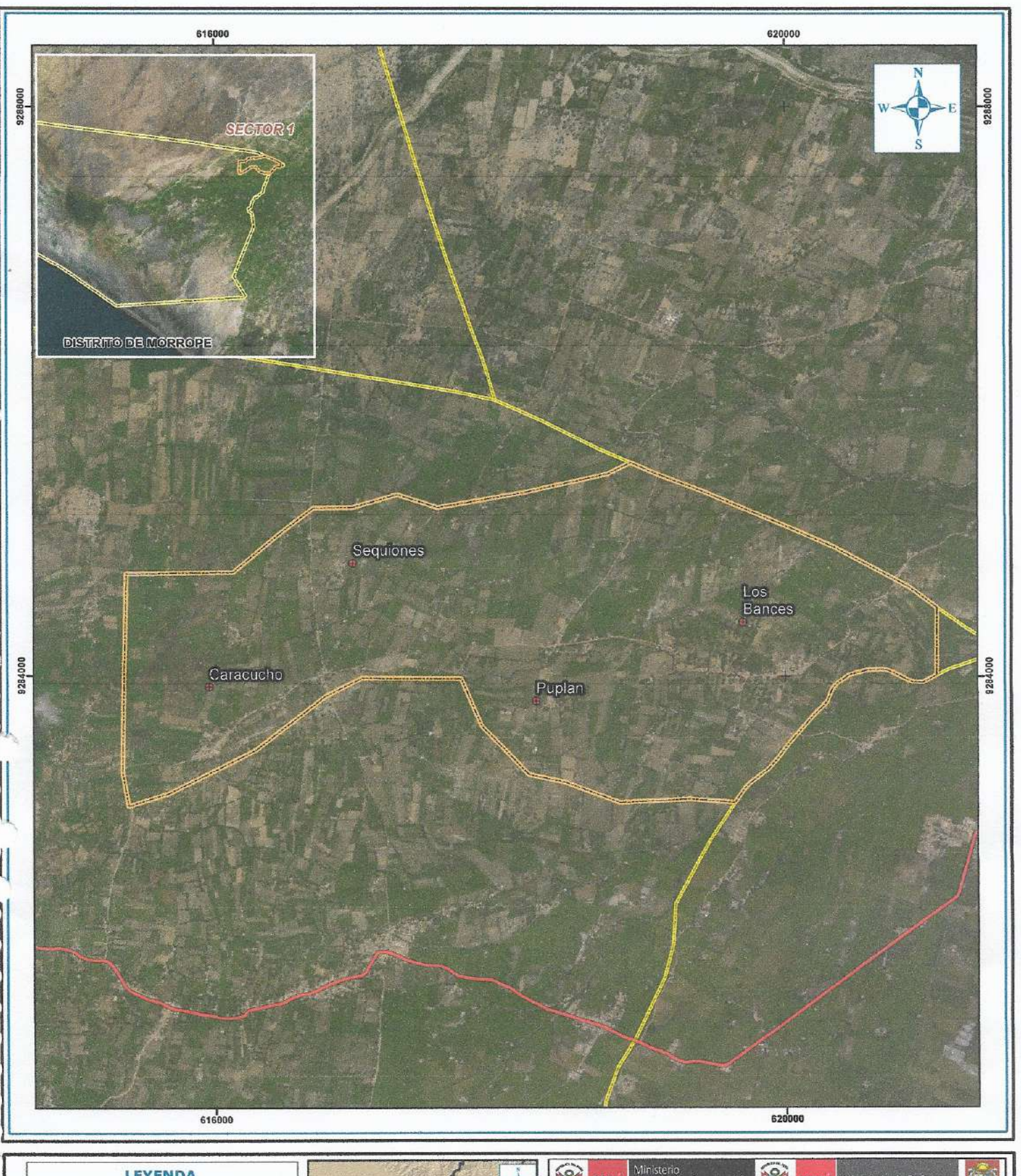
Centro Poblado Positos

El área de estudio es el sector 1 que contiene a los caserios de Sequiones, Puplan, Los Bances y Caracucho y se encuentran dentro de la jurisdicción del Distrito de Morrope perteneciente a la provincia de Lambayeque, departamento de Lambayeque,

Página11 | 144

fo

TANIA MIT HA RIOS ARAUJO INGENIERA GEOGRAFA Reg. CIP. Nº 79935





2.2. VÍAS DE ACCESO

La vía de acceso desde la ciudad de Chiclayo es por la carretera Panamericana Norte totalmente asfaltada, pasando por Lambayeque hasta llegar al distrito de Morrope en auto en 45 minutos aproximadamente, se continúa por la via afirmada hacia los caseríos del sector 1 (Sequiones, Puplan, Los Bances, Caracucho).

2.3. CARACTERÍSTICAS SOCIALES

2.3.1.POBLACIÓN

A. Población Total

Según el "Sistema de Información Estadístico de apoyo a la Prevención a los efectos del Fenómeno de El Niño y otros Fenómenos Naturales" del Instituto Nacional de Estadística e Informática, 2015 y el Censo 2017 INEI, señala que:

SEQUIONES cuenta con la siguiente población:

Cuadro 1. Características de la población de Seguiones según sexo

		The state of the s	
Sexo	Población total	%	
Hombres	172	50	
Mujeres	178	50	
Total de población	350	100	

Fuente: INEI 2015

Gráfico1. Características de la población de Sequiones según sexo



the

TANIA MIRTHA FOS ARAUJO INGENIERA GEOGRAFA Reg. CIP. N. 79935 Página13 | 144

PUPLAN Cuenta con la siguiente población:

Cuadro 2.Características de la población de Puplan según sexo

Sexo	Población total	%	
Hombres	130	48.00	
Mujeres	141	52.00	
Total de población	271	100.00	

Fuente: INEI 2015

Gráfico 2. Características de la población de Puplan según sexo



LOS BANCES, Cuenta con la siguiente población

Cuadro 3. Características de la población de Los Bances según sexo

Sexo	Población total	
Hombres	352	48.90
Mujeres	368	51.10
Total de población	720	100.00

Fuente: INEI 2015

Gráfico 3. Características de la población de Los Bances según sexo



Página14 | 144

do

TANIA MRTHARIOS ARAUJO INGEIJIERA GEOGRAFA Reg. CIP Nº 70025

CARACUCHO, cuenta con la siguiente población

Cuadro 4. Características de la población de Carachuco según sexo

Sexo	Población total %	
Hombres	97	51.60
Mujeres	91	48.40
Total de población	188	100.00

Fuente: INEI

Gráfico 4. Características de la población de Caracucho según sexo



B. Población según grupo de edades

En los siguientes cuadros se puede observar la distribución de la población por grupo etario correspondiente al sector 1 de Morrope

SEQUIONES

Cuadro 5. Población de Sequiones según grupos de edades

Edades	Cantidad	%
Menores de 1 año	8	2.30
De 1 a 2 años	16	4.60
De 3 a 5 años	23	6.60
De 6 a 11 años	59	16.90
De 12 a 17 años	65	18.60
De 18 a 29 años	49	14.00
De 30 a 44 años	58	16.40
De 45 a 59 años	43	12.30
De 60 a 64 años	5 .	1.40
De 65 a 70 años	10	2.90
De 71 a 75 años	9	2.60
De 76 a más años	5	1.40
Total de población	350	100.00

Fuente: INEI 2015

TANIA MA+HARIOS ARAUJO INGENIERA GEOGRAFA Reg. CIP. W 79935

the

Página15 | 144



PUPLAN

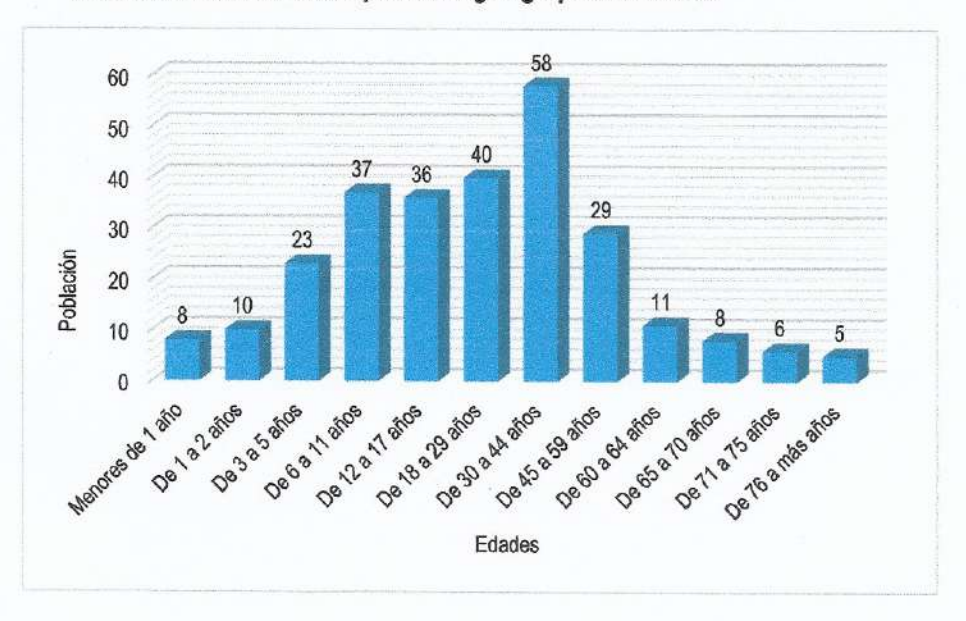
Cuadro 6. Población de Sequiones según grupos de edades

Edades	Cantidad	%
Menores de 1 año	8	3.00
De 1 a 2 años	10	3.70
De 3 a 5 años	23	8.50
De 6 a 11 años	37	13.70
De 12 a 17 años	36	13.20
De 18 a 29 años	40	14.60
De 30 a 44 años	58	21.40
De 45 a 59 años	29	10.70
De 60 a 64 años	11	4.10
De 65 a 70 años	8	3.00
De 71 a 75 años	6	2.20
De 76 a más años	5	1.90
Total de población	271	100.00

da

TANIA VIRTHA RIOS ARAUJO INGENIERI GEOGRAFA Reg. CIP. Nº 79935 Página16 | 144

Gráfico 6. Población de Sequiones según grupos de edades



LOS BANCES

Cuadro 7. Población de Los Bances según grupos de edades

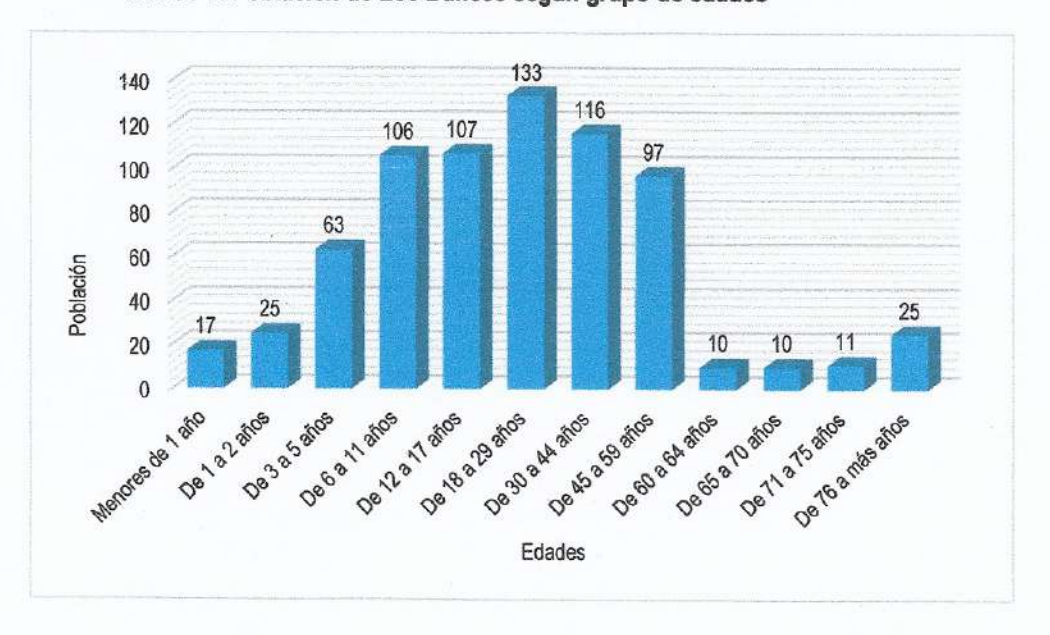
Edades	Cantidad	%
Menores de 1 año	17	2.40
De 1 a 2 años	25	3.50
De 3 a 5 años	63	8.80
De 6 a 11 años	106	14.50
De 12 a 17 años	107	14.90
De 18 a 29 años	133	18.50
De 30 a 44 años	116	16.10
De 45 a 59 años	97	13.50
De 60 a 64 años	10	1.40
De 65 a 70 años	10	1.40
De 71 a 75 años	11	1.50
De 76 a más años	25	3.50
Total de población	720	100.00

Fuente: INEI

ho

TANIA MIRTTA RIOS ARAUJO INGENIERA GEOGRAFA Reg. QIF. Nº 79935 Página17 | 144

Gráfico 7. Población de Los Bances según grupo de edades



CARACUCHO

Cuadro 8. Población de Sequiones según grupos de edades

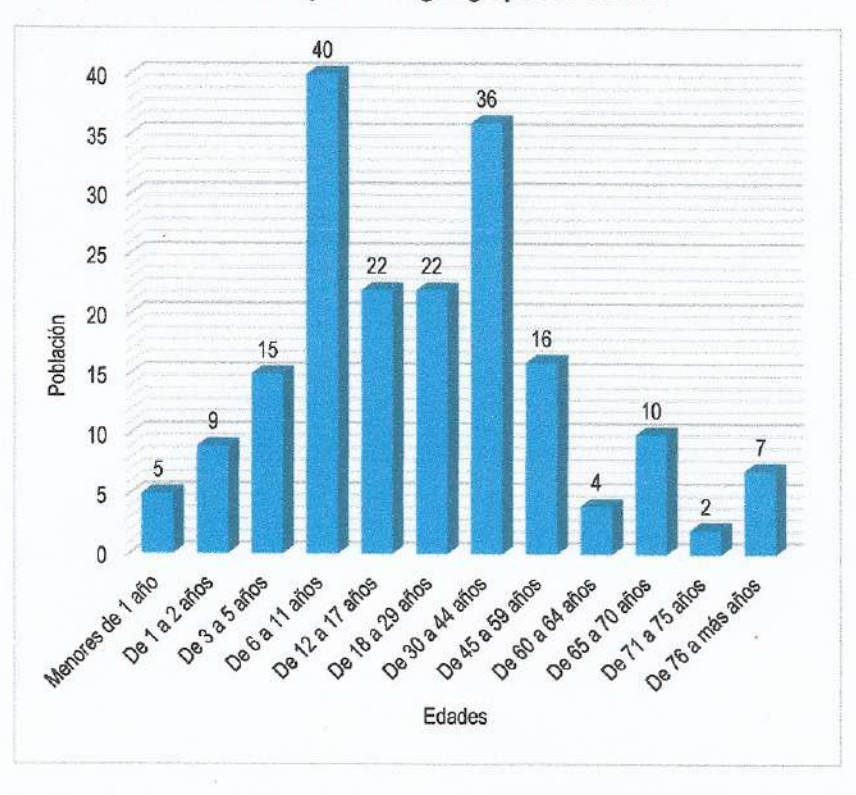
Edades	Cantidad	%
Menores de 1 año	5	2.70
De 1 a 2 años	9	4.80
De 3 a 5 años	15	8.00
De 6 a 11 años	40	21.20
De 12 a 17 años	22	11.70
De 18 a 29 años	22	11.70
De 30 a 44 años	36	19.20
De 45 a 59 años	16	8.50
De 60 a 64 años	4	2.10
De 65 a 70 años	10	5.30
De 71 a 75 años	2	1.10
De 76 a más años	7	3.70
Total de población	188	100.00

Fuente:INEI

A CONTRACTOR OF THE PROPERTY O

TANIA MIRTHA FIOS ARAUJO INGENIERA GEOGRAFA Reg. CIP. Vº 79935 Página18 | 144

Gráfico 8. Población de Sequiones según grupos de edades







2.3.2. VIVIENDA

Según el "Sistema de Información Estadístico de apoyo a la Prevención a los efectos del Fenómeno de El Niño y otros Fenómenos Naturales" del INEI 2015, señala que:

SEQUIONES

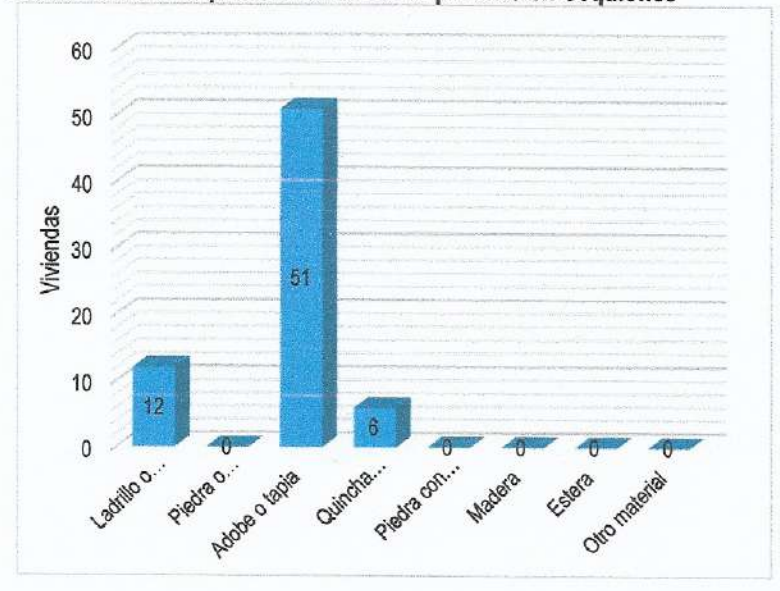
Cuenta con 83 viviendas, siendo el porcentaje más significativo de 51 viviendas que tienen como material predominante las paredes de adobe y es el más vulnerable a las condiciones climatológicas de lluvias intensas siendo los más afectados con probabilidades de colapso.

Cuadro 9. Material predominante de las paredes en Sequiones

Tipo de material predominante de paredes	Viviendas	%
Ladrillo o bloque de cemento	12	17.40
Piedra o sillar con cal o cemento	0	0.00
Adobe o tapia	51	73.90
Quincha (caña con barro)	6	8.70
Piedra con barro	0	0.00
Madera	0	0.00
Estera	0	0.00
Otro material	0	0.00
Total de viviendas	69	100.00

Fuente: INEI 2015

Gráfico 9. Material predominante de las paredes en Sequiones



Página20 | 144

A

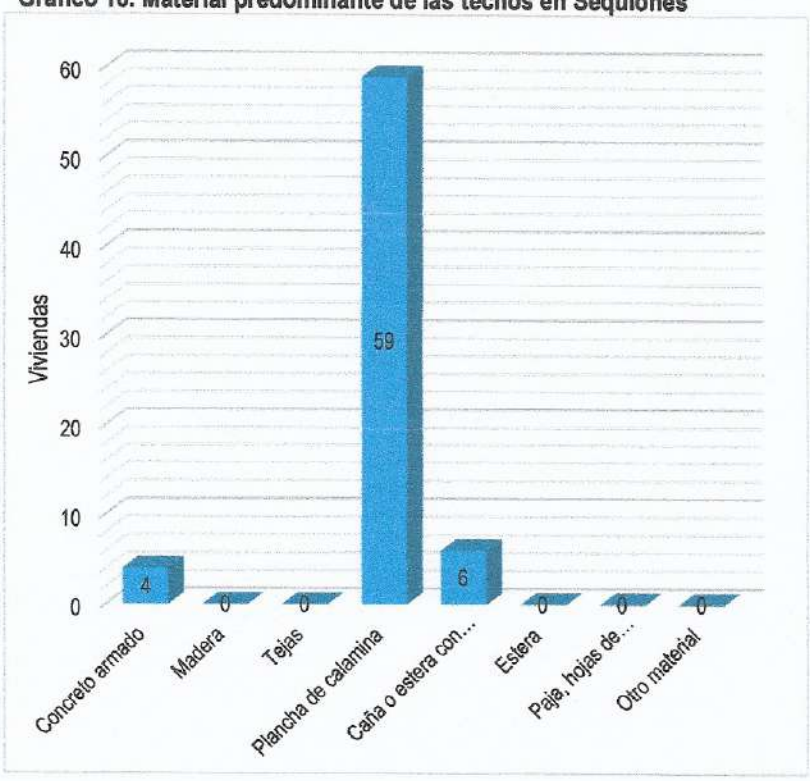
TANIA MIRTHA ZIOS ARAUJO INGENIERA GEOGRAFA Reg. CIP. NY 79935

Del total de viviendas 6 presentan techos de caña o estera con torta de barro siendo las más vulnerables ante lluvias intensas pudiendo colapsar por el peso.

Cuadro 10. Material predominante de las techos en Seguiones

Tipo de material predominante de techos	Viviendas	%
Concreto armado	4	5.80
Madera	0	0.00
Tejas	0	0.00
Plancha de calamina	59	85,50
Caña o estera con torta de barro	6	8.70
Estera	0	0.00
Paja, hojas de palmera	0	0.00
Otro material	0	0.00
Total de viviendas	69	100.00

Gráfico 10. Material predominante de las techos en Sequiones



the

TANIA MATHARIOS ARAUJO INGEWIERA GEOGRAFA Reg. CIP\W° 799 Página21 | 144

PUPLAN

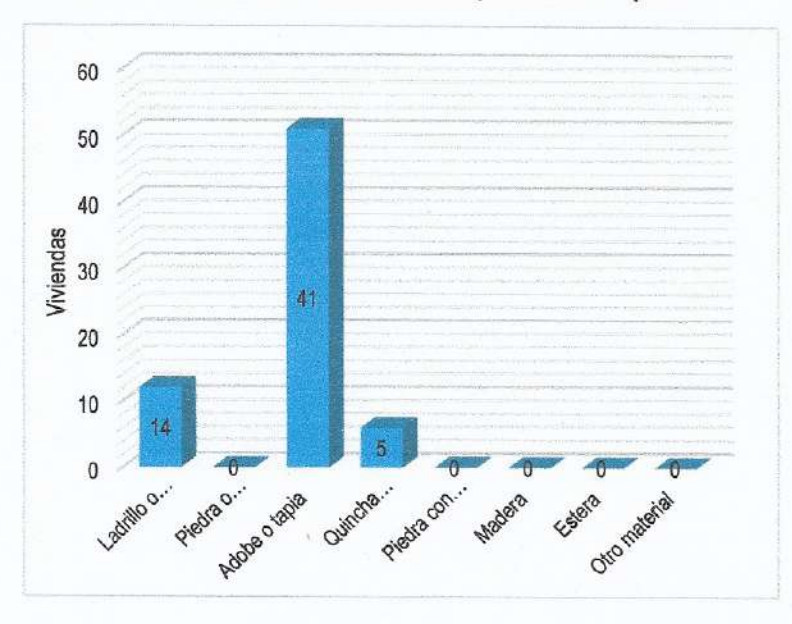
Cuenta con 60 viendas. El material de las paredes de adobe de 41 viviendas son los más vulnerables a las condiciones climatológicas de lluvias intensas, siendo los más afectados con probabilidades de colapso.

Cuadro 11. Material predominante de los paredes en Puplan

Tipo de material predominante de paredes	Viviendas	%
Ladrillo o bloque de cemento	14	23.30
Piedra o sillara con cal o cemento	0	0.00
Adobe o tapia	41	68.40
Quincha (caña con barro)	5	8.30
Piedra con barro	0	0.00
Madera	0	0.00
Estera	0	0.00
Otro material	0	0.00
Total de viviendas	60	100.00

Fuente: INEI 2015

Gráfico 11. Material predominante de las paredes en Puplan



the

TANIA MIRTHA MOS ARAUJO INGEN ERA GEOGRAFA Reg. CIP. M° 79935

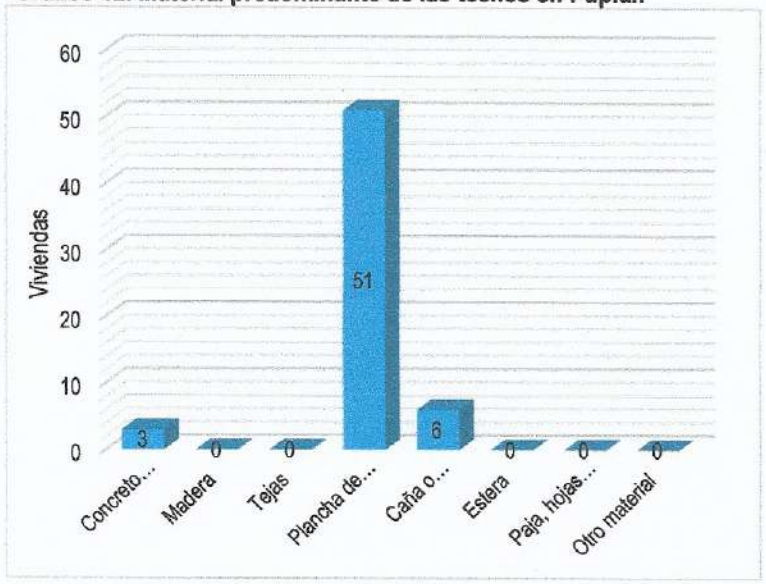
Página22 | 144

Del total de viviendas 6 presentan techos de caña o estera con torta de barro siendo las más vulnerables ante lluvias intensas pudiendo colapsar por el peso.

Cuadro 12. Material predominante de las techos en Puplan

Tipo de material predominante de techos	Viviendas	%
Concreto armado	3	5.00
Madera	0	0.00
Tejas	0	0.00
Plancha de calamina	51	85.00
Caña o estera con torta de barro	6	10.00
Estera	0	0.00
Paja, hojas de palmera	0	0.00
Otro material	0	0.00
Total de viviendas	60	100.00

Gráfico 12. Material predominante de las techos en Puplan



TANIA MIR THA RIOS ARAUJO INGENIERA GEOGRAFA Reg. CIP. N. 79935



BANCES

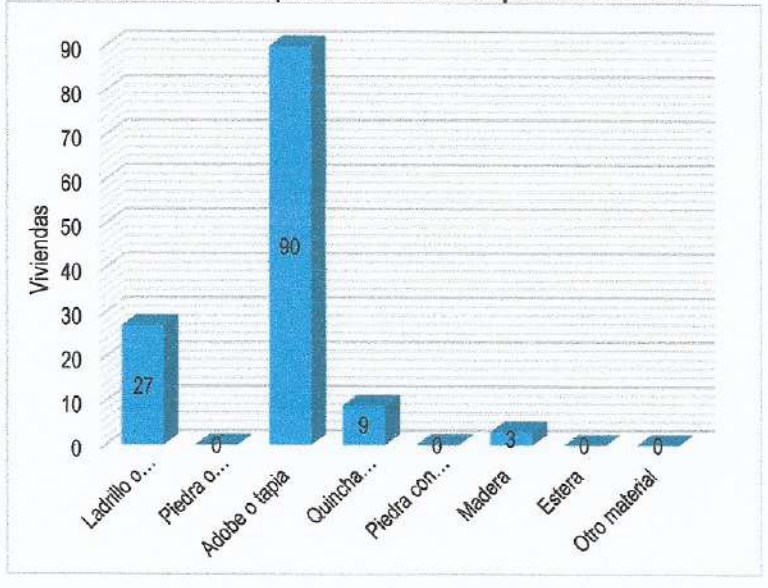
90 viviendas que tienen como material predominante las paredes de adobe y es el más vulnerable a las condiciones climatológicas de lluvias intensas siendo los más afectados con probabilidades de colapso.

Cuadro 13. Material predominante de las paredes en Bances

Tipo de material predominante de paredes	Viviendas	%
Ladrillo o bloque de cemento	27	20.90
Piedra o sillar con cal o cemento	0	0.00
Adobe o tapia	90	69.80
Quincha (caña con barro)	9	7.00
Piedra con barro	0	0.00
Madera	3	2.30
Estera	0	0.00
Otro material	0	0.00
Total de viviendas	129	100.00

Fuente: INEI 2015

Gráfico 13. Material predominante de las paredes en Bances



to

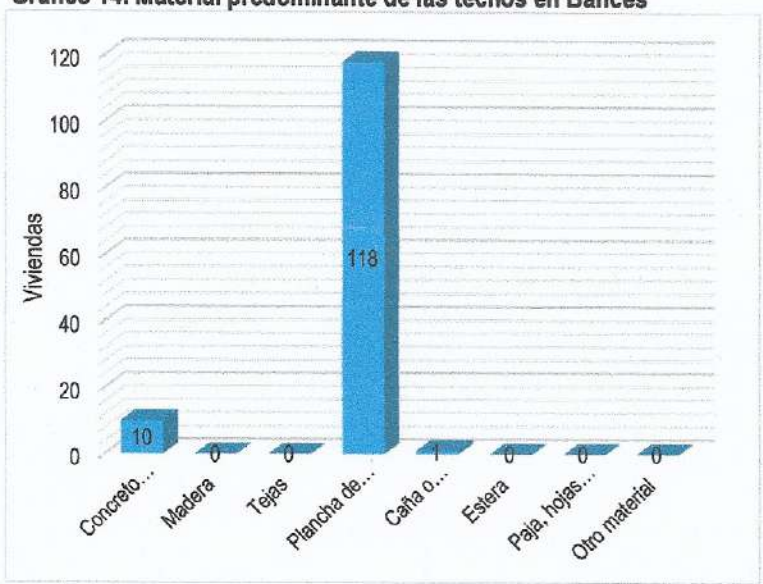
TANIA MRTHARIOS ARAUJO INGENIERA GEOGRAFA Reg. CIFVNº 79935

Del total de viviendas 1 presenta techo de caña o estera con torta de barro siendo las más vulnerables ante lluvias intensas pudiendo colapsar por el peso

Cuadro 14. Material predominante de las techos en Bances

Tipo de material predominante de techos	Viviendas	%
Concreto armado	10	7.80
Madera	0	0.00
Tejas	0	0.00
Plancha de calamina	118	91.40
Caña o estera con torta de barro	1	0.80
Estera	0	0.00
Paja, hojas de palmera	0	0.00
Otro material	0	0.00
Total de viviendas	129	100.00

Gráfico 14. Material predominante de las techos en Bances



TANIA MIRTHA RIOS ARAUJO INGENIERA GEOGRAFA Reg. CIPVNº 79935

the

CARACUCHO

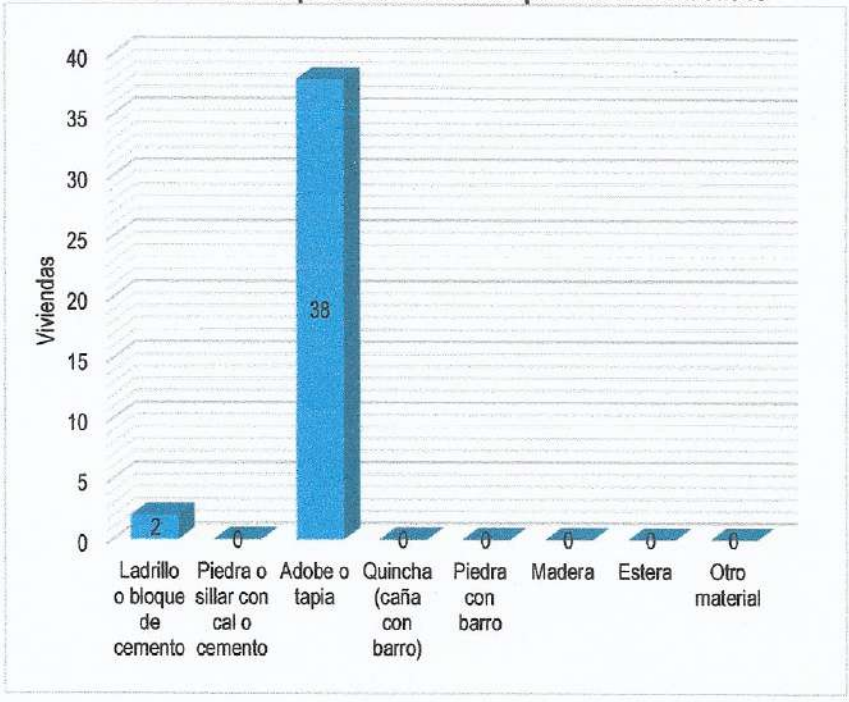
Tiene 40 viviendas, donde el material predominante de las paredes es de adobe correspondiéndole a 38 viviendas.

Cuadro 15. Material predominante de los paredes de Caracucho

Tipo de material predominante de paredes	Viviendas	%
Ladrillo o bloque de cemento	2	5.00
Piedra o sillar con cal o cemento	0	0.00
Adobe o tapia	38	95.00
Quincha (caña con barro)	0	0.00
Piedra con barro	0	0.00
Madera	0	0.00
Estera	0	0.00
Otro material	0	0.00
Total de viviendas	40	100.00

Fuente: INEI 2015

Gráfico 15. Material predominante de las paredes en Caracucho



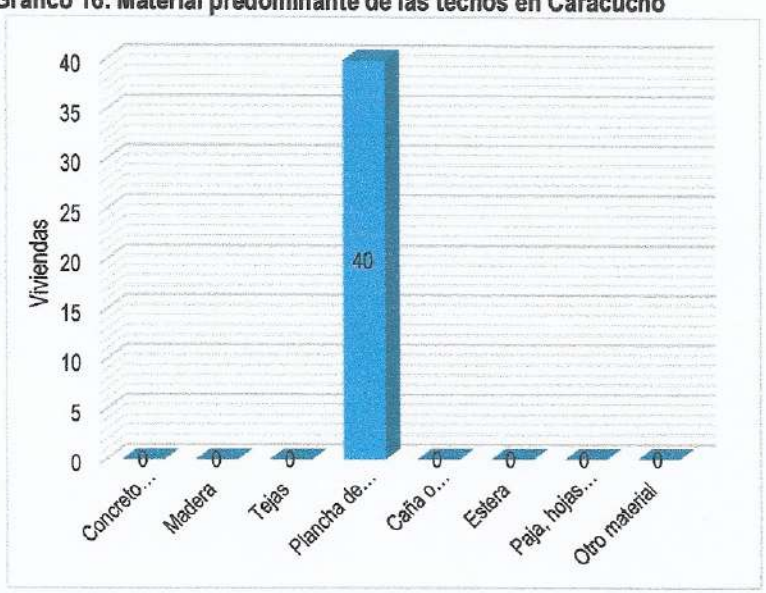
gir

TANIA MIRTHA RIOS ARAUJO INGENIERA GEOGRAFA Reg. CIP. Nº 79935 Página26 | 144

Cuadro 16. Material predominante de las techos en Caracucho

Tipo de material predominante de techos	Viviendas	%
Concreto armado	0	0.00
Madera	0	0.00
Tejas	0	0.00
Plancha de calamina	40	100.00
Caña o estera con torta de barro	0	0.00
Estera	0	0.00
Paja, hojas de palmera	0	0.00
Otro material	0	0.00
Total de viviendas	40	100.00

Gráfico 16. Material predominante de las techos en Caracucho



TANIA MIRTHA KOS ARAUJO INGENIERA GEOGRAFA Reg. CIP. Nº 79935



2.3.3.ABASTECIMIENTO DE AGUA

Generalmente el abastecimiento de agua es a través de la red pública dentro de la vivienda, en menor porcentaje es por medio de pilón de uso público y/o por pozos de agua.

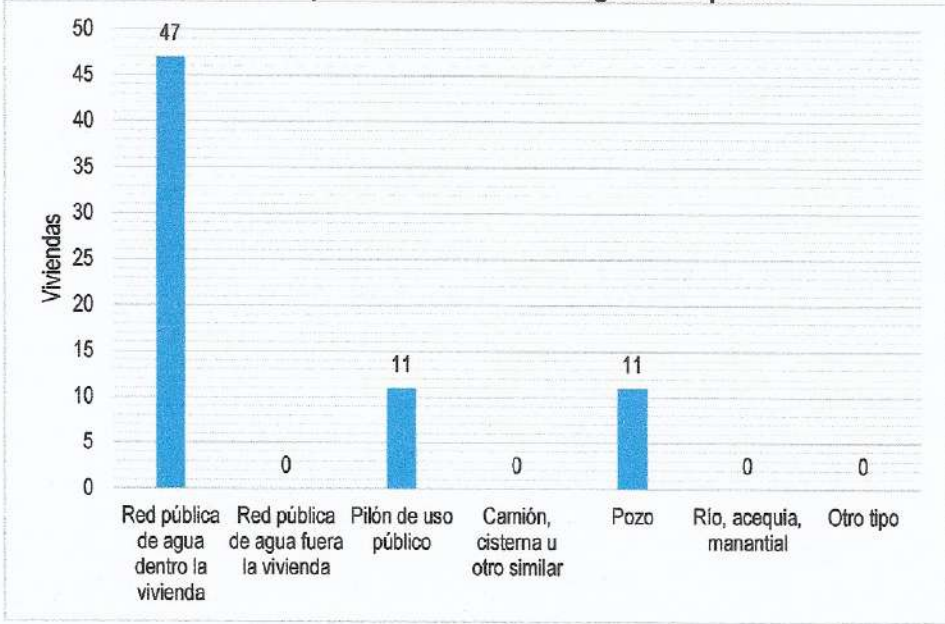
SEQUIONES

Cuadro 17. Tipo de abastecimiento de agua en Sequiones

Viviendas con abastecimiento de agua	Cantidad	%
Red pública de agua dentro la vivienda	47	68.20
Red pública de agua fuera la vivienda	0	0.00
Pilón de uso público	11	15.90
Camión, cisterna u otro similar	0	0.00
Pozo	11	15.90
Río, acequia, manantial	0	0.00
Otro tipo	0	0.00
Total de viviendas	69	100.00

Fuente: INEI 2015





the

TANIA MIR HA ROS ARAUJO INGENIERA GEOGRAFA Reg. CIP. N. 179935

Página28 | 144

PUPLAN

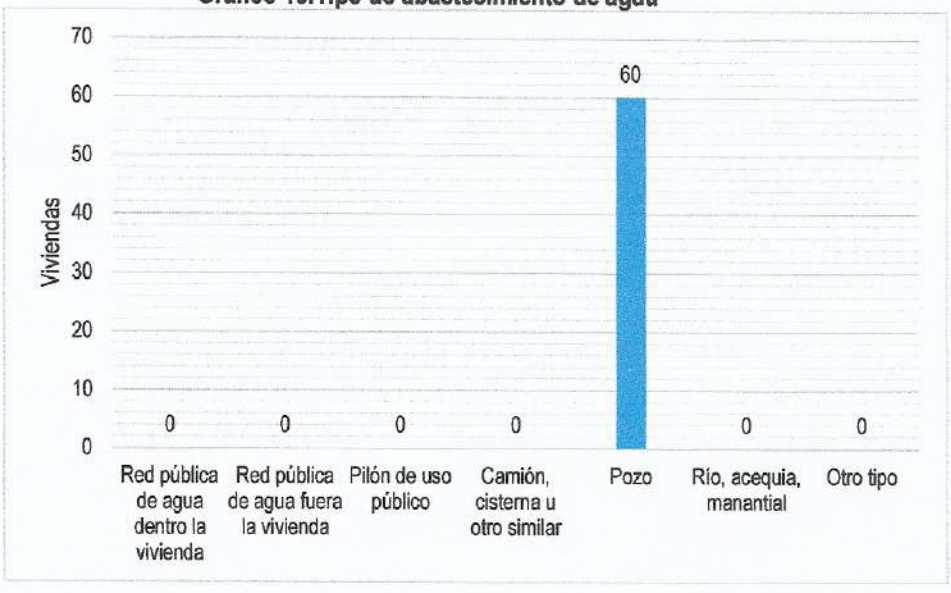
En Puplan las viviendas cuentan con el abastecimiento de agua a través de pozos.

Cuadro 18. Tipo de abastecimiento de aqua

Viviendas con abastecimiento de agua	Cantidad	%
Red pública de agua dentro la vivienda	0	0.00
Red pública de agua fuera la vivienda	0	0.00
Pilón de uso público	0	0.00
Camión, cisterna u otro similar	0	0.00
Pozo	60	100.00
Río, acequia, manantial	0	0.00
Otro tipo	0	0.00
Total de viviendas	60	100.00

Fuente: INEI 2015

Gráfico 18. Tipo de abastecimiento de agua



TANIA MRTHARIOS ARAUJO INGENIERA GEOGRAFA Reg. CIP. Nº 79935

to

LOS BANCES

Las viviendas cuentan con el abastecimiento de agua a través de la red pública dentro de la vivienda y por pozo.

Cuadro 19. Tipo de abastecimiento de agua

Viviendas con abastecimiento de agua	Cantidad	%
Red pública de agua dentro la vivienda	78	60.40
Red pública de agua fuera la vivienda	0	0.00
Pilón de uso público	0	0.00
Camión, cisterna u otro similar	1	0.80
Pozo	50	38.80
Río, acequia, manantial	0	0.00
Otro tipo	0	0.00
Total de viviendas	129	100.00

Fuente: INEI 2015

Gráfico 19. Tipo de abastecimiento de agua 90 78 80 70 60 50 Viviendas 90 90 30 20 10 1 0 0 0 0 Red pública Red pública Pilón de uso Río, acequia, manantial Camión, Pozo Otro tipo de agua fuera público de agua cisterna u dentro la la vivienda otro similar vivienda

And the second

NIA MIP THA PROS ARAUJO INGENERA GEOGRAFA Reg. CIP. Nº 79935

Página30 | 144

CARACUCHO

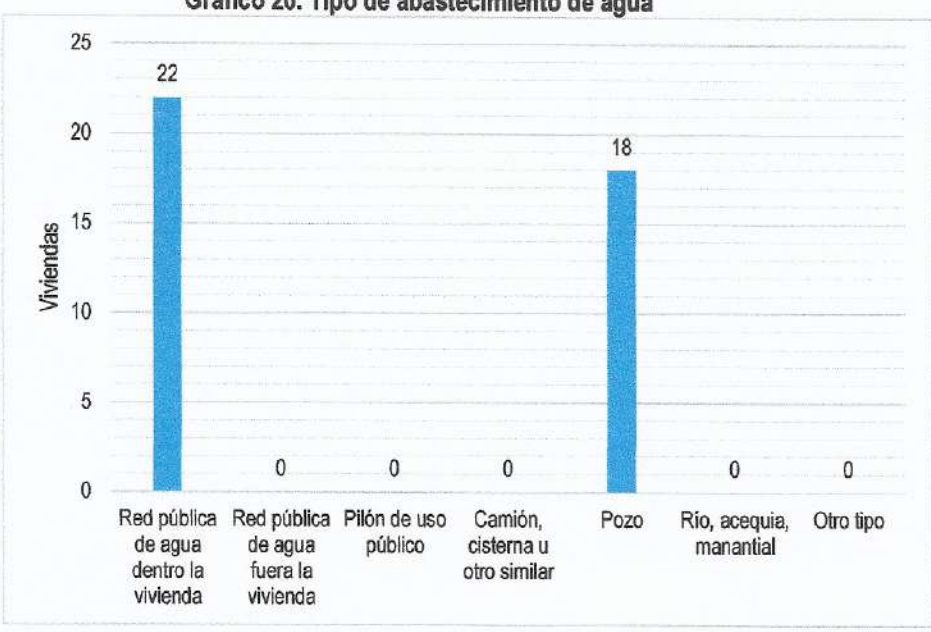
En Caracucho las viviendas cuentan con el abastecimiento de agua dentro de las viviendas y por medio del pozo.

Cuadro 20. Tipo de abastecimiento de aqua

Viviendas con abastecimiento de agua	Cantidad	%
Red pública de agua dentro la vivienda	22	55.00
Red pública de agua fuera la vivienda	0	0.00
Pilón de uso público	0	0.00
Camión, cisterna u otro similar	0	0.00
Pozo	18	45.00
Río, acequia, manantial	0	0.00
Otro tipo	0	0.00
Total de viviendas	40	100.00

Fuente: INEI 2015

Gráfico 20. Tipo de abastecimiento de agua



TOS ARAUJO TANIA MIR INGENIERA GEOGRAFA Reg. CIP. Nº 79935

2.3.4. SERVICIOS HIGIÉNICOS

De acuerdo al "Sistema de información estadístico sobre la prevención a los efectos del fenómenos del Niño y otros fenómenos naturales" del INEI 2015, se tiene que:

Las viviendas no tienen conección a la red pública de desague, la mayoría de viviendas presentan letrinas que si no se ha tenido una capacitación para el uso adecuado puede generar un foco infeccioso para los usuarios. Así mismo, en menor porcentaje, existen viviendas sin letrinas y que no tienen ningún tipo de servicio higiénico realizando sus deposiciones al aire libre convirtiéndose en un riesgo para la salud de la población que reside en el caserío.

SEQUIONES

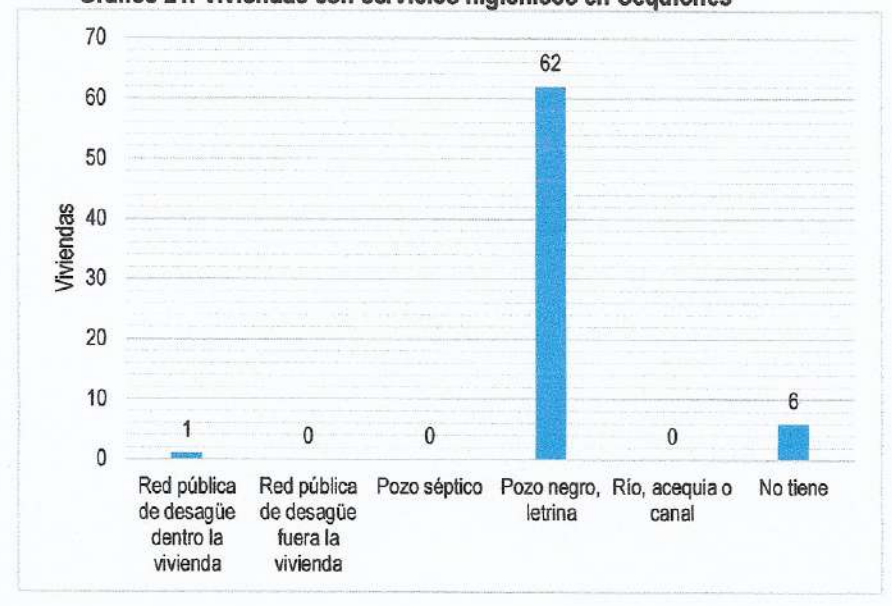
En Sequiones 62 viviendas utilizan pozo negro o letrina fuera de la vivienda.

Cuadro 21. Viviendas con servicios higiénicos en Seguiones

Disponibilidad de servicios higiénicos	Cantidad	%
Red pública de desagüe dentro la vivienda	1	1.50
Red pública de desagüe fuera la vivienda	0	0.00
Pozo séptico	0	0.00
Pozo negro, letrina	62	89.80
Río, acequia o canal	0	0.00
No tiene	6	8.70
Total de viviendas	69	100.00

Fuente: INEI 2015





for

TANIA MIPTHA RIOS ARAUJO INGENERA GEOGRAFA Reg. CIP. W 79935 Página32 | 144

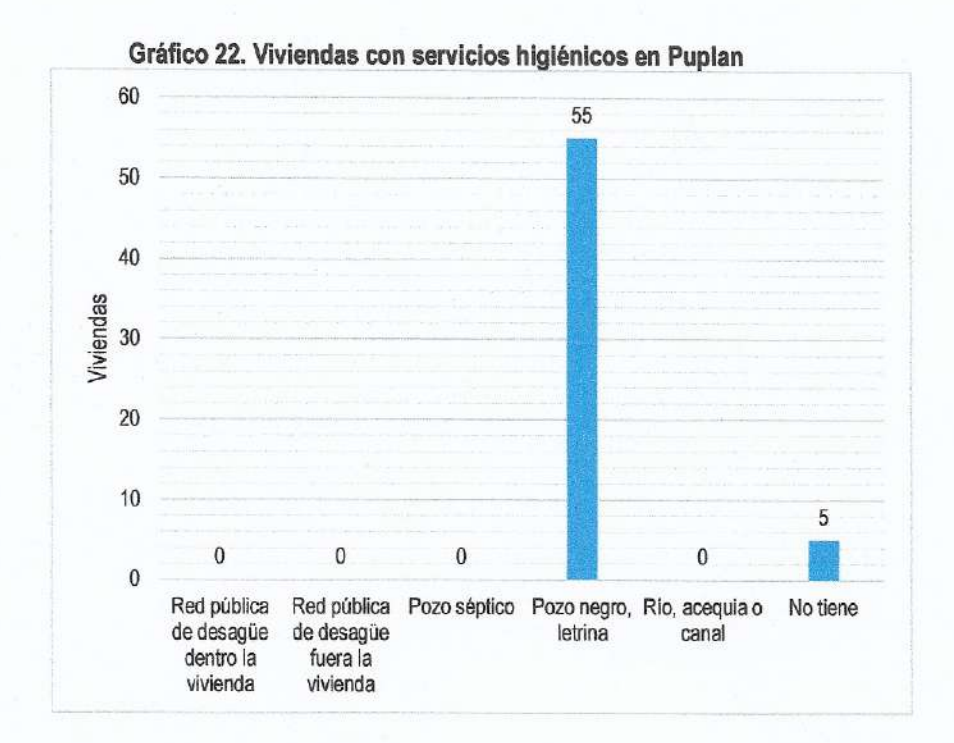
PUPLAN

Presenta 55 viviendas que utilizan pozo negro o letrina pudiendo ser un foco infeccioso muy peligroso para la salud del ser humano si no se realiza el uso adecuado.

Cuadro 22. Viviendas con servicios higiénicos en Puplan

Disponibilidad de servicios higiénicos	Cantidad	%
Red pública de desagüe dentro la vivienda	0	0.00
Red pública de desagüe fuera la vivienda	0	0.00
Pozo séptico	0	0.00
Pozo negro, letrina	55	91.70
Río, acequia o canal	0	0.00
No tiene	5	8.30
Total de viviendas	60	100.00

Fuente: INEI 2015



TANIA MIRTHA HOS ARAUJO INGENIERA GEOGRAFA Reg. CIP. Nº 79935

die

BANCES

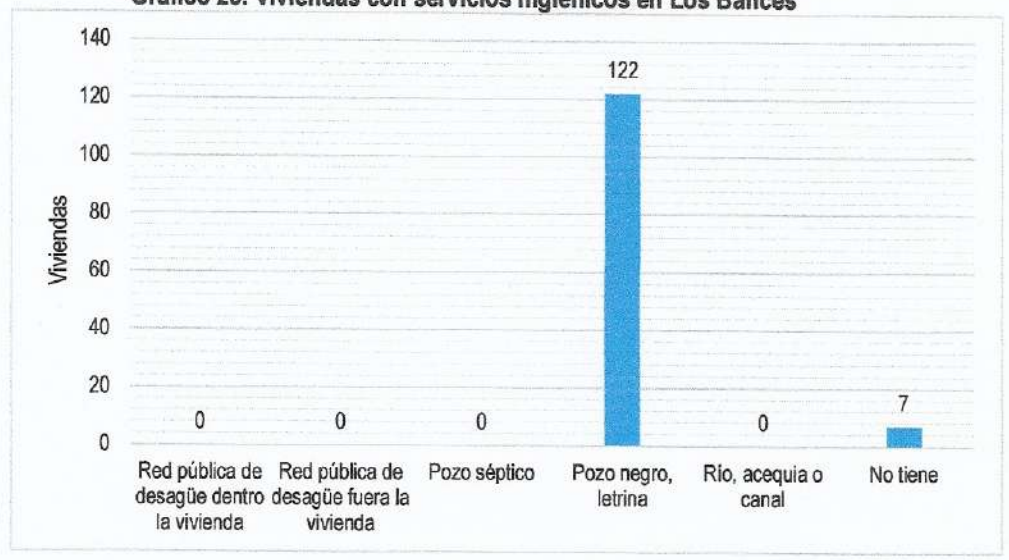
Las viviendas no tienen conexión a la red pública de desague dentro de la vivienda, 122 viviendas usan pozo negro o letrina fuera de la vivienda que sin el uso adecuado puede generar un foco infeccioso a la población.

Cuadro 23. Viviendas con servicios higiénicos en Los Bances

Tipo de Alumbrado Público	Cantidad	
Red pública de desagüe dentro la vivienda	0	0.00
Red pública de desagüe fuera la vivienda	0	0.00
Pozo séptico	0	0.00
Pozo negro, letrina	122	94.60
Río, acequia o canal	0	0.00
No tiene	7	5.40
Total de viviendas	129	100.00

Fuente: INEI 2015

Gráfico 23. Viviendas con servicios higiénicos en Los Bances



TANIA MIATHA MOS ARAUJO INGENIERA GEOGRAFA Reg. CIP. Nº 79935



CARACUCHO

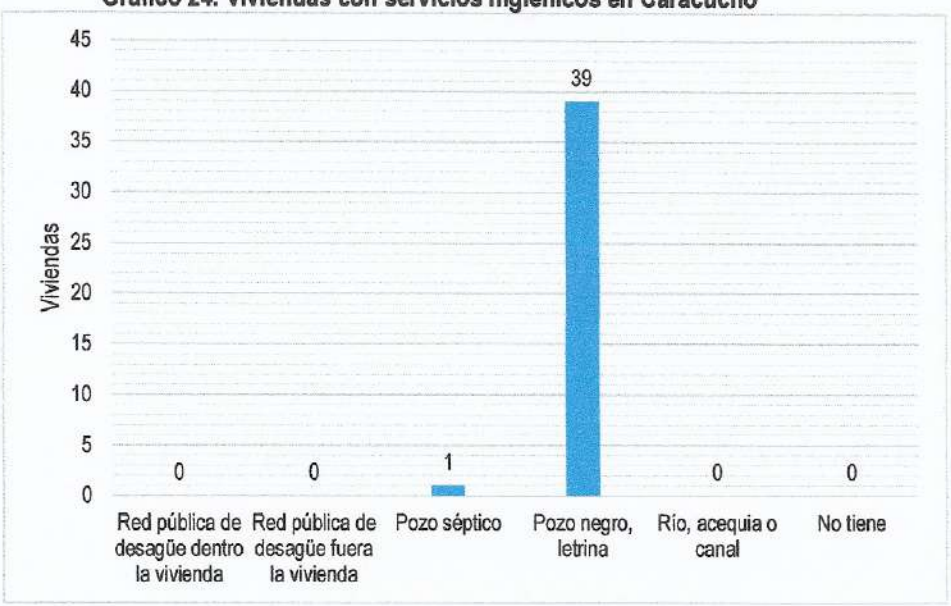
Todas las viviendas no cuentan con conexión a la red pública de desague dentro de la vivienda, usan pozo negro o letrina fuera de la vivienda.

Cuadro 24. Viviendas con servicios higiénicos en Caracucho

Disponibilidad de servicios higiênicos	Cantidad	%
Red pública de desagüe dentro la vivienda	0	0.00
Red pública de desagüe fuera la vivienda	0	0.00
Pozo séptico	1	2.50
Pozo negro, letrina	39	97.50
Río, acequia o canal	0	0.00
No tiene	0	0.00
Total de viviendas	40	100.00

Fuente: INEI 2015

Gráfico 24. Viviendas con servicios higiénicos en Caracucho



TANIA MIRTH RIOS ARAUJO INGENIERA GEOGRAFA Reg. CIPVNº 79935



2.3.5. TIPO DE ALUMBRADO

De acuerdo con el Sistema de información estadístico sobre la prevención a los efectos del fenómenos de el Niño y otros fenómenos naturales" del INEI 2015, se tiene:

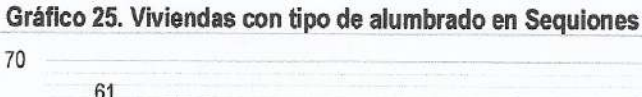
SEQUIONES

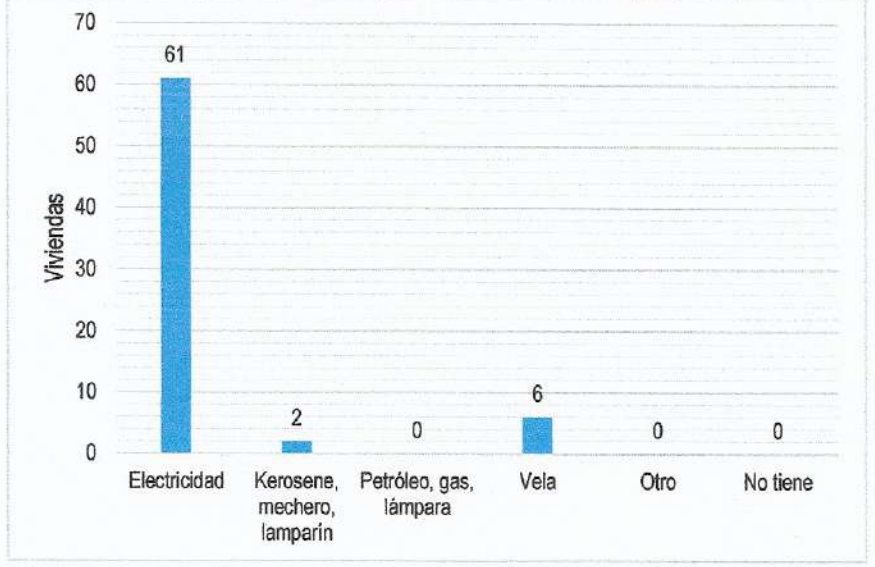
La mayoría de viviendas cuentan con el servicio de energía eléctrica, siendo un punto de desarrollo local.

Cuadro 25, Viviendas con tipo de alumbrado en Sequiones

Tipo de Alumbrado Público	Cantidad	%
Electricidad	61	88.40
Kerosene, mechero, lamparín	2	2.90
Petróleo, gas, lámpara	0	0.00
Vela	6	8.70
Otro	0	0.00
No tiene	0	0.00
Total de viviendas	69	100.00

Fuente: INEI 2015





GEOGRAFA Reg. CIP. Nº 79935

PUPLAN

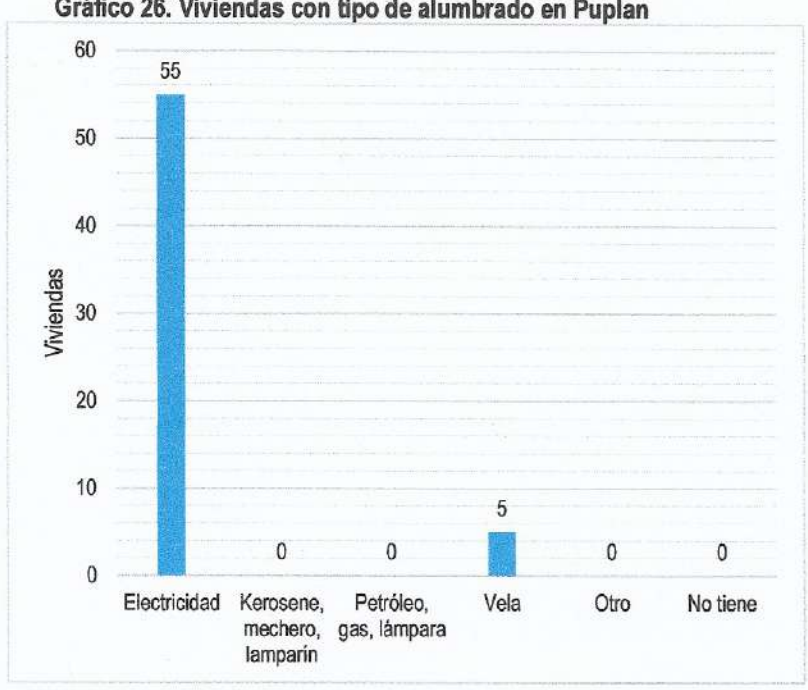
Se tiene que 55 viviendas cuentan con alumbrado eléctrico, sin embargo 5 viviendas aún usan las velas para alumbrarse con baja calidad de alumbrado y riesgo de incendio.

Cuadro 26. Viviendas con tipo de alumbrado en Puplan

Tipo de Alumbrado Público	Cantidad	%
Electricidad	55	91.70
Kerosene, mechero, lamparin	0	0.00
Petróleo, gas, lámpara	0	0.00
Vela	5	8.30
Otro	0	0.00
No tiene	0	0.00
Total de viviendas	60	100.00

Fuente: INEI 2015





INGENIERA GEOGRAFA Reg. CIP. Nº 79935



LOS BANCES

Se tiene que 111 viviendas cuentan con alumbrado eléctrico, sin embargo 18 viviendas aún usan las velas para alumbrarse con baja calidad de alumbrado y riesgo de incendio.

Cuadro 27. Viviendas con tipo de alumbrado en Los Bances

Tipo de Alumbrado Público	Cantidad	%
Electricidad	111	86.00
Kerosene, mechero, lamparin	0	0.00
Petróleo, gas, lámpara	0	0.00
Vela	18	14.00
Otro	0	0.00
No tiene	0	0.00
Total de viviendas	129	100.00

Fuente: INEI 2015

Gráfico 27. Viviendas con tipo de alumbrado en Los Bances 120 111 100 80 Viviendas 60 40 18 20 0 0 0 0 0 Electricidad Kerosene, Petróleo, gas, Vela Otro No tiene mechero, lámpara lamparin

> TANIA MRTHARIOS ARAUJO INGENIERA GEOGRAFA Reg. CIP. Nº 79935



CARACUCHO

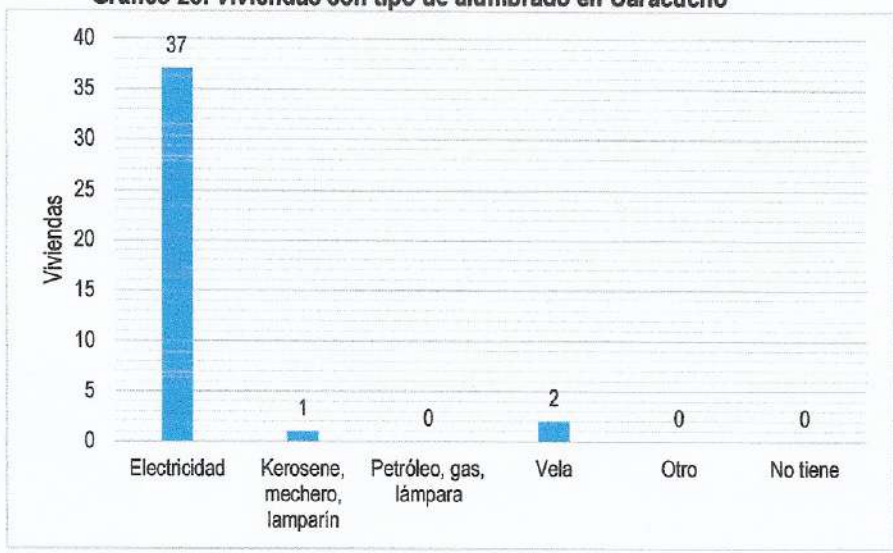
Se tiene que 37 viviendas cuentan con alumbrado eléctrico y 3 viviendas usan otro tipo de combustible para alumbrarse teniendo menor calidad y mayor riesgo de incendio.

Cuadro 28. Viviendas con tipo de alumbrado en Caracucho

Tipo de Alumbrado Público	Cantidad	%
Electricidad	37	92.50
Kerosene, mechero, lamparin	1	2.50
Petróleo, gas, lámpara	0	0.00
Vela	2	5.00
Otro	0	0.00
No tiene	0	0.00
Total de viviendas	40	100.00

Fuente: INEI 2015





TANIA MHYTHA PIOS ARAUJO INGENIERA GEOGRAFA Reg. CIP. N 79935

della

2.3.6. EDUCACIÓN

Se ha identificado 3 Instituciónes Educativas en el sector 1 de Morrope. Fuente: SIGRID, SCALE

SEQUIONES

De acuerdo al "Sistema de información estadístico sobre la prevención a los efectos del fenómeno del Niño y otros fenómenos naturales" del INEI 2015

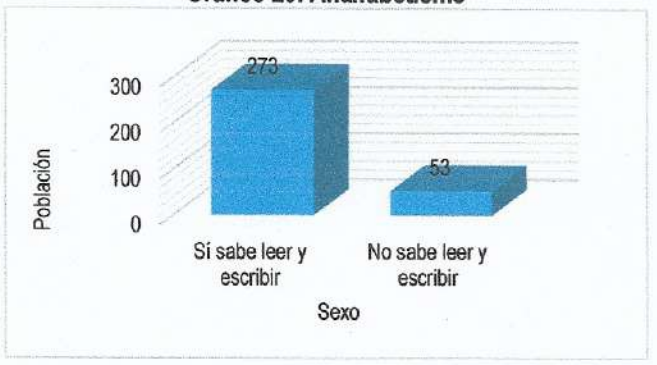
De esta información, tenemos a 53 personas que no saben leer ni escribir, siendo una brecha educativa deficiente que se tiene que atender urgentemente para el progreso de la población y su comunidad.

Cuadro 29. Analfabetismo

Analfabetismo	Cantidad	%
Sí sabe leer y escribir	273	83.70
No sabe leer y escribir	53	16.30
Total de población	326	100.00

Fuente: INEI 2015

Gráfico 29. Analfabetismo



Población según nivel educativo

Cuadro 30. Población según nivel educativo

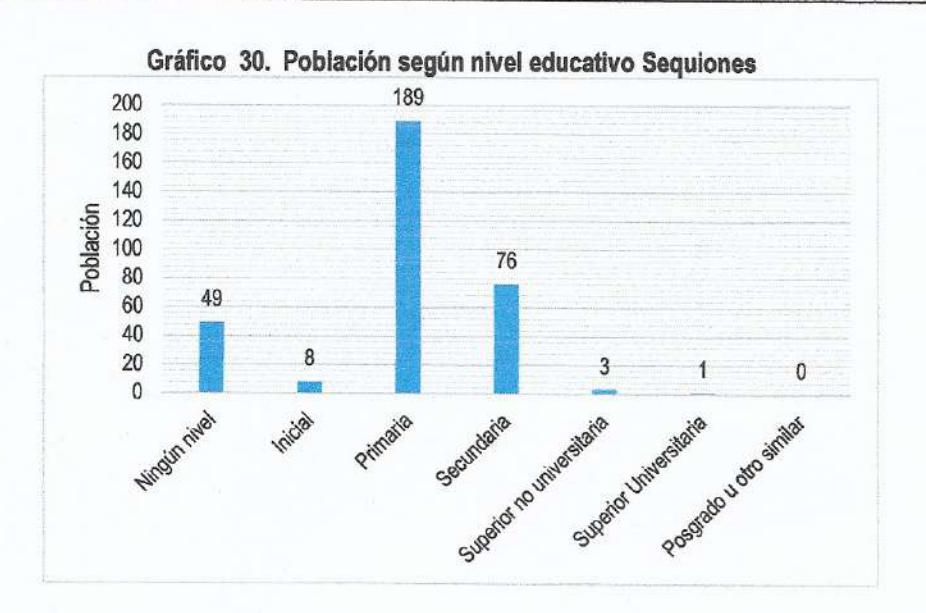
Nivel educativo	Población	%
Ningún nivel	49	15.00
Inicial	8	2.50
Primaria	189	58.00
Secundaria	76	23.30
Superior no universitaria	3	0.90
Superior Universitaria	1	0.30
Posgrado u otro similar	0	0.00
Total	326	100.00

Fuente: INEI 2015

TANIA VIRTHAGIOS ARAUJO INGENIERA GEOGRAFA Reg. CIP. Nº 79935

Página40 | 144





PUPLAN

Del total de pobladores 51 personas no saben leer ni escribir, siendo un número considerable que no tienen acceso a la información y como consecuencia su poco desarrollo personal y económico. Es una brecha que debe acortarse.

Cuadro 31. Analfabetismo

Analfabetismo	Cantidad	%
Sí sabe leer y escribir	202	79.80
No sabe leer y escribir	51	20.20
Total de población	253	100.00

Fuente: INEI 2015.

Gráfico 31. Analfabetismo



TANIA WRTHARIOS ARAUJO INGENIERA GEOGRAFA Reg. CIP. Nº 79935

the

Página41 | 144

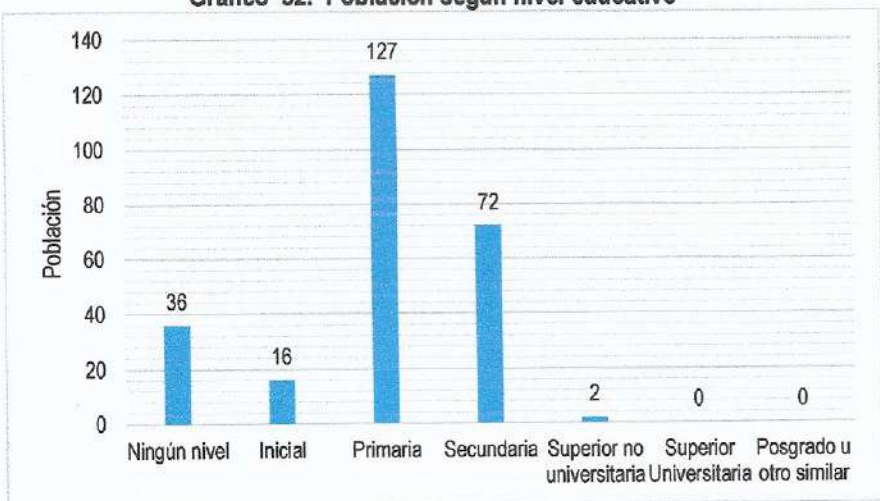
Población según nivel educativo

Cuadro 32. Población según nivel educativo

Nivel educativo	Población	%
Ningún nivel	36	14.20
Inicial	16	6.30
Primaria	127	50.20
Secundaria	72	28.50
Superior no universitaria	2	0.80
Superior Universitaria	0	0.00
Posgrado u otro similar	0	0.00
Total	253	100.00

Fuente: INEI 2015

Gráfico 32. Población según nivel educativo



LOS BANCES

De acuerdo al "Sistema de información estadístico sobre la prevención a los efectos del fenómenos de el Niño y otros fenómenos naturales" del INEI 2015, tenemos que 120 personas no saben leer ni escribir, siendo un número alto de analfabetismo donde se debe trabajar este problema para acortar esta brecha ya que no permite el desarrollo educativo de estas personas y como consecuencia el desarrollo económico.

Cuadro 33. Analfabetismo

Analfabetismo	Cantidad	%
Si sabe leer y escribir	558	82.30
No sabe leer y escribir	120	17.70
Total de población	678	100.00

Fuente: INEI 2015

TANIA MIRTHA RIOS ARAUJO INGENIERA GEOGRAFA Reg. CIP. Nº 79935

for

Página42 | 144



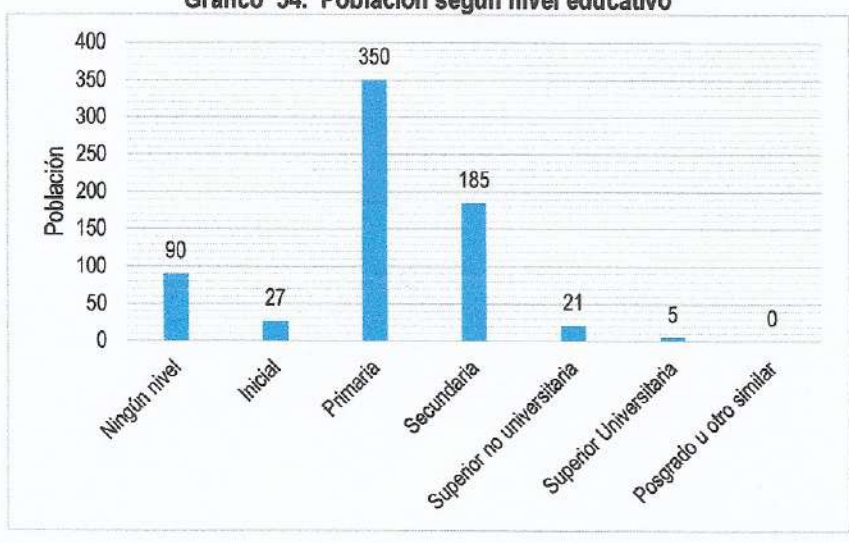
Población según nivel educativo

Cuadro 34. Población según nivel educativo

Nivel educativo	Población	
Ningún nivel	90	13.30
Inicial	27	4.00
Primaria	350	51.60
Secundaria	185	27.30
Superior no universitaria	21	3.10
Superior Universitaria	5	0.70
Posgrado u otro similar	0	0.00
Total	678	100.00

Fuente: INEI 2015

Gráfico 34. Población según nivel educativo



Página43 | 144





CARACUCHO

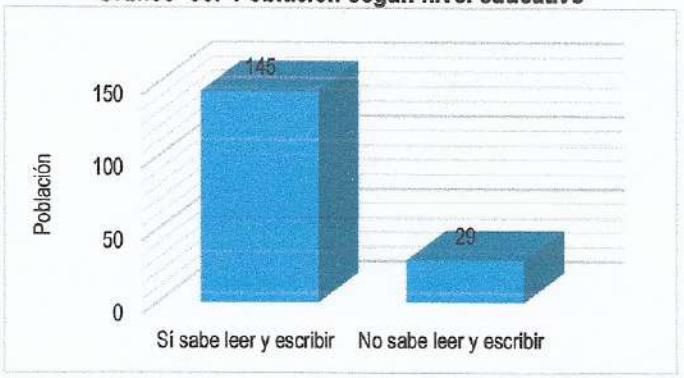
De acuerdo al "Sistema de información estadístico sobre la prevención a los efectos del fenómenos de el Niño y otros fenómenos naturales" del INEI 2015, se tiene a 29 personas que no saben leer, siendo un número muy alto que se debe atender para acortar la brecha existente, ya que no permite el desarrollo educativo de estas personas y como consecuencia su desarrollo económico.

Cuadro 35. Analfabetismo

Analfabetismo	Cantidad	%
Sí sabe leer y escribir	145	83.30
No sabe leer y escribir	29	16.70
Total de población	174	100.00

Fuente: INEI 2015

Gráfico 35. Población según nivel educativo



Población según nivel educativo

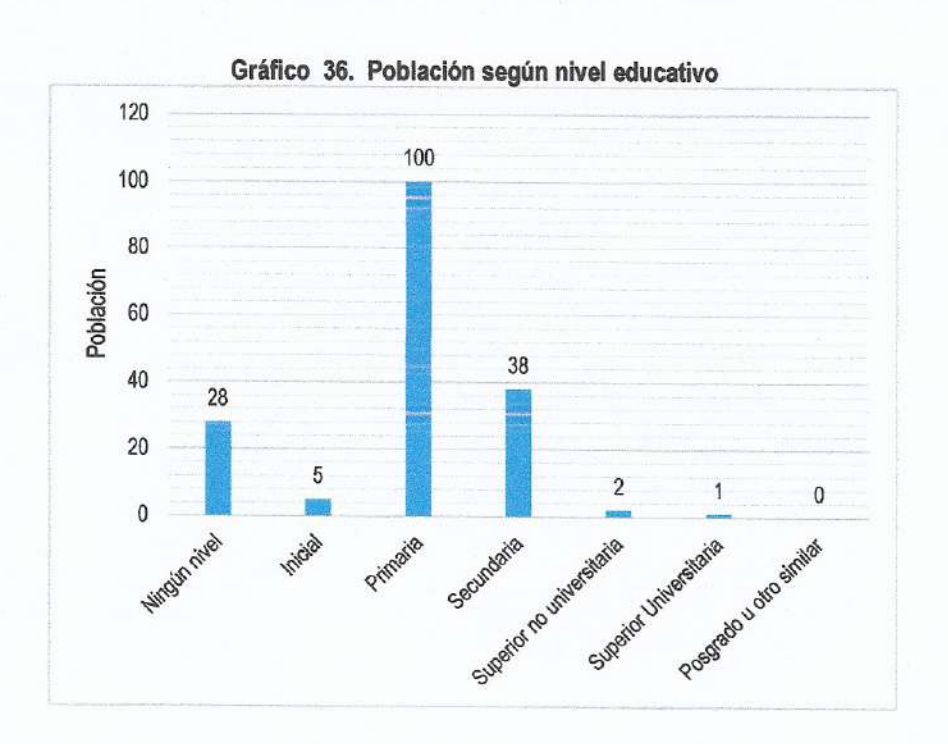
Cuadro 36. Población según nivel educativo

Nivel educativo	Población	%
Ningún nivel	28	16.10
Inicial	5	2.90
Primaria	100	57.40
Secundaria	38	21.80
Superior no universitaria	2	1.20
Superior Universitaria	1	0.60
Posgrado u otro similar	0	0.00
Total	174	100.00

Fuente: INEI 2015

Sto

TANIA MIRTHA MOS ARAUJO INGENIERA GEOGRAFA Reg. CIP. W 79935 Página44 | 144



2.3.7.SALUD

Se ha ubicado un establecimiento de salud en el sector 1 de Morrope, donde acuden todos las poblaciones de los caseríos cercanos.

SEQUIONES

de acuerdo al "Sistema de información estadístico sobre la prevención a los efectos del fenómenos de el Niño y otros fenómenos naturales" del INEI 2015, se tiene personas con diferentes formas de discapacidad como para usar sus brazos y piemas, siendo un total de 4 personas con discapacidad.

Cuadro 37. Personas con discapacidad en Seguiones

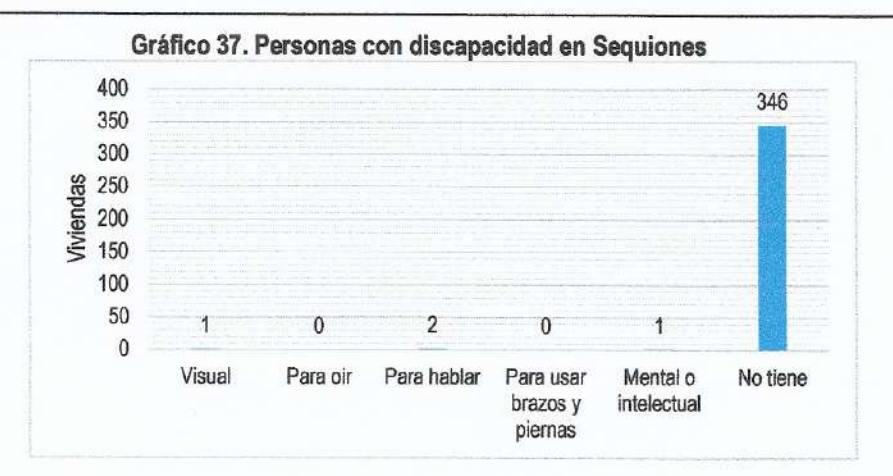
Discapacidad	Cantidad	%
Visual	1	0.30
Para oir	0	0.00
Para hablar	2	0.60
Para usar brazos y piernas	0	0.00
Mental o intelectual	1	0.30
No tiene	346	98.80
Total de viviendas	350	100.00

Fuente: INEI 2015

TANIA MIRTHA RIOS ARAUJO INGENIERA GEOGRAFA Reg. CIP. Nº 79935

Página45 | 144



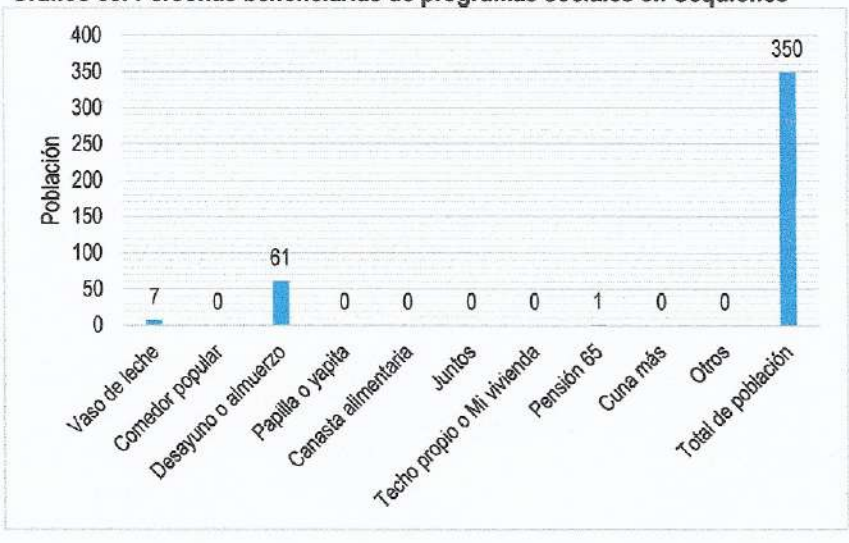


Cuadro 38. Personas beneficiarias de programas sociales en Seguiones

Beneficiario de programas sóciales	Población		
Vaso de leche	7	2.00	
Comedor popular	0 .	0.00	
Desayuno o almuerzo	61	17.40	
Papilla o yapita	0	0.00	
Canasta alimentaria	0	0.00	
Juntos	0	0.00	
Techo propio o Mi vivienda	0	0.00	
Pensión 65	1	0.30	
Cuna más	0	0.00	
Otros	0	0.00	
Ninguno	281	80.30	
Total de población	350	100.00	

Fuente: INEI 2015

Gráfico 38. Personas beneficiarias de programas sociales en Sequiones



TANIA MIR THA RIOS ARAUJO INGENIERA GEOGRAFA Reg. CIP. Nº 19935

distribution of the second

Página46 | 144

PUPLAN

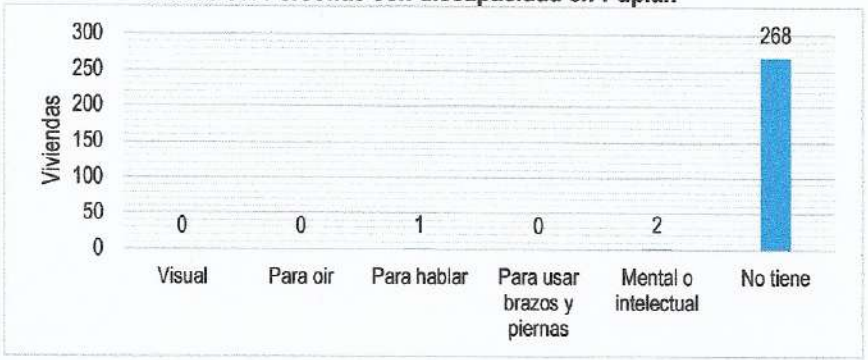
En Guzman de acuerdo al "Sistema de información estadístico sobre la prevención a los efectos del fenómenos de el Niño y otros fenómenos naturales" del INEI 2015, se tiene 3 personas con diferentes formas de discapacidad.

Cuadro 39. Personas con discapacidad en Puplan

Discapacidad	Cantidad	%
Visual	0	0.00
Para oir	0	0.00
Para hablar	1	0.40
Para usar brazos y piernas	0	0.00
Mental o intelectual	2	0.70
No tiene	268	98.90
Total de viviendas	271	100.00

Fuente: INEI 2015

Gráfico 39. Personas con discapacidad en Puplan



En Puplan se benefician con desayuno o almuerzo y pensión 65.

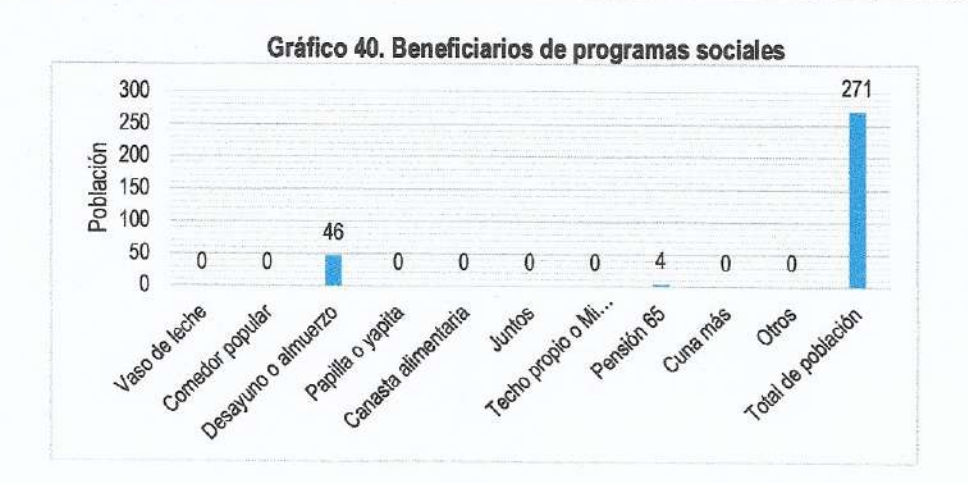
Cuadro 40. Beneficiarios de programas sociales

Beneficiario de programas sociales	Población		
Vaso de leche	0	0.00	
Comedor popular	0	0.00	
Desayuno o almuerzo	46	17.00	
Papilla o yapita	0	0.00	
Canasta alimentaria	0	0.00	
Juntos	0	0.00	
Techo propio o Mi vivienda	0	0.00	
Pensión 65	4	1.50	
Cuna más	0	0.00	
Otros	0	0.00	
Ninguno	221	81.50	
Total de población	271	100.00	

Fuente: INEI 2015

TANIA MIR HA ROS ARAUJO INGENIERA GEOGRAFA Reg. CIP. Nº 79935 Página47 | 144





LOS BANCES

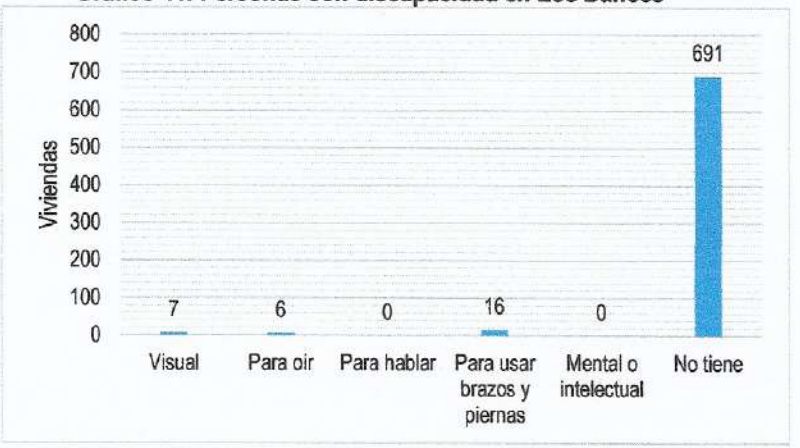
En Valencia de acuerdo al "Sistema de información estadístico sobre la prevención a los efectos del fenómenos de el Niño y otros fenómenos naturales" del INEI 2015, se tiene personas con diferentes formas de discapacidad, como: para oir, hablar y para usar sus brazos y piernas generalmente sucede con las personas mayores de 65 años.

Cuadro 41. Personas con discapacidad en Los Bances

Discapacidad	Cantidad	%	
Visual	7	1.00	
Para oir	6	0.80	
Para hablar	0	0.00	
Para usar brazos y piernas	16	2.20	
Mental o intelectual	0	0.00	
No tiene	691	96.00	
Total de viviendas	720	100.00	

Fuente: INEI 2015

Gráfico 41. Personas con discapacidad en Los Bances



TANIA MIHTHA PROS ARAUJO INGENIERA GEOGRAFA Reg. CIP. Nº 79935

Página48 | 144

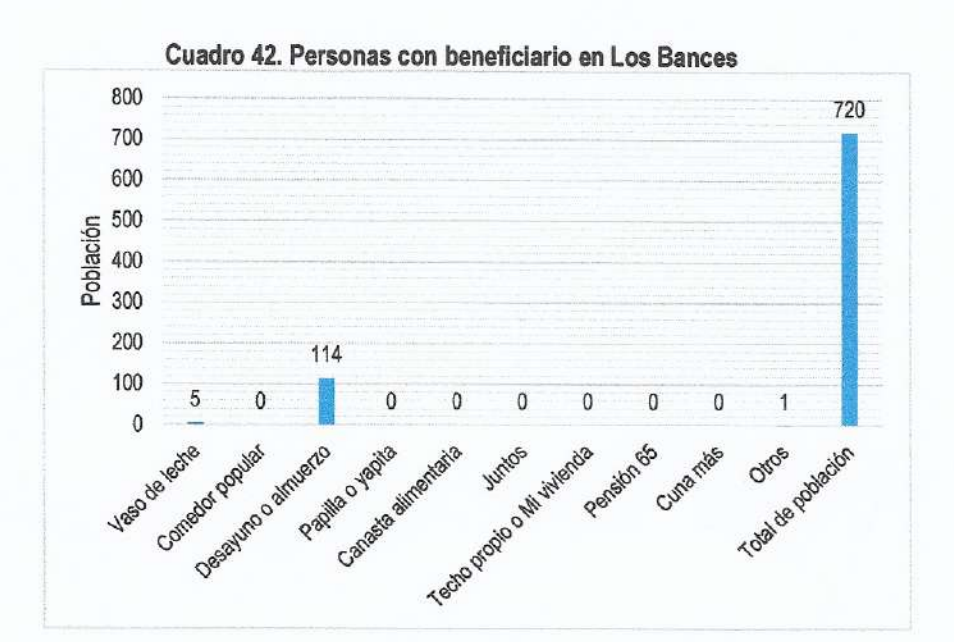
for

En los Bances 5 personas se benefician con el vaso de leche y 114 con el desayuno o almuerzo.

Cuadro 42. Personas con beneficiario en Los Bances

Beneficiario de programas sociales	Población	%	
Vaso de leche	5	0.70	
Comedor popular	0	0.00	
Desayuno o almuerzo	114	15.80	
Papilla o yapita	0	0.00	
Canasta alimentaria	0	0.00	
Juntos	0	0.00	
Techo propio o Mi vivienda	0	0.00	
Pensión 65	0	0.00	
Cuna más	0	0.00	
Otros	1	0.10	
Ninguno	600	83.40	
Total de población	720	100.00	

Fuente: INEI 2015



CARACUCHO

En Caracucho de acuerdo al "Sistema de información estadístico sobre la prevención a los efectos del fenómenos de el Niño y otros fenómenos naturales" del INEI 2015, se tiene 3 personas con discapacidad visual y otra mental.

And of the second

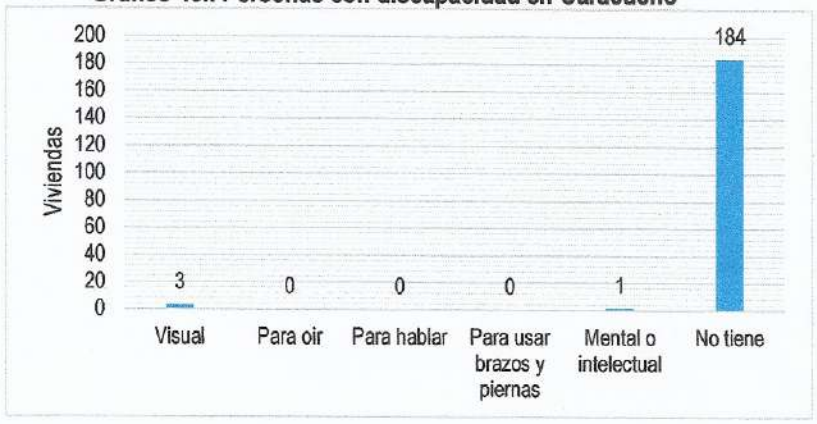
TANIA MITTHA RIOS ARAUJO INGENIERA GEOGRAFA Reg. CIP. Nº 79935 Página49 | 144

Cuadro 43. Personas con discapacidad en Caracucho

Discapacidad	Cantidad	%	
Visual	3	1.60	
Para oir	0	0.00	
Para hablar	0	0.00	
Para usar brazos y piernas	0	0.00	
Mental o intelectual	1	0.50	
No tiene	184	97.90	
Total de viviendas	188	100.00	

Fuente: INEI 2015

Gráfico 43.. Personas con discapacidad en Caracucho



30 personas beneficiarias con el desayuno o almuerzo, 3 con vaso de leche y 5 personas con la pensión 65.

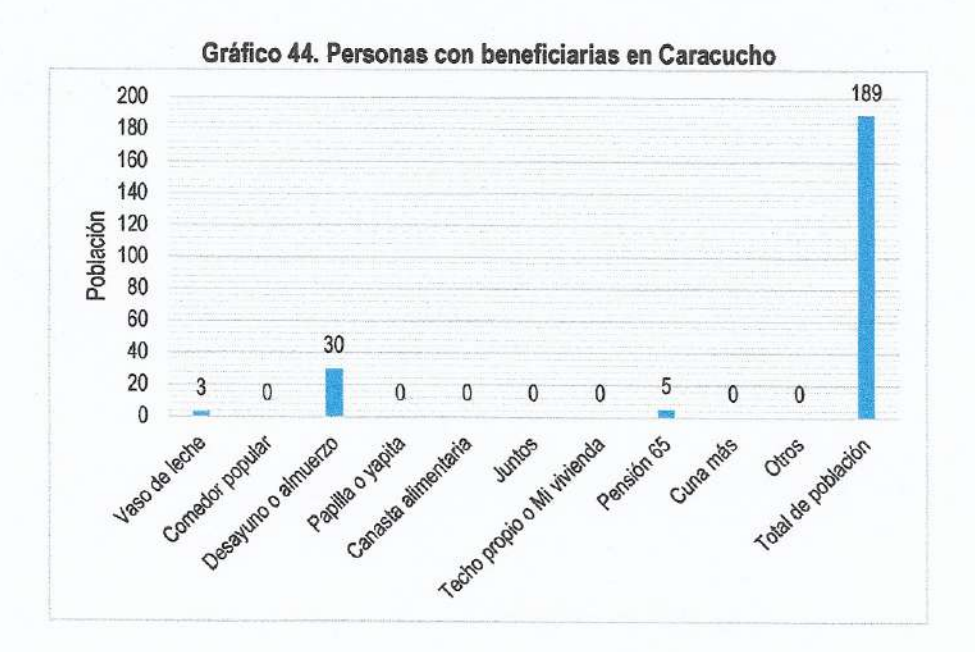
Cuadro 44. Personas beneficiarias en Caracucho

Beneficiario de programas sociales	Población		
Vaso de leche	3	1.60	
Comedor popular	0	0.00	
Desayuno o almuerzo	30	16.00	
Papilla o yapita	0	0.00	
Canasta alimentaria	0	0.00	
Juntos	0	0.00	
Techo propio o Mi vivienda	0	0.00	
Pensión 65	5	2.70	
Cuna más	0	0.00	
Otros	0	0.00	
Ninguno	151	80.30	
Total de población	189	100.60	

Fuente: INEI 2015

TANIA MIRTHA RIGE ARAUJO INGENIERA GEOGRAFA Reg. CIP. Nº 19635 Página50 | 144

de



2.4. CARACTERÍSTICAS ECONÓMICAS

SEQUIONES

En Sequiones la mayor actividad económica corresponde a la agrícola.

Cuadro 45. Actividad económica de su centro de labor de Seguiones

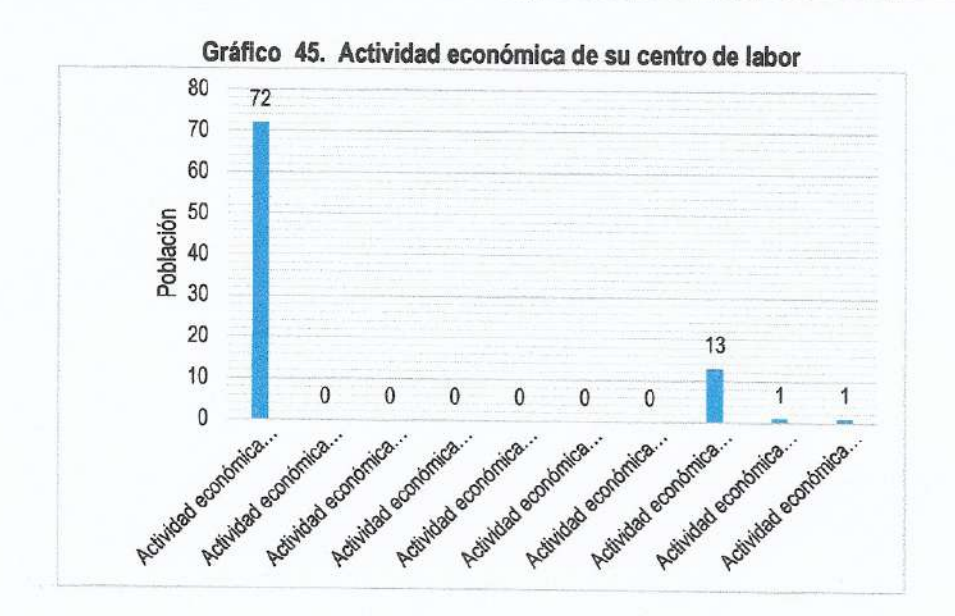
Actividad económica	Población	
Actividad económica (Agrícola)	72	82.80
Actividad económica (Pecuaria)	0	0.00
Actividad económica (Forestal)	0	0.00
Actividad económica (Pesquera)	0	0.00
Actividad económica (Minera)	0	0.00
Actividad económica (Artesanal)	0	0.00
Actividad económica (Comercial)	0	0.00
Actividad económica (Servicios)	13	14.80
Actividad económica (Otros)	1	1.20
Actividad económica (Estado (gobierno))	1	1.20
Total de población	87	100.00

Fuente: INEI 2015

TANIA MIRTHA RIGE ARAUJO INGENIERA GEOGRAFA Reg. CIP. Nº 79935

Página51 | 144





PUPLAN

La actividad principal del Puplan es la agrícola.

Cuadro 46. Actividad económica de su centro de labor de Puplan

Actividad económica	Población		
Actividad económica (Agrícola)	61	92.40	
Actividad económica (Pecuaria)	0	0.00	
Actividad económica (Forestal)	0	0.00	
Actividad económica (Pesquera)	0	0.00	
Actividad económica (Minera)	0	0.00	
Actividad económica (Artesanal)	0	0.00	
Actividad económica (Comercial)	2	3.00	
Actividad económica (Servicios)	3	4.60	
Actividad económica (Otros)	0	0.00	
Actividad económica (Estado (gobierno))	0	0.00	
Total de población	66	100.00	

Fuente: INEI 2015

FANIA MIRTHA RIOS ARAUJO INGENIERA GEOGRAFA Reg. CIP. NV79935

fin fin



LOS BANCES

La actividad principal del Los Bances es la agrícola segurido en menor proporción de otros servicios.

Cuadro 47. Actividad económica de su centro de labor de Los Bances

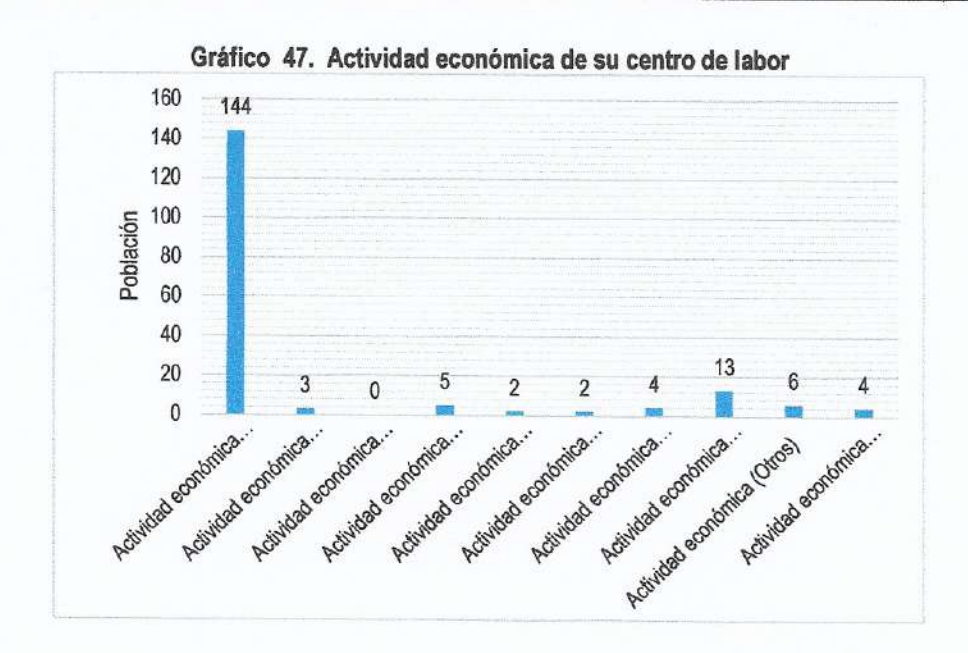
Actividad económica	Población		
Actividad económica (Agrícola)	144	78.70	
Actividad económica (Pecuaria)	3	1.60	
Actividad económica (Forestal)	0	0.00	
Actividad económica (Pesquera)	5	2.70	
Actividad económica (Minera)	2	1.10	
Actividad económica (Artesanal)	2	1.10	
Actividad económica (Comercial)	4	2.20	
Actividad económica (Servicios)	13	7.10	
Actividad económica (Otros)	6	3.30	
Actividad económica (Estado (gobierno))	4	2.20	
Total de población	183	100.00	

Fuente: INEI 2015

TANIA MIR HA RIOSARAUJO INGENIERA GEOGRAFA Reg. CIP. Nº 19935

do

Página53 | 144



CARACUCHO

La actividad principal de Caracucho, es la agrícola.

Cuadro 48. Actividad económica de su centro de labor de Caracucho

Actividad económica	Población		
Actividad económica (Agrícola)	49	100.00	
Actividad económica (Pecuaria)	0	0.00	
Actividad económica (Forestal)	0	0.00	
Actividad económica (Pesquera)	0	0.00	
Actividad económica (Minera)	0	0.00	
Actividad económica (Artesanal)	0	0.00	
Actividad económica (Comercial)	0	0.00	
Actividad económica (Servicios)	0	0.00	
Actividad económica (Otros)	0	0.00	
Actividad económica (Estado (gobierno))	0	0.00	
Total de población	49	100.00	

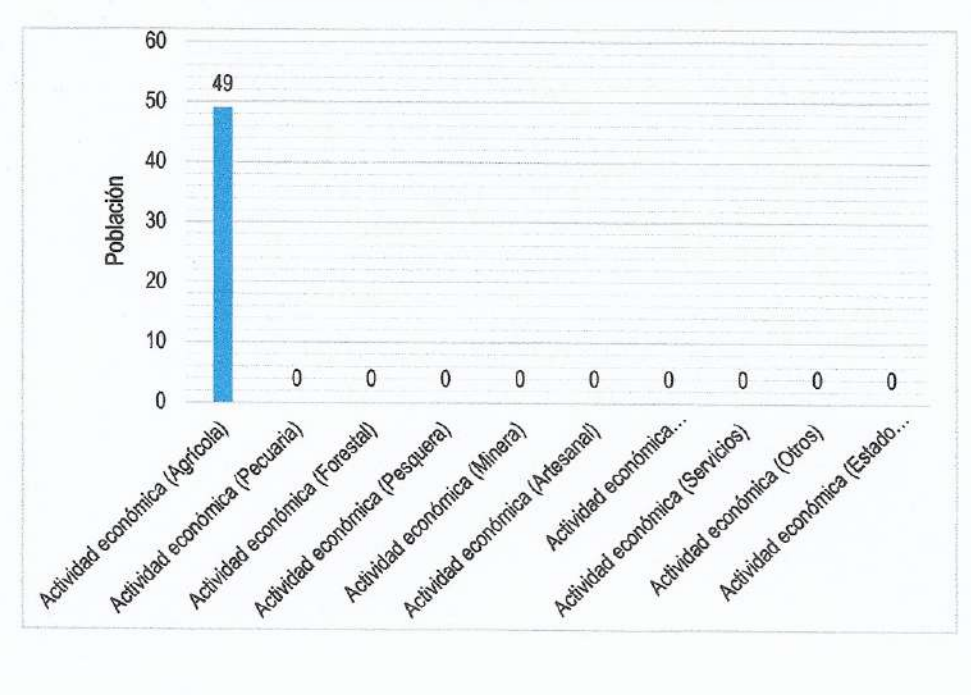
Fuente:INEI 2015

TANIA MITTHA ROE ARAUJO INGENERA GEOGRAFA Reg. CIP. N 79935

Sept 1

Página54 | 144

Gráfico 48. Actividad económica de su centro de labor



TANIA MIRTHA ROS ARAUJO INGEMERA GEOGRAFA Reg. CIP. Nº 79935



2.5. CARACTERISTICAS FÍSICAS

2.5.1. GEOLOGÍA

En el área de estudio se han identificado cinco unidades geológicas:

a) Depósito Fluvial Reciente (Qr-fl)

Lo constituyen los materiales de los lecho de los ríos o quebradas, terrazas bajas y llanura de inundación. Son depósitos heterométricos constituidos por bolos, cantos y gravas subredondeadas en matriz arenosa o limosa, mezcla de lentes arenosos y areno-limosos. Estos materiales son transportados por las corrientes de los ríos a grandes distancias en el fondo de los valles y fueron depositados en forma de terrazas o playas; removibles periódicamente por el curso actual de los ríos y son ubicados en las llanuras de inundación. Son depósitos inconsolidados a poco consolidados hasta sueltos, fácilmente removibles, cuya permeabilidad es alta. Se les puede encontrar en cauces de corto recorrido que se forman sobre la planicie costera.

b) Depósito aluvial (Qh-al)

Están compuestos por fragmentos heterométricos y heterogénea en litología, compuesto por bolones, gravas y arenas redondeadas a subredondeadas, limos y arcillas, transportados por la corriente de los ríos a grandes distancias y que son dispuestas en forma de terrazas alejadas del cauce actual, en abanicos aluviales extensos, incluyen también los depósitos de piedemonte con topografía de glacis que desciende de los sistemas montañosos. Estos depósitos tienen regular a buena selección, presentan estratos diferenciados que evidencian la actividad dinámica fluvial a la estuvieron sometidos los materiales (transporte y depositación). Conforman llanuras antiguas y/o niveles de terrazas de los valles de ríos. Estos depósitos recientes corresponden a etapas de elevado traslado de sólidos y de periodos de intenso cambio climatológico.

c) Depósito Fluvial aluvial (Qh-flal)

Este horizonte sedimentario está constituido por cantos rodados, grava, gravilla y arena, exceptos de matriz fina. Existe en algunos casos que los cursos actuales de los ríos la irrigan en ciertas temporadas. Los depósitos fluvio-aluviales se encuentran en los valles de dirección Este-Oeste; Zaña, Chancay- Reque, La Leche, Salas, Motupe y Jayanca, Olmos, Cascajal y San Cristóbal, incluyendo los afluentes concurrentes a los principales en cada valle. Algunos de estos ríos son aloctónicos, porque sus escorrentías no logran salida al mar, extendiéndose las escorrentías en las planicies del desierto, en dirección norte.

d) Depósito Eólico Reciente (Qr – e)

Depósitos detríticos formados por acumulaciones de arena, que son acarreadas por vientos fuertes, se les encuentra principalmente en los desiertos y playas costeras en forma de dunas, barjanes, etc. Se aplica en sentido amplio a las diferentes clases de dunas (longitudinales, parabólicas, campos de arena, dunas trepadoras). También se les puede encontrar tierra adentro en el continente, en zona de climas muy áridos, donde corren vientos fuertes, conformando dunas

TANIA MIRTHA ROS ARAUJO INGENIERA GEDGRAFA Reg. CIP. NV79935 Página56 | 144

At all

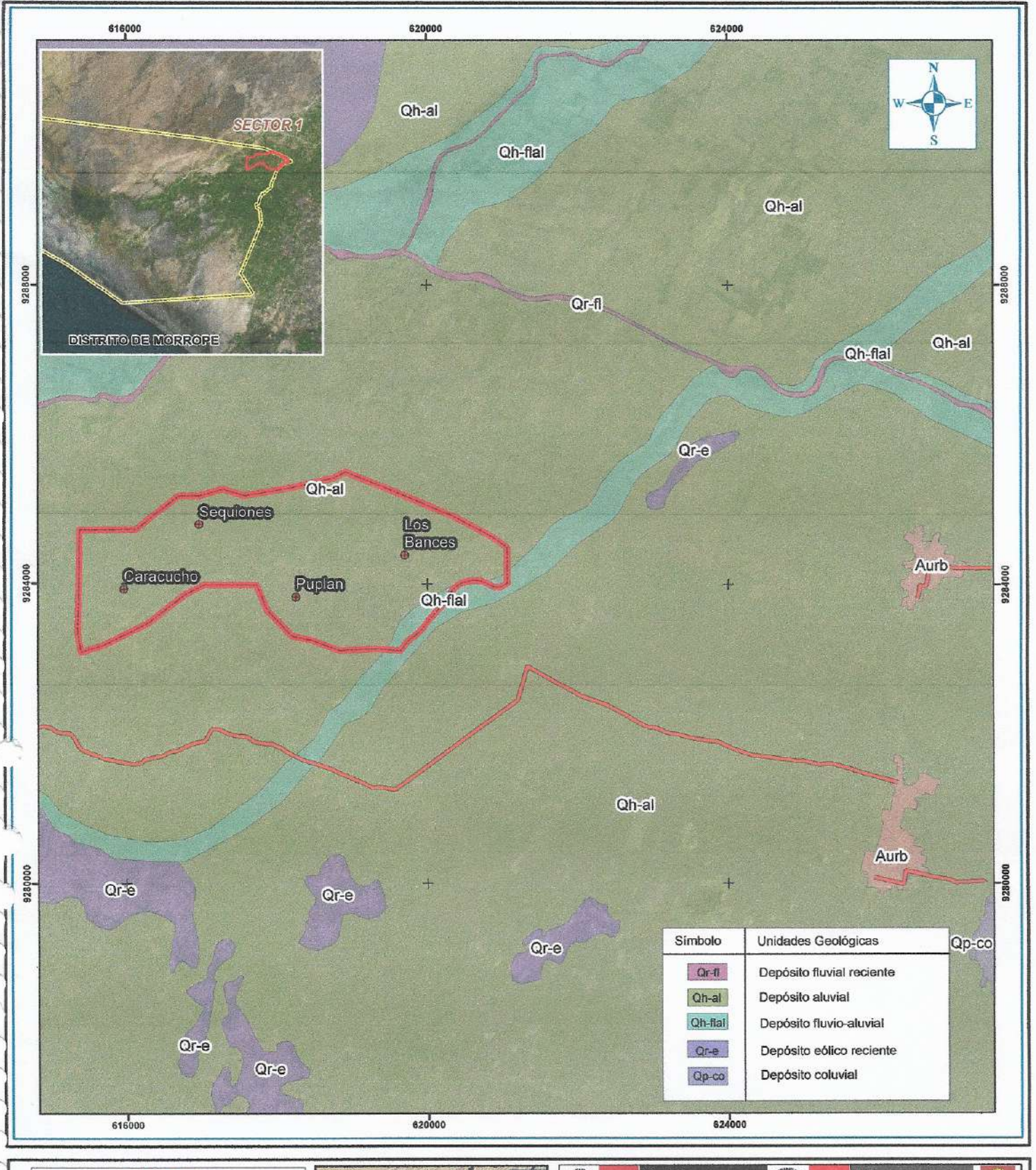
trepadoras o dunas fósiles en laderas de colinas y montañas, o también se les puede localizar dentro de valles. Ubicables desde línea de litoral hasta áreas en altitudes variables de 10, 30, 50, 100, hasta 150 m.s.n.m. dentro del territorio.

e) Depósito Coluvial (Qp-co)

Está compuesto por sedimentos de bloques, grava y arena con una reducida parte fina de arcilla y limos, la forma de los gránulos es angular a sub angular. Estos depósitos son de origen denudacional, generalmente acumulados a pie de las montañas rocosas de diferente composición litológica.

TANIA WRTH RIOS ARAUJO INGENIERA GEOGRAFA Reg. CIP. Nº 79935

Sto





2.5.2. GEOMORFOLOGÍA

a) Cauce fluvial estacional (cfe)

Se ubican sobre las terrazas marinas, su principal característica es la muy baja profundidad de disección sobre estas terrazas. Los cauces tienen una profundidad menor a 3 metros; esta característica topográfica y las bajas pendientes de las terrazas, condicionan la divagación de los cauces, los cuales han divagado por todas estas planicies.

Están conformados por depósitos fluviales inconsolidados y recientes, constituidos por sedimentos, bloques, cantos, gravas y arena. Se encuentran localizados en toda la zona montañosa de transición entre la costa y sierra Lambayecana.

b) Planicie aluvial ligeramente inclinada (Pali)

Esta unidad se encuentra principalmente al norte del río Reque y al sur del río Motupe, constituyendo extensos conos de deyección de los ríos ya mencionados. Esta planicie constituye uno de los sectores con mayor modificación antrópica, vinculado principalmente a la expansión de la superficie agrícola mediante la utilización de una extensa red de canales. Esta zona es estable en cuanto a procesos de dinámica fluvial, sin embargo, debido a la presencia de la red de canales de riego ya mencionados, la hacen susceptible a inundaciones frente a los desbordes de los mismos. Las depresiones presentes en esta unidad constituyen zonas de mayor susceptibilidad, frente también a la inundación por precipitaciones pluviales. Esta planicie aluvial ligeramente inclinada tiene pendientes de 0 a 4 %, conformado por depósitos aluviales inconsolidados de sedimentos compuestos por cantos rodados, gravas y arena.

c) Terraza media aluvial (tma)

Las terrazas son superficie plana o débilmente inclinada, generalmente estrecha y alargada, delimitada por cambios bruscos de pendiente. Debe su origen a la acción del agua de un rio que provoca su modelado. Este queda aislado del nivel base por cambios en el régimen hídrico o por movimientos tectónicos. Estas terrazas tienen una pendiente promedio de 3° y se encuentran adyacentes a los cauces aluviales, dentro de las cuencas torrenciales.

La terraza media está conformada por depósitos aluviales inconsolidados constituidos por depósitos de sedimentos compuestos por cantos dorados, gravas y arena. Se encuentran localizadas alrededor de las terrazas bajas de los ríos Cascajal, Olmos, Motupe y Zaña.

d) Dunas estabilizadas (De)

Podemos encontrar dos subunidades, aquellas más homogéneas, formadas sólo por dunas estabilizadas, y aquellas que presentan mantos de arena. Las dunas y acumulaciones irregulares de arena muchas veces ya están desvinculadas de sus fuentes de abastecimiento, considerándoselas como antiguas. Estas dunas han sido modificadas por erosión posterior y han perdido sus formas típicas, presentándose como pequeñas elevaciones redondeadas, separados por hondonadas irregulares que frecuentemente no tienen

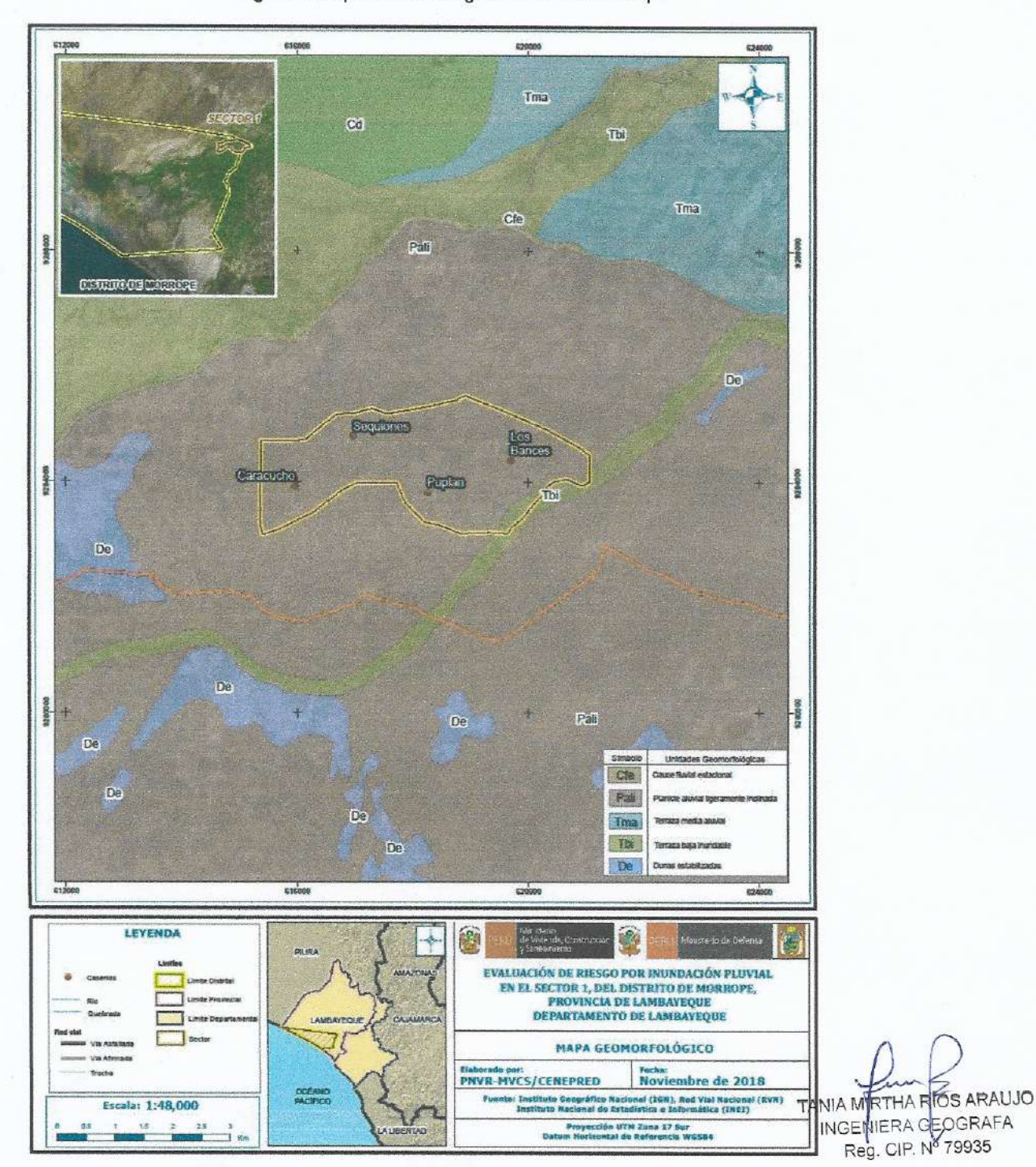
Página59 | 144

Lib

TANIA MIRTHA PIOS ARAUJO INGENIERA GEOGRAFA Reg. CIP. IV 79935

comunicación entre sí. Se encuentran localizadas en los distritos de Illimo, Tucume, Mochumi, Morrope, Lambayeque, San José y Pimentel

Figura 4. Mapa Geomorfológico sector 1 de Morrope



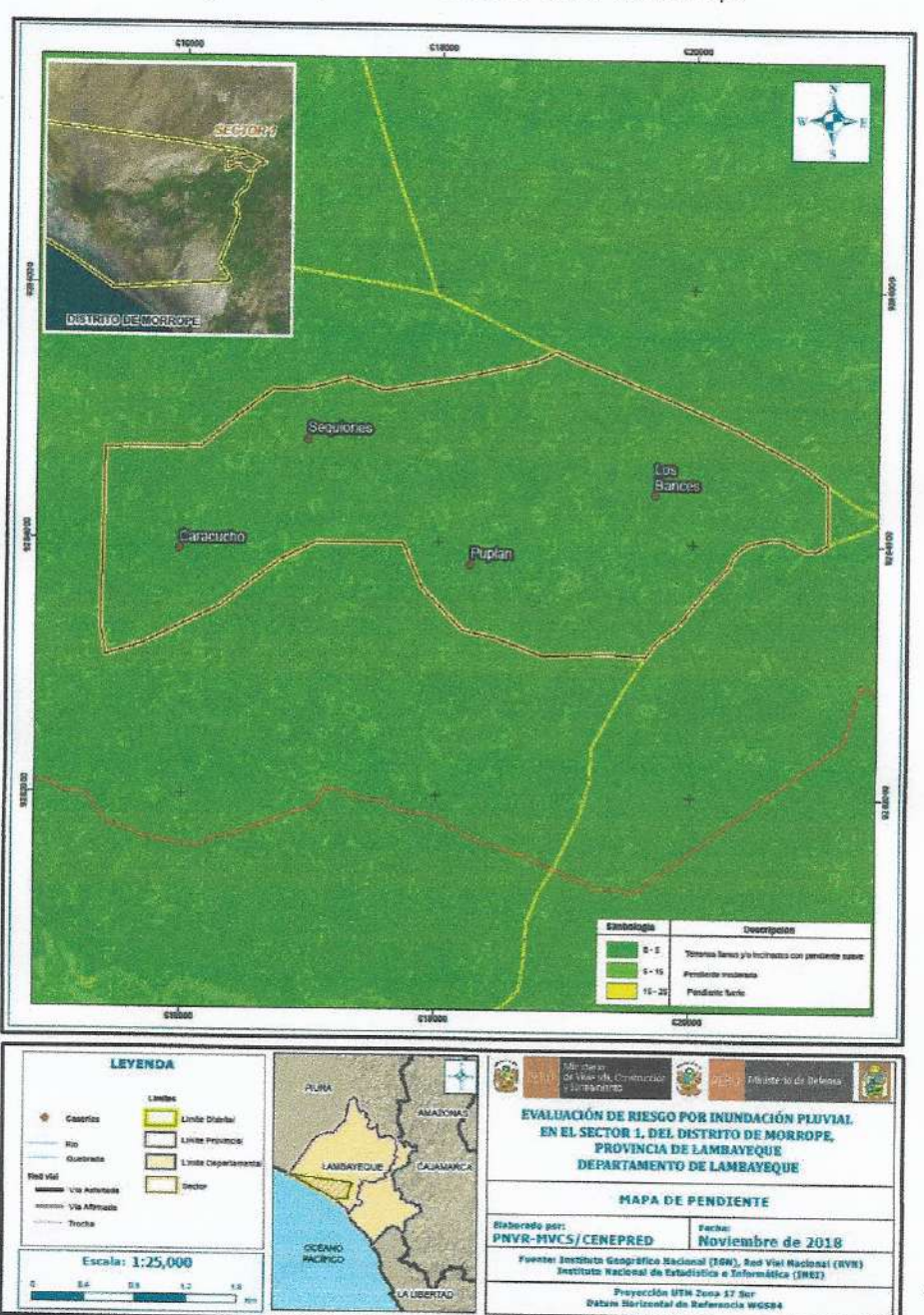
Fuente: Elaborado con información proporcionada de Instituto Geográfico Nacional

Gu

2.5.3.PENDIENTES

El Sector 1 de Morrope se caracteriza por tener una pendiente suave de 0° a 5°, debido a eso se suceden las inundaciones en estas zonas.

Figura 5. Mapa de Pendientes del Sector 1 de Morrope



You

Fuente: Elaborado con información proporcionada de Instituto Geográfico Nacional

TANIA MIRTHA RÍOS ARAU.O INGENIERA GEOGRAFA Reg. CIP. Nº 79935

2.5.4. CONDICIONES CLIMATOLÓGICAS

2.5.4.1 CLASIFICACIÓN CLIMÁTICA

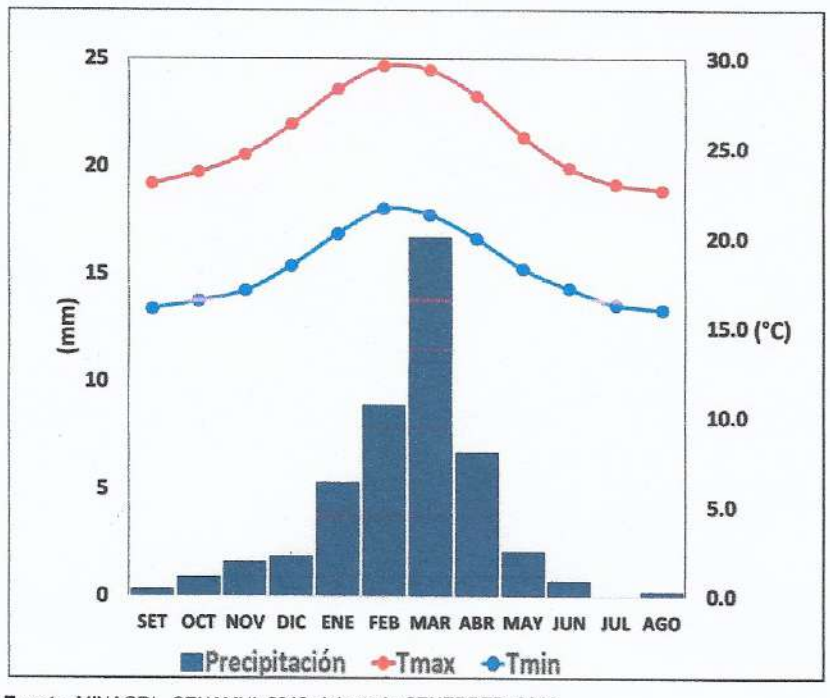
En base al Mapa de Clasificación Climática del Perú (SENAMHI, 1988), desarrollado a través del Sistema de Clasificación de Climas de Warren Thornthwaite, el sector 1 del distrito Morrope, se caracteriza por presentar un clima árido, semicálido y húmedo, con lluvia deficiente en gran parte del año propio de su estacionalidad (E(d) B'1 H3).

2.5.4.2 CLIMA

La temperatura máxima promedio del aire presenta ligeras fluctuaciones a lo largo del año, oscilando sus valores entre 22,7 a 29,6°C, con mayores valores en los meses de verano y disminuyendo en los meses de otoño e invierno. En cuanto a la temperatura mínima del aire, presenta similar comportamiento que la temperatura máxima, con valores promedio que fluctúan entre 16,0 a 21,6°C.

Respecto al comportamiento de las lluvias, no son significativas a lo largo del año, sin embargo suele presentarse entre los meses de diciembre a abril, siendo más intensas entre los meses de enero a marzo. Para el primer trimestre del año las lluvias totalizan aproximadamente 30,9 mm. Los meses más secos para la zona predominan durante el invierno (junio a agosto). Anualmente acumula en promedio 45,3 mm.

Gráfico Nº 49. Comportamiento temporal de la temperatura del aire y precipitación promedio en la estación meteorológica Lambayeque



Fuente: MINAGRI - SENAMHI, 2013. Adaptado CENEPRED, 2018.

Página62 | 144

Ste

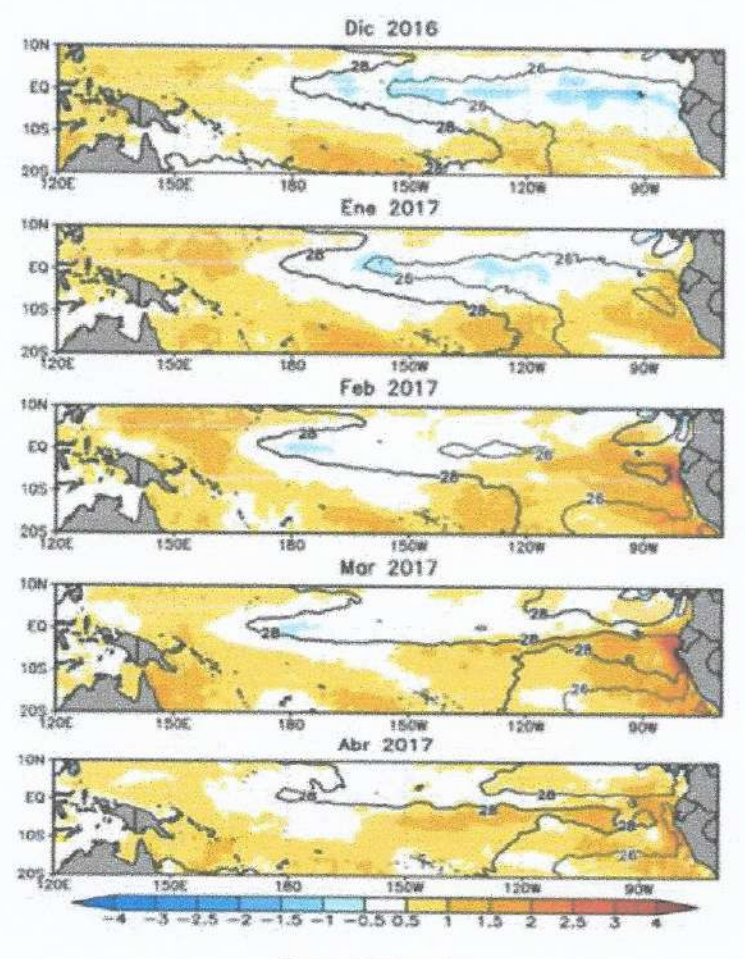
TANIA METHARIOS ARAUJO INGENIERA GEOGRAFA Reg. CIPJNº 79935

2.5.4.3 PRECIPITACIONES EXTREMAS

En el verano 2017, se presentaron condiciones océano-atmosféricas anómalas, que establecieron la presencia de "El Niño Costero 2017", con el incremento abrupto de la Temperatura Superficial del Mar (TSM) cuyos valores superaron los 26°C en varios puntos de la zona norte del mar peruano (ENFEN, 2017).

Asimismo, la TSM presentó valores sobre su normal histórica, siendo más intensas los meses de febrero y marzo 2017 (figura N°06); situación que complementado a la presencia de los vientos del norte y la Zona de Convergencia Intertropical favorecieron una alta concentración de humedad atmosférica, propiciando un comportamiento anómalo de las lluvias, afectando éstas gran parte de la franja costera peruana. A su vez, la persistencia de un sistema atmosférico (Alta de Bolivia) configurado y posicionado en el sur de Perú propició condiciones favorables para la ocurrencia de lluvias fuertes y significativas en los Andes occidentales.

Figura N° 6. Anomalia de la Temperatura superficial del mar (°C) en el Pacifico ecuatorial para el periodo diciembre 2016 – abril 2017



Fuente: ENFEN, 2017

Página63 | 144

Sha

TANIA MIRTHA RIPS ARAUJO INGENIERA GEOGRAFA Reg. CIP. N° #9935 El Niño Costero 2017, calificada de magnitud moderada, fue bastante similar al evento El Niño del año 1925. Sin embargo, presentó mecanismos locales y características diferentes a los eventos extraordinarios El Niño de 1982-1983 y 1997-1998 (ENFEN, 2017).

En este contexto, en el sector 1 del distrito Morrope se presentaron lluvias intensas en el verano 2017, catalogadas como "Extremadamente Lluvioso" durante "El Niño Costero", debido a que la lluvia máxima de la estación meteorológica Lambayeque superó los 20,1 mm en un día (percentil 99) llegando a registrar en promedio 60,7 mm aproximadamente el 18 de marzo, el cual presenta un periodo de retorno o de recurrencia de 107 años. Asimismo, en la figura N° 7 se muestran las precipitaciones acumuladas a lo largo de la temporada lluviosa 2017 (línea roja), las cuales superaron significativamente sus cantidades normales (línea negra). Sin embargo, las lluvias máximas diarias históricas fueron mayores durante "El Niño 1982-83" el 14 de febrero alcanzando 71,3 mm.

El evento "El Niño Costero 2017", por sus impactos asociados a las lluvias se puede considerar como el tercer "Fenómeno El Niño" más intenso de al menos los últimos cien años para el Perú (ENFEN, 2017).

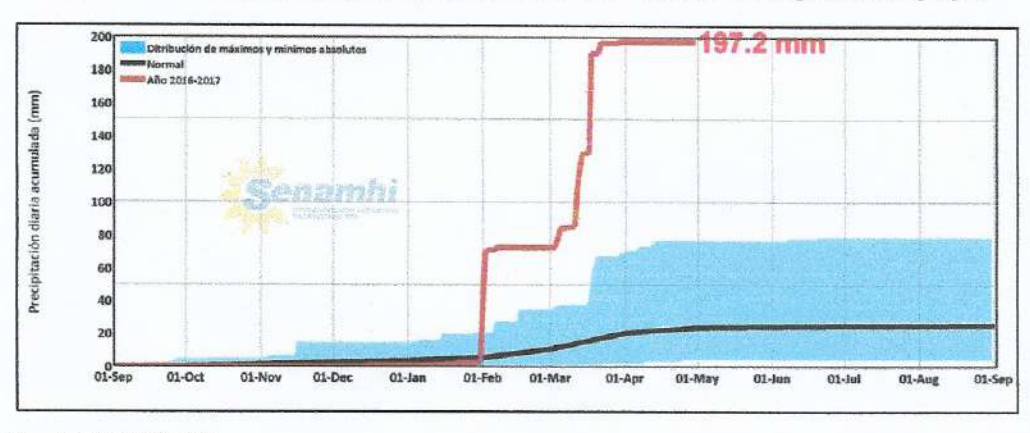


Figura Nº 7. Precipitación diaria acumulada en la estación meteorológica Lambayeque

Fuente: SENAMHI, 2017

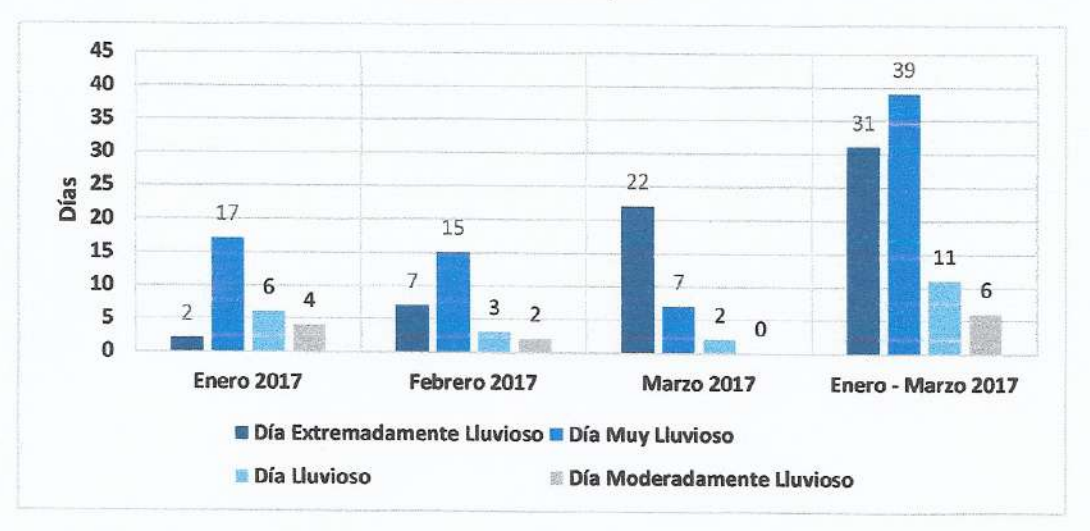
Respecto a la frecuencia promedio de lluvias extremas, el gráfico N° 50 muestra que durante el verano 2017 los días catalogados como "Extremadamente lluvioso" predominaron en febrero y marzo, aunado a ello persistieron días "Muy lluviosos" y "Lluviosos "que contribuyeron a la saturación del suelo.

the

TANIA MIRTHA RIOS TRAUJO INGENIERA GEOGRAFA Reg. CIP. Nº 79935

Página64 | 144

Gráfico N° 50. Frecuencia promedio de lluvias extremas durante El Niño Costero 2017 en el distrito de Morrope.

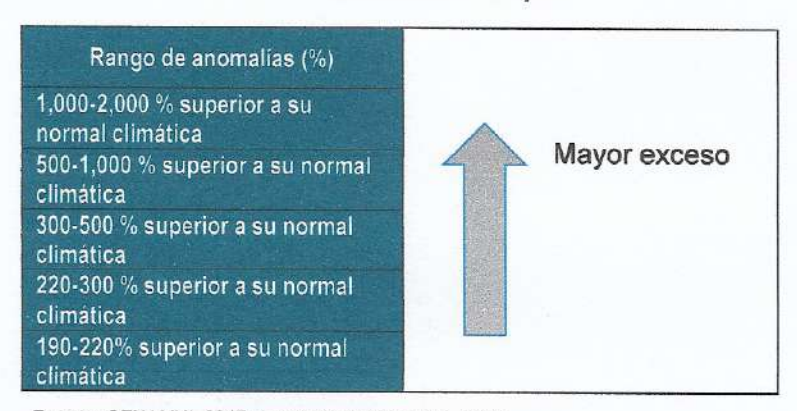


Fuente: SENAMHI, 2017.

a) Descriptores del factor desencadenante

Para el trimestre enero a marzo del año 2017, durante el Niño Costero 2017, las lluvias superaron sus cantidades normales, presentándose un exceso significativo de lluvias. En el cuadro N°49, se muestra los descriptores clasificados en cinco niveles, los cuales se asocia a los rangos de anomalías de las precipitaciones expresados en forma gradual. Estos rangos nos representan cuanto se ha desviado la precipitación, durante este evento extremo, en términos porcentuales con relación a la precipitación usual de la zona (precipitación media).

Cuadro N° 49. Anomalías de lluvia durante el periodo enero-marzo 2017 para el sector 1 del distrito Morrope.



Fuente: SENAMHI, 2017. Adaptado CENEPRED, 2018.

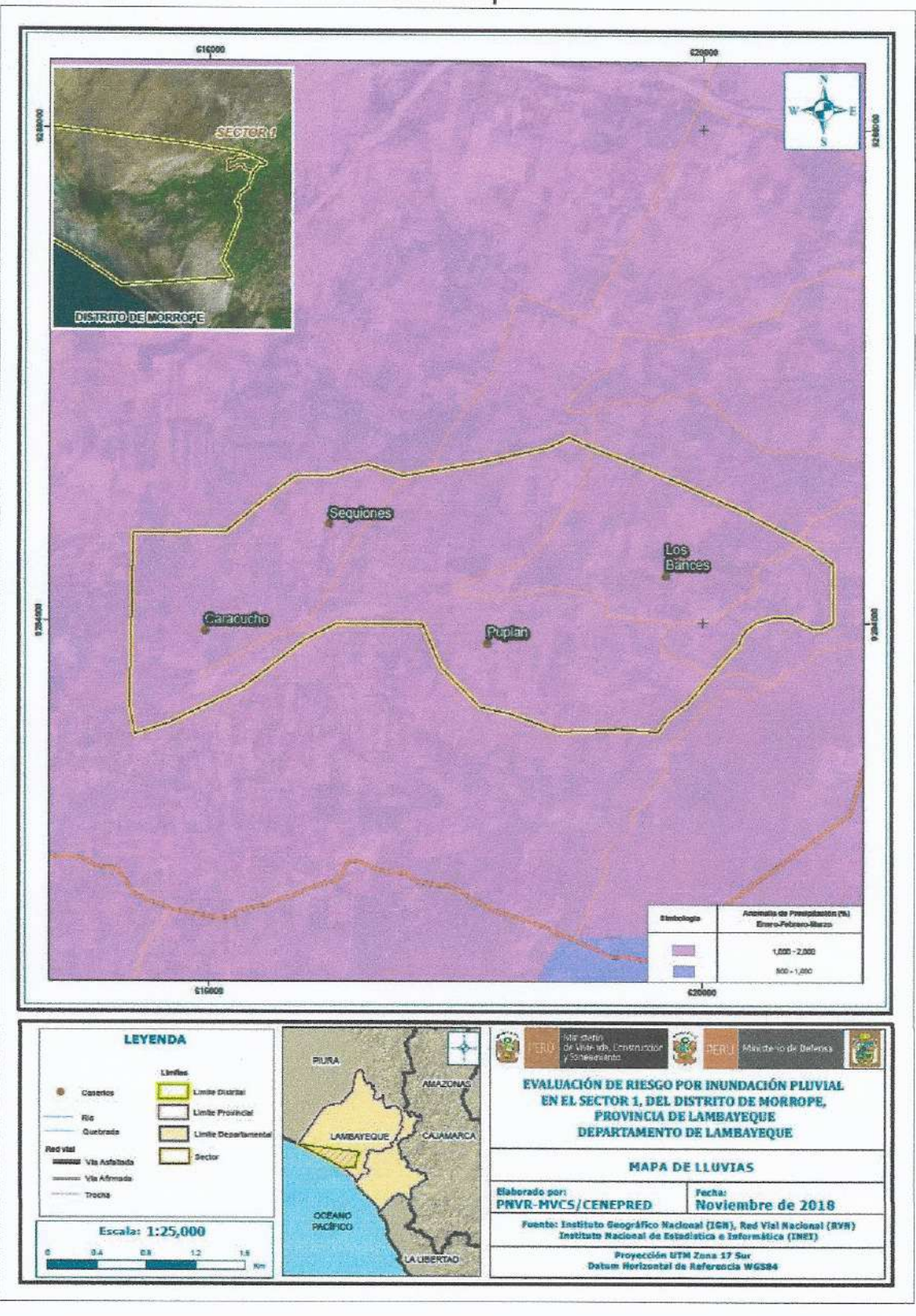
En la figura N°8, se observa que las áreas en tonalidades morado, donde se encuentra el sector 1 presentaron lluvias sobre lo normal alcanzando anomalías entre 1,000 y 2,000% durante el trimestre de enero a marzo 2017. En los rangos con mayores valores porcentuales (ver tonalidades de la leyenda), las lluvias anómalas fueron mayores.

do

TANIA MIRTHA RIOS ARAUJO INGENERA GEOGRAFA Reg. CIP. Nº 79935

65/144

Figura N° 8. Anomalías de Iluvias durante El Niño Costero 2017 (Enero-Marzo) para el sector 1 del distrito Morrope





Fuente: Elaborado con información proporcionada de SENAMHI

CAPITULO III: DETERMINACIÓN DEL NIVEL DE PELIGROSIDAD

3.1.METODOLOGÍA PARA LA DETERMINACIÓN DEL PELIGRO

Las condiciones de peligrosidad en el Sector 01, Distrito de Morrope, se basan en la dinámica de eventos hidrometeorológicos, es en ese sentido se identificaron factores en esta dinámica que permiten explicar el comportamiento actual del peligro y su influencia en este sector.

Las características físicas como la geomorfológica y topográfica del sector hace del distrito de Morrope una zona plana, sin pendientes considerables traen como consecuencias zonas inundables ante la ocurrencia de eventos climáticos extremos como los ocurridos en el año El Niño de los años 1982-1983 y 1997-1998, y el Niño costero acontecido en el año 2017.

Para determinar el nivel de peligrosidad por el fenómeno de inundación pluvial, se utilizó la siguiente metodología descrita en el gráfico 51.

CARACTERISTICA ESPACIAL

ELASORACIÓN DEL ASTUACIÓN DE INFORMACIÓN PERMARIA

ELASORACIÓN DE LA STUACIÓN DE INFORMACIÓN PERMARIA

RECOPILACIÓN DE INFORMACIÓN PERMARIA

RECOPILACIÓN DE INFORMACIÓN SECUNDARIA

PRECIPITACIÓN

FACTORES

DESENCADENANTE

PRECIPITACIÓN

PRECIPITACIÓN

PRECIPITACIÓN

CARACTERISTICA TEMPORAL

CARACTERISTICA ESPACIAL

TRECUENCIA

Gráfico 51. Metodología general para determinar el nivel de peligrosidad

Fuente: CENEPRED

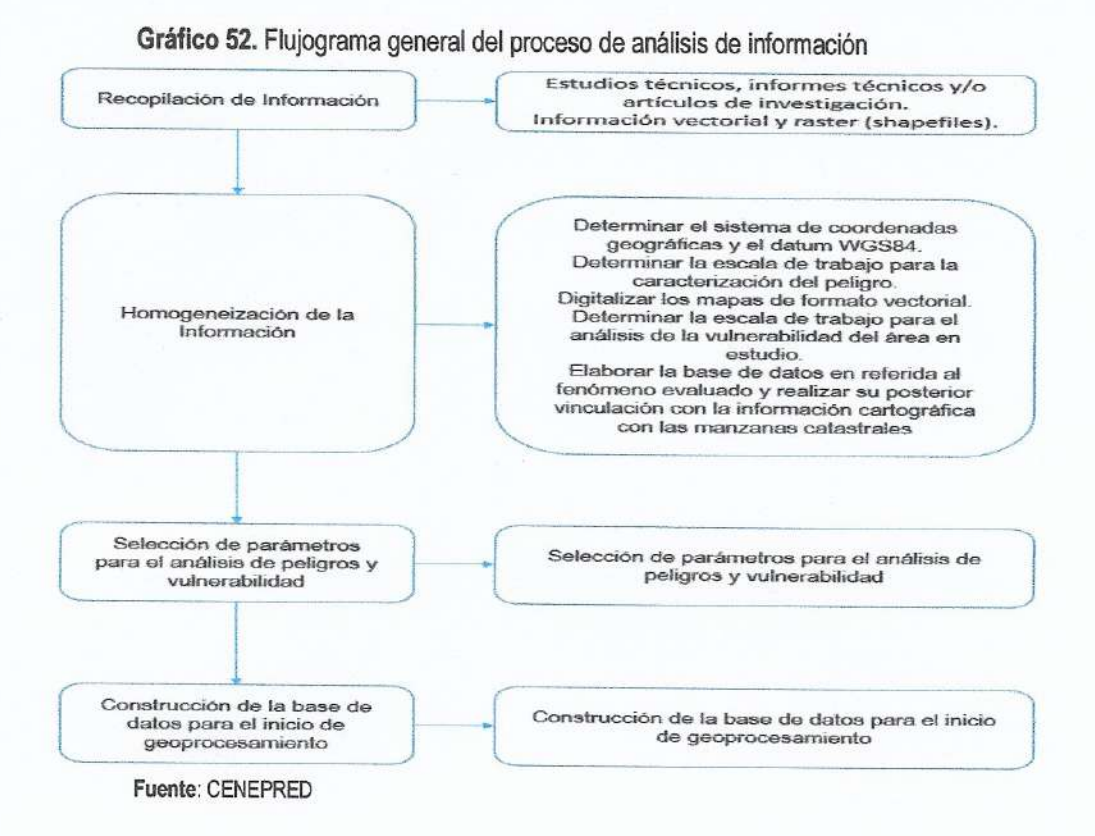
3.2. RECOPILACIÓN Y ANÁLISIS DE INFORMACIÓN

Se ha realizado la recopilación de información disponible: Estudios publicados por entidades técnico científicas competentes (INGEMMET, INEI, SENAMHI, MINAM), información histórica, estudio de peligros, cartografía, topografía, hidrografía, climatología, suelos, geología y geomorfología del distrito de Morrope para el fenómeno de inundación pluvial (Gráfica 52).

Así también, se ha realizado el análisis de la información proporcionada de entidades técnicas-científicas y estudios publicados acerca de las zonas evaluadas.

do

TANIA METHARIOS ARAUJO INGENIERA GEOGRAFA Reg. CIPINº 79935



3.3.IDENTIFICACIÓN DEL PELIGRO

El peligro identificado es de Inundación Pluvial por lluvias intensas en el distrito de Morrope sector 1, provincia de Lambayeque, departamento de Lambayeque.

FACTOR DE EVALUACION

Se ha considerado la Frecuencia como factor de evaluación por la cantidad de eventos de Iluvias intensas promedio por año y/o por lo menos un evento El Niño, registrado en el Sistema Nacional de Información para la Prevención y Atención de Desastres (SINPAD) y en el Inventario histórico de Desastres "DESINVENTAR".

3.4. CARACTERIZACIÓN DEL PELIGRO

La inundación pluvial, se produce por la acumulación de agua de lluvia en un determinado lugar o área geográfica sin que este fenómeno coincida necesariamente con el desbordamiento de un cauce fluvial. Este tipo de inundación se genera tras un régimen de lluvias intensas persistentes, es decir, por la concentración de un elevado volumen de lluvia en un intervalo de tiempo muy breve o por la incidencia de una precipitación moderada y persistente durante un amplio período de tiempo sobre un suelo poco permeable.

de

TANIA-METHA RIOS ARAUJO INGENIERA GEOGRAFA Reg. CIF Nº 79935

3.5.PONDERACIÓN DE LOS PARÁMETROS DE EVALUACIÓN DE LOS PELIGROS

Se ha considerado el parámetro de Evaluación a la frecuencia de eventos de lluvias intensas promedio por año y por lo menos un evento del Niño debido a que es un fenómeno recurrente y presenta períodos de retorno ya que ha sucedido la misma descarga de pp hace 107 años. Para la obtención de los pesos ponderados del parámetro de evaluación, se utilizó el proceso de análisis jerárquico. Los resultados obtenidos son los siguientes:

a) Parámetro: Frecuencia

Cuadro 50. Matriz de comparación de pares del parámetro Frecuencia

FRECUENCIA	Por lo menos 1 vez al año cada evento de El Niño y/o mayor a 5 eventos al año en promedio	De 3 a 4 eventos por año en promedio	De 2 a 3 eventos por año en promedio	De 1 a 2 eventos por año en promedio	De 1 evento por año en promedio o menor
Por lo menos 1 vez al año cada evento de El Niño y/o mayor a 5 eventos al año en promedio	1.00	2.00	3.00	5.00	7.00
De 3 a 4 eventos por año en promedio	0.50	1.00	2.00	3.00	5.00
De 2 a 3 eventos por año en promedio	0.33	0.50	1.00	3.00	5.00
De 1 a 2 eventos por año en promedio	0.20	0.33	0.33	1.00	3.00
De 1 evento por año en promedio o menor	0.14	0.20	0.20	0.33	1.00
SUMA	2.18	4.03	6.53	12.33	21.00
1/SUMA	0.46	0.25	0.15	0.08	0.05

Cuadro 51. Matriz de normalización de pares del parámetro Frecuencia

FRECUENCIA	Por lo menos 1 vez al año cada evento de El Niño y/o mayor a 5 eventos al año en promedio	De 3 a 4 eventos por año en promedio	De 2 a 3 eventos por año en promedio	De 1 a 2 eventos por año en promedio	De 1 evento por año en promedio o menor	Vector Prioriza cion
Por lo menos 1 vez al año cada evento de El Niño y/o mayor a 5 eventos al año en promedio	0.460	0.496	0.459	0.405	0.333	0.431
De 3 a 4 eventos por año en promedio	0.230	0.248	0.306	0.243	0.238	0.253
De 2 a 3 eventos por año en promedio	0. <mark>153</mark>	0.124	0.153	0.243	0.238	0.182
De 1 a 2 eventos por año en promedio	0.092	0.083	0.051	0.081	0.143	0.090
De 1 evento por año en promedio o menor	0.066	0.050	0.031	0.027	0.048	0.044

Cuadro 52. Indice (IC) y Relación de Consistencia (RC) obtenido del Proceso de Análisis

Jerárquico para el parámetro Frecuencia

IC	0.035
RC	0.031



TANIA MIRTHA RIOS ARAUJO INGENIERA GEOGRAFA Reg. CIN Nº 79935

3.6 SUSCEPTIBILIDAD DEL TERRITORIO

Para la evaluación de la susceptibilidad del área de influencia del Sector 1 de Morrope, se consideraron los factores desencadenante y condicionantes:

Cuadro 53. Parámetros a considerar en la evaluación de la susceptibilidad

Factor Desencadenante	Factores Condicionantes
Precipitación	Geología, Geomorfología, Pendientes

Fuente: CENEPRED

La metodología a utilizar tanto para la evaluación del peligro, como para el análisis de la vulnerabilidad, es el procedimiento de Análisis Jerárquico mencionado en el Manual para la Evaluación de Riesgos Originados por Fenómenos Naturales, 2da versión. (CENEPRED, 2014).

3.6.1 Análisis del Factor Desencadenante

Para la obtención de los pesos ponderados del parámetro del factor desencadenante, se utilizó el proceso de análisis jerárquico. Los resultados obtenidos son los siguientes:

a) Parámetro: Precipitación

Cuadro 54. Matriz de comparación de pares del parámetro Precipitación

		The state of the s			
RANGO DE ANOMALÍAS	1,000-2,000% superior a su normal climática	500-1,000% superior a su normal climática	300-500% superior a su normal climática	220-300% superior a su normal climática	190-220% superior a su normal climática
1,000-2,000% superior a su normal climática	1.00	2.00	3.00	4.00	6.00
500-1,000% superior a su normal climática	0.50	1.00	2.00	3.00	4.00
300-500% superior a su normal climática	0.33	0.50	1.00	3.00	4.00
220-300% superior a su normal climática	0.25	0.33	0.33	1.00	3.00
190-220% superior a su normal climática	0.17	0.25	0.25	0.33	1.00
SUMA	2.25	4.08	6.58	11.33	18.00
1/SUMA	0.44	0.24	0.15	0.09	0.06

ft.

TANIA MIR HA MOS ARAUJO INGENIERA GEOGRAFA Reg. CIP. Nº 79935

Página70 | 144

Cuadro 55. Matriz de normalización de pares del parámetro Precipitación

RANGO DE ANOMALÍAS	1,000- 2,000% superior a su normal climática	500- 1,000% superior a su normal climática	300-500% superior a su normal climática	220-300% superior a su normal climática	190-220% superior a su normal climática	Vector Priorizacion
1,000-2,000% superior a su normal climática	0.444	0.490	0.456	0.353	0.333	0.415
500-1,000% superior a su normal climática	0.222	0.245	0.304	0.265	0.222	0.252
300-500% superior a su normal climática	0.148	0.122	0.152	0.265	0.222	0.182
220-300% superior a su normal climática	0.111	0.082	0.051	0.088	0.167	0.100
190-220% superior a su normal climática	0.074	0.061	0.038	0.029	0.056	0.052

Cuadro 56. Índice (IC) y Relación de Consistencia (RC) obtenido del Proceso de Análisis Jerárquico para el parámetro Precipitación

IC	0.044
RC	0.039

3.6.2 Análisis de los Factores Condicionantes

Para la obtención de los pesos ponderados de los parámetros de los factores condicionantes: geología, geomorfología y pendiente se utilizó el proceso de análisis jerárquico para la determinación de la importancia relativa entre ellos usando la escala Saaty. Los resultados obtenidos son los siguientes:

Cuadro 57. Matriz de comparación de pares para los factores condicionantes

FACTORES CONDICIONANTES	Pendiente	Geomorfología	Geología
Pendiente	1.00	2.00	3.00
Geomorfología	0.50	1.00	2.00
Geología	0.33	0.50	. 1.00
SUMA	1.83	3.50	6.00
1/SUMA	0.55	0.29	0.17

Cuadro 58.La matriz de normalización nos muestra el vector de priorización (peso ponderado). Indica la importancia de cada parámetro en el analisis del fenomeno.

FACTORES CONDICIONANTES	Pendiente	Geomorfología	Geología	Vector Priorización
Pendiente	0.545	0.571	0.500	0.539
Geomorfología	0.273	0.286	0.333	0.297
Geología	0.182	0.143	0.167	0.164

do

TANIA MIETHA E OS ARAUJO INGENERA GEOGRAFA Reg. CIP. 10º 79935

Cuadro 59. Índice (IC) y Relación de Consistencia (RC) obtenido del Proceso de Análisis Jerárquico para los Factores condicionantes

IC	0.005
RC	0.009

Para la obtención de los pesos ponderados de los descriptores de los parámetros de los factores condicionantes, se utilizó el proceso de análisis jerárquico.

a) Parámetro: Geología

Cuadro 60. Matriz de comparación de pares del parámetro Geología

	THE RESIDENCE OF THE PARTY OF T			3.5	
GEOLOGÍA	Qr-fl	Qh-al	Qh-flal	Qr-e,	Qp-co
Qr-fl, Depósitos Fluvial Reciente	1.00	2.00	3.00	5.00	7.00
Qh-al, Depósitos Aluvial	0.50	1.00	3.00	5.00	7.00
Qh-flal, Depósitos Fluvio-aluvial	0.33	0.33	1.00	3.00	5.00
Qr-e, Depósito eólico reciente	0.20	0.20	0.33	1.00	3.00
Qp-co, Depósito coluvial	0.14	0.14	0.20	0.33	1.00
SUMA	2.18	3.68	7.53	14.33	23.00
1/SUMA	0.46	0.27	0.13	0.07	0.04

Cuadro 61. Matriz de normalización de pares del parámetro Geología

GEOLOGÍA	Qr-fl	Qh-al	Qh- flal	Qr-e,	Qp-co	Vector Priorizacion
Qr-fl, Depósitos Fluvial Reciente	0.460	0.544	0.398	0.349	0.304	0.411
Qh-al, Depósitos Aluvial	0.230	0.272	0.398	0.349	0.304	0.311
Qh-flal, Depósitos Fluvio-aluvial	0.153	0.091	0.133	0.209	0.217	0.161
Qr-e, Depósito eólico reciente	0.092	0.054	0.044	0.070	0.130	0.078
Qp-co, Depósito coluvial	0.066	0.039	0.027	0.023	0.043	0.040

Cuadro 62. Índice (IC) y Relación de Consistencia (RC) obtenido del Proceso de Análisis Jerárquico para el parámetro Geología

IC	0.049
RC	0.044

TANIA MIPI HA FIJOS ARAUJO INGENIERA GEOGRAFA Reg. CIP. N 79935

Página72 | 144

b) Parámetro: Geomorfología

000000000

Cuadro 63. Matriz de comparación de pares del parámetro Geomorfología

GEOMORFOLO GIA	Cfe, Cauce fluvial estacional	Pali, Planicie aluvial ligeramente Inclinada	Tma, Terraza media aluvial (tma)	Tbi, Terraza baja inundable	De, Dunas estabilizada s
Cfe, Cauce fluvial estacional	1.00	2.00	3.00	7.00	9.00
Pali, Planicie aluvial ligeramente Inclinada	0.50	1.00	3.00	5.00	7.00
Tma, Terraza media aluvial (tma)	0.33	0.33	1.00	3.00	5.00
Tbi, Terraza baja inundable	0.14	0.20	0.33	1.00	3.00
De, Dunas estabilizadas	0.11	0.14	0.20	0.33	1.00
SUMA	2.09	3.68	7.53	16.33	25.00
1/SUMA	0.48	0.27	0.13	0.06	0.04

Cuadro 64. Matriz de normalización de pares del parámetro Geomorfología

	A STATE OF THE PROPERTY OF THE PARTY OF THE				3	
GEOMORFOLOGIA	Cfe, Cauce fluvial estacional	Pali, Planicie aluvial ligerament e Inclinada	Tma, Terraz a media aluvial (tma)	Tbi, Terraz a baja inunda ble	De, Dunas estabilizad as	Vector Priorizacio n
Cfe, Cauce fluvial estacional	0.479	0.544	0.398	0.429	0.360	0.442
Pali, Planicie aluvial ligeramente Inclinada	0.240	0.272	0.398	0.306	0.280	0.299
Tma, Terraza media aluvial (tma)	0.160	0.091	0.133	0.184	0.200	0.153
Tbi, Terraza baja inundable	0.068	0.054	0.044	0.061	0.120	0.070
De, Dunas estabilizadas	0.053	0.039	0.027	0.020	0.040	0.036

Cuadro 65. Índice (IC) y Relación de Consistencia (RC) obtenido del Proceso de Análisis Jerárquico para el parámetro Geomorfología

IC	
IC .	

de

ANIA MIRTHA HIDS ARAUJO INGENIERA GEOGRAFA Reg. CIP. Nº 79935

Página73 | 144

c) Parámetro: Pendiente

Cuadro 66. Matriz de comparación de pares del parámetro Pendiente

		THE OWNER OF	le pares del para	arrietto Pendiente	9
PENDIENTE Menor a 5°		Entre 5° a 15°	Entre 15° a 25°	Entre 25° a 45°	Mayor a 25°
Menor a 5°	1.00	2.00	3.00	5.00	7.00
Entre 5° a 15°	0.50	1.00	2.00	3.00	5.00
Entre 15° a 25°	0.33	0.50	1.00	2.00	3.00
Entre 25° a 45°	0.20	0.33	0.50	1.00	3.00
Mayor a 45°	0.14	0.20	0.33	0.33	1.00
SUMA	2.18	4.03	6.83	11.33	19.00
1/SUMA	0.46	0.25	0.15	0.09	0.05

Cuadro 67. Matriz de normalización de pares del parámetro Pendiente

PHILIPPE STATE OF THE PRINCIPLE STATE OF THE	TE STEEL		I man and bo	rameno renui	CITIE	
PENDIENTE	Menor a 5 °	Entre 5° a 15°	Entre 15° a 25°	Entre 25° a 45°	Mayor a 45°	Vector Priorizacio n
Menor a 5°	0.460	0.496	0.439	0.441	0.368	0.441
Entre 5° a 15°	0.230	0.248	0.293	0.265	0.263	0.260
Entre 15° a 25°	0.153	0.124	0.146	0.176	0.158	0.152
Entre 25° a 45°	0.092	0.083	0.073	0.088	0.158	0.099
Mayor a 45°	0.066	0.050	0.049	0.029	0.053	0.049

Cuadro 68. Índice (IC) y Relación de Consistencia (RC) obtenido del Proceso de álisis Jerárquico para el parámetro Pendiente

IC	0.019
RC	0.017

TANIA MIRY HA HIQS ARAUJO INGENIERA GEOGRAFA Reg. CIP. N. 79935

3.7 ANÁLISIS DE ELEMENTOS EXPUESTOS

En el area del influencia de sector 1 del distrito de Morrope, se encuentran a los elementos expuestos susceptibles ante el impacto del peligro por inundacion pluvial, como: Población, viviendas, instituciones educativas, establecimientos salud, caminos rurales, servicios públicos básicos, entre otros.

A. Población

La población que se encuentra en el área de influencia del Sector 1 de Morrope, son considerados como elementos expuestos ante el impacto del peligro inundación pluvial.

Cuadro 69. Elementos expuestos susceptibles en la población

Descripción	Población
Sequiones	350
Puplan	271
Los Bances	720
Caracucho	188
Total	1,529

Fuente: INEI -2015

B. Vivienda

Las viviendas que se encuentra dentro del área de influencia presentan en su mayoría paredes de adobe y techos con caña o estera con torta de barro siendo más susceptibles a eventos de precipitación pluvial muy alta.

Cuadro 70. Elementos expuestos en el sector vivienda

Descripción	vivienda		
Sequiones	83		
Puplan	60		
Los Bances	138		
Caracucho	39		
Total	320		

Fuente: INEI-2015, SIGRID-CENEPRED

C. Educación

El área de influencia del sector 1 del distrito de Morrope presentan 3 instituciones educativas,.

Cuadro 71 Elementos expuestos en el sector Educación

Centro Poblado	Instituciones Educativas
Instituciones educativas (Publicas)	3
Total	3

Fuente: MINEDU

D. Salud

Dentro del área de influencia del sector 1 de Morrope, se encuentra 1 Establecimiento de Salud pública.

go.

TANIA MIR HA RIOS ARAUJO INGENIERA GEOGRAFA Reg. CIP. Nº 79935

Página75 | 144

618660 EVALUACIÓN DE RIESGO POR INUNDACIÓN PLUVIAL EN EL SECTOR 1, DEL DISTRITO DE MORROPE, PROVINCIA DE LAMBAYEQUE DEPARTAMENTO DE LAMBAYEQUE MAPA DE ELEMENTOS EXPUESTOS Noviembre de 2018 4 PNVR-MVCS/CENEPRED Escala: 1:25,000 nte: Instituto Geográfico Nacional (IGN), Rod Vial Nacional (RVN) Instituto Hacional de Estadística e Informática (INEI) Proyección IFTM Zena 17 Sur Datum Horizental de Referencia WGS84

Figura 10. Mapa de elementos expuestos ante inundación pluvial



Fuente: SIGRID. CENEPRED

TANIA MRTHARIOS ARAUJO INGENIERA GEOGRAFA Reg. CIP Nº 79935

3.8 DEFINICIÓN DE ESCENARIOS

Se ha considerado el escenario más alto: con una Precipitación 1,000-2,000%, superior a su normal climática, presenta geomorfología de llanura o planicie aluvial, con pendientes menores de 5°, geología con Depósito Aluvial Reciente, Frecuencia con por lo menos 1 vez al año cada evento de El Niño y/o mayor a 5 eventos al año en promedio, se produciría inundación pluvial en el Sector 1 del distrito de Morrope, ocasionando daños en los elementos expuestos en sus dimensiones social y económica".

3.9 NIVELES DE PELIGRO

En el siguiente cuadro, se muestran los niveles de peligro y sus respectivos rangos obtenidos a través de utilizar el Proceso de Análisis Jerárquico.

Cuadro 72. Niveles de Peligro

NIVEL		R	ANC	90	
MUY ALTO	0.259	≤	P	4	0.428
ALTO	0.175	≤	P	<	0.259
MEDIO	0.092	≤	P	<	0.175
BAJO	0.046	5	P	<	0.092

3.10 ESTRATIFICACIÓN DEL NIVEL DE PELIGRO

En el siguiente cuadro se muestra la matriz de peligros obtenido:

Cuadro 73. Matriz de peligro

Nivel de Peligro	Descripción	Rangos
PELIGRO MUY ALTO	Precipitación 1.000-2.000% superior a su normal climática, presenta geologia de Depósito fluvial Reciente, geomorfologia de llanura o planicie aluvial, con pendientes menores de 5°, Frecuencia con por lo menos 1 vez al año cada evento de El Niño y/o mayor a 5 eventos al año.	0 259 ≤ P < 0 428
PELIGRO ALTO	Precipitación 500-1,000% superior a su normal climática, presenta geología de Depósito aluvial, geomorfología de tipo llanura o planicie inundable, con pendientes menores de 15° con una frecuencia promedio de 3 a 4 eventos asociados a precipitaciones por año.	0.175 ≤ P < 0.259
PELIGRO MEDIO	Precipitación 300-500% superior a su normal climática, presenta geología de depósitos fluvial aluvial, geomorfología de terraza aluvial, con pendientes desde 15° a 25°, situados en, grandiorita o tonalitas, con una frecuencia promedio de 1 a 3 eventos asociados a precipitaciones por año.	0.092 ≤ P < 0.175
PELIGRO BAJO	Precipitación 190-300% superior a su normal climática, presenta geología de Depósito Eólico Reciente, geomorfología de colina en roca volcánica o vertiente aluvio-torrencial, con pendientes mayores a 25°,, con una frecuencia promedio menor a 1 evento asociados a precipitaciones por año.	0.046 ≤ P < 0.092

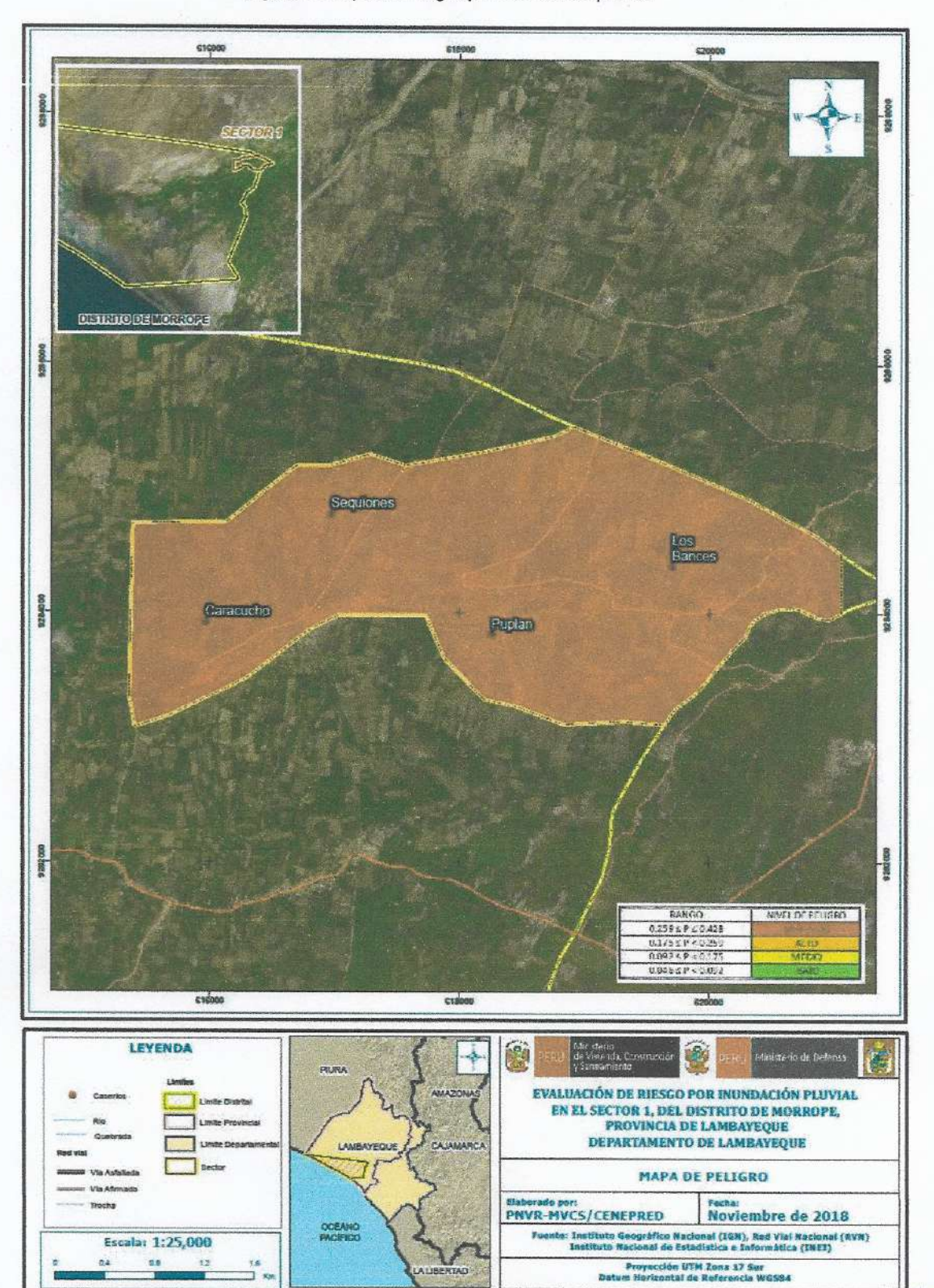
Fuente: CENEPRED

the

TANIA MIRTHA RIOS ARAUJO INGENIERA GEOGRAFA Reg. CIP. N. 79935

3.11 MAPA DE PELIGROS

Figura 9. Mapa de Peligro por inundación pluvial



Cu

Fuente: Elaborado con información proporcionada de SENAMHI, INGEMMET y ZEE Lambayeque

TANIA MIRITHA RIPS ARAUJO INGENERA GEOGRAFA Reg. CIP. Nº 79935

CAPITULO IV: ANALISIS DE LA VULNERABILIDAD

4.1 METODOLÍA PARA EL ANÁLISIS DE LA VULNERABILIDAD

Para realizar el análisis de vulnerabilidad de los elementos expuestos del Sector 1 del distrito de Morrope, se utiliza la siguiente metodología como se muestra en el Grafico 53.

EXPOSICIÓN

EXPOSICIÓN

EXPOSICIÓN

DE LOS

ELEVIZATIOS

EXPLISTOS

MAPA DE ELEMENTOS

EXPLISTOS

NIVELES DE

VULNERABILIDAD

VULNERABILIDAD

RESILENCIA

RESILENC

Gráfico 53. Metodología del análisis de la vulnerabilidad

Para determinar los niveles de vulnerabilidad en el Sector 1 del distrito de Morrope, se ha considerado realizar el análisis de los factores de la vulnerabilidad en la dimensión social y económica, por ser los temas mas relacionados al estudio sobre las afectaciones por el Fenómeno del Niño Costero y considerando toda la población expuesta. Se ha utilizado el método de Saaty.

4.2 ANÁLISIS DE LA DIMENSIÓN SOCIAL

Para el análisis de la vulnerabilidad en su dimensión social, se evaluaron los siguientes parámetros:

Cuadro 74. Parámetros a utilizar en los factores fragilidad y resiliencia de la Dimensión Social

Dimensión Social					
Exposición	Fragilidad	Resiliencia			
Población residente	Abastecimiento de agua Saneamiento Fuente de energía	Conocimiento de desatres Capacitación en riesgos Actitud frente a los riesgos			



TANIA MIRTHA RIOS ARAUJO INGENERA GEOGRAFA Reg. CIP. W 79935

4.2.1 Análisis de la Exposición en la Dimensión Social

Cuadro 75. Matriz de comparación de pares

Población residente	Mayor de 1,400 habitantes	De 1,200 a 1,400 habitantes	De 1,000 a 1,200 habitantes	De 800 a 1,000 habitantes	Menor a 800 habitantes
Mayor de 1,400 habitantes	1.00	2.00	3.00	5.00	6.00
De 1,200 a 1,400 habitantes	0.50	1.00	3.00	4.00	7.00
De 1,000 a 1,200 habitantes	0.33	0.33	1.00	3.00	5.00
De 800 a 1,000 habitantes	0.20	0.25	0.33	1.00	3.00
Menor a 800 habitantes	0.17	0.14	0.20	0.33	1.00
SUMA	2.20	3.73	7.53	13.33	22.00
1/SUMA	0.45	0.27	0.13	0.08	0.05

Fuente: Elaboración propia

Cuadro 76. Matriz de normalización de pares

Población residente	Mayor de 1,400 habitantes	De 1,200 a 1,400 habitantes	De 1,000 a 1,200 habitantes	De 800 a 1,000 habitantes	Menor a 800 habitantes	Vector priorización
Mayor de 1,400 habitantes	0.455	0.537	0.398	0.375	0.273	0.407
De 1,200 a 1,400 habitantes	0.227	0.268	0.398	0.300	0.318	0.302
De 1,000 a 1,200 habitantes	0.152	0.089	0.133	0.225	0.227	0.165
De 800 a 1,000 habitantes	0.091	0.067	0.044	0.075	0.136	0.083
Menor a 800 habitantes	0.076	0.038	0.027	0.025	0.045	0.042

Fuente: Elaboración propia

Cuadro 77. Índice (IC) y Relación de Consistencia (RC) obtenido del Proceso de Análisis Jerárquico para el parámetro Grupo Etario

IC	0.055
RC	0.049

Fuente: Elaboración propia

TANIA MIRTHA RIOS ARAUJO INGENIERA GEOGRAFA Reg. CIP.W° 79935

differ

4.2.2 Análisis de la Fragilidad en la Dimensión Social

a) Parámetro: Abastecimiento de agua

Cuadro 78. Matriz de comparación de pares

ABASTECIMIENTO DE AGUA	No tiene	Río, acequia, manantial o similar	Camión cisterna u otro similar	Pilón de uso público	Red Pública
No tiene	1.00	2.00	4.00	5.00	8.00
Río, acequia, manantial o similar	0.50	1.00	2.00	4.00	7.00
Camión cisterna u otro similar	0.25	0.50	1.00	3.00	5.00
Pilón de uso público	0.20	0.25	0.33	1.00	3.00
Red Pública	0.13	0.14	0.20	0.33	1.00
SUMA	2.08	3.89	7.53	13.33	24.00
1/SUMA	0.48	0.26	0.13	0.08	0.04

Fuente: Elaboración propia

Cuadro 79. Matriz de normalización

GRUPO ETARIO	De 0 a 5 años y mayores de 65 años	De 5 a 12 años y de 60 a 65 años	De 12 a 15 años y de 50 a 60 años	De 15 a 30 años	De 30 a 50 años	Vector Priorizacion
De 0 a 5 años y mayores de 65 años	0.482	0.514	0.531	0.375	0.333	0.447
De 5 a 12 años y de 60 a 65 años	0.241	0.257	0.265	0.300	0.292	0.271
De 12 a 15 años y de 50 a 60 años	0.120	0.128	0.133	0.225	0.208	0.163
De 15 a 30 años	0.096	0.064	0.044	0.075	0.125	0.081
De 30 a 50 años	0.060	0.037	0.027	0.025	0.042	0.038

Fuente: Elaboración propia

Cuadro 80. Índice (IC) y Relación de Consistencia (RC) obtenido del Proceso

a	ie Analisis Jerarquico
IC	0.036
RC	0.032

Fuente: Elaboración propia

TANIA MINTHA RIOS ARAUJO INGENIERA GEOGRAFA Reg. CIP. Mº 79935

b) Parámetro: Saneamiento

Cuadro 81. Matriz de comparación de pares

SERVICIOS HIGIÉNICOS	No tiene	Río, acequia o canal	Pozo ciego/negro	Letrina	Red pública de desague
No tiene	1.00	3.00	4.00	7.00	8.00
Río, acequia o canal	0.33	1.00	3.00	5.00	7.00
Pozo ciego/negro	0.25	0.33	1.00	3.00	5.00
Letrina	0.14	0.20	0.33	1.00	2.00
Red pública de desague	0.13	0.14	0.20	0.50	1.00
SUMA	1.85	4.68	8.53	16.50	23.00
1/SUMA	0.54	0.21	0.12	0.06	0.04

Fuente: Elaboración propia

Cuadro 82. Matriz de normalización

SERVICIOS HIGIÉNICOS	No tiene	Río, acequia o canal	Pozo ciego Inegro	Letrina	Red pública de desague	Vector Priorizacion
No tiene	0.540	0.642	0.469	0.424	0.348	0.485
Río, acequia o canal	0.180	0.214	0.352	0.303	0.304	0.271
Pozo ciego/negro	0.135	0.071	0.117	0.182	0.217	0.145
Letrina	0.077	0.043	0.039	0.061	0.087	0.061
Red pública de desague	0.068	0.031	0.023	0.030	0.043	0.039

Fuente: Elaboración propia

Cuadro 83. Índice (IC) y Relación de Consistencia (RC) obtenido del Proceso de Análisis Jerárquico para el parámetro Discapacidad

IC	0.048
RC	0.043

Fuente: Elaboración propia

fite

ANIA MIRTHARIOS ARAUJO INGENIERA GEOGRAFA Rég. CIP. Nº 79935

Página82 | 144

c) Parámetro: Fuente de energía

Cuadro 84. Matriz de comparación de pares

TIPO DE ALUMBRADO	No tiene	Vela y Otro	Petróleo, gas, lámpara	Panel Solar	Electricidad
No tiene	1.00	2.00	3.00	4.00	7.00
Vela y Otro	0.50	1.00	2.00	3.00	6.00
Petróleo, gas, lámpara	0.33	0.50	1.00	2.00	5.00
Panel Solar	0.25	0.33	0.50	1.00	3.00
Electricidad	0.14	0.17	0.20	0.33	1.00
SUMA	2.23	4.00	6.70	10.33	22.00
1/SUMA	0.45	0.25	0.15	0.10	0.05

Fuente: Elaboración propia

Cuadro 85. Matriz de normalización

TIPO DE ALUMBRADO	No tiene	Vela y Otro	Petróleo, gas, lámpara	Panel Solar	Electricid ad	Vector Priorizacion
No tiene	0.449	0.500	0.448	0.387	0.318	0.420
Vela y Otro	0.225	0.250	0.299	0.290	0.273	0.267
Petróleo, gas, lámpara	0.150	0.125	0.149	0.194	0.227	0.169
Panel Solar	0.112	0.083	0.075	0.097	0.136	0.101
Electricidad	0.064	0.042	0.030	0.032	0.045	0.043

Fuente: Elaboración propia

Cuadro 86. Índice (IC) y Relación de Consistencia (RC) obtenido del Proceso de Análisis Jerárquico para el parámetro Discapacidad

IC	0.021
RC	0.019

Fuente: Elaboración propia

A STORY

TANIA MIRTHA RIOS ARAUJO INGENIERA GEOGRAFA Reg. CIP. Nº 79935

d) Análisis de los parámetros del factor Fragilidad de la dimensión social

Cuadro 87. Matriz de comparación de pares de los parámetros utilizados en el factor resiliencia de la dimensión social

FRAGILIDAD SOCIAL	Saneamiento	Fuente de . energía	Abastecimiento de agua
Saneamiento	1.00	3.00	5.00
Fuente de energía	0.33	1.00	3.00
Abastecimiento de agua	0.20	0.33	1.00
SUMA	1.53	4.33	9.00
1/SUMA	0.65	0.23	0.11

Fuente: Elaboración propia

Cuadro 88. Matriz de normalización de pares de los parámetros utilizados en el factor resiliencia de la dimensión social

FRAGILIDAD SOCIAL	Saneamiento	Fuente de energía	Abastecimiento de agua	Vector Priorización
Saneamiento	0.652	0.692	0.556	0.633
Fuente de energía	0.217	0.231	0.333	0.260
Abastecimiento de agua	0.130	0.077	0.111	0.106

Fuente: Elaboración propia

Cuadro 89. Índice (IC) y Relación de Consistencia (RC) obtenido del Proceso de Análisis Jerárquico para los parámetros utilizados en el factor resiliencia de la dimensión social

IC	0.019
RC	0.037

Fuente: Elaboración propia

4.2.3 Análisis de la Resiliencia en la Dimensión Social

Para la obtención de los pesos ponderados de los parámetros del factor resiliencia de la dimensión social, se utilizó el proceso de análisis jerárquico. Los resultados obtenidos son los siguientes:

TANIA MIRTHA RIOS ARAUJO INGENIERA GEOGRAFA Reg. CIP. Nº 79935

Página84 | 144

a) Parámetro: Conocimiento sobre ocurrencia de desastres

Cuadro 90. Matriz de comparación de pares

Conocimiento sobre ocurrencia de desastres	Todos los años	De 1 a 3 años	De 4 a 9 años	Hace más de 10 años	Nunca ha pasado
Todos los años	1.00	2.00	3.00	5.00	7.00
De 1 a 3 años	0.50	1.00	3.00	4.00	5.00
De 4 a 9 años	0.33	0.33	1.00	3.00	4.00
Hace más de 10 años	0.20	0.25	0.33	1.00	3.00
Nunca ha pasado	0.14	0.20	0.25	0.33	1.00
SUMA	2.18	3.78	7.58	13.33	20.00
1/SUMA	0.46	0.26	0.13	0.08	0.05

Fuente: Elaboración propia

Cuadro 91. Matriz de normalización

Conocimient o sobre ocurrencia de desastres	Todos los años	De 1 a 3 años	De 4 a 9 años	Hace más de 10 años	Nunca ha pasado	Vector Priorizac ión
Todos los años	0.460	0.529	0.396	0.375	0.350	0.422
De 1 a 3 años	0.230	0.264	0.396	0.300	0.250	0.288
De 4 a 9 años	0.153	0.088	0.132	0.225	0.200	0.160
Hace más de 10 años	0.092	0.066	0.044	0.075	0.150	0.085
Nunca ha pasado	0.066	0.053	0.033	0.025	0.050	0.045

Fuente: Elaboración propia

Cuadro 92. Índice (IC) y Relación de Consistencia (RC) obtenido del Proceso de Análisis Jerárquico

IC	0.051
RC	0.045

Fuente: Elaboración propia

S ARAUJO Reg! CIP. No 79935

b) Parámetro: Capacitación en temas de riesgo de desastres

Cuadro 93 Matriz de comparación de pares

Capacitación en temas de riesgo de desastres	Nunca han tenido capacitación	Cada 5 años	Cada 3 años	Cada 2 años	1 vez por año
Nunca han tenido capacitación	1.00	2.00	3.00	4.00	7.00
Cada 5 años	0.50	1.00	3.00	5.00	6.00
Cada 3 años	0.33	0.33	1.00	3.00	5.00
Cada 2 años	0.25	0.20	0.33	1.00	2.00
1 vez por año	0.14	0.17	0.20	0.50	1.00
SUMA	2.23	3.70	7.53	13.50	21.00
1/SUMA	0.45	0.27	0.13	0.07	0.05

Fuente: Elaboración propia

Cuadro 94. Matriz de normalización

Capacitación en temas de riesgo de desastres	Nunca han tenido capacitación	Cada 5 años	Cada 3 años	Cada 2 años	1 vez por año	Vector priorización
Nunca han tenido capacitación	0.449	0.541	0.398	0.296	0.333	0.404
Cada 5 años	0.225	0.270	0.398	0.370	0.286	0.310
Cada 3 años	0.150	0.090	0.133	0.222	0.238	0.167
Cada 2 años	0.112	0.054	0.044	0.074	0.095	0.076
1 vez por año	0.064	0.045	0.027	0.037	0.048	0.044

Fuente:

Elaboración propia

Cuadro 95. Índice (IC) y Relación de Consistencia (RC) obtenido del Proceso de Análisis Jerárquico

IC	0.044
RC	0.040

Fuente: Elaboración propia

All I

TANIA MIRTHA RIOS ARAUJO INGENIERA GEOGRAFA Reg. CIP. N. 79935

c) Parámetro: Actitud frente al riesgo

Cuadro 96. Matriz de comparación de pares

ACTITUD FRENTE AL RIESGO	Fatalista	Escasamente fatalista	Parcialmente	Regularmente positiva	Positiva
Fatalista	1.00	3.00	4.00	7.00	9.00
Escasamente fatalista	0.33	1.00	2.00	5.00	7.00
Parcialmente	0.25	0.50	1.00	3.00	5.00
Regularmente positiva	0.14	0.20	0.33	1.00	3.00
Positiva	0.11	0.14	0.20	0.33	1.00
SUMA	1.84	4.84	7.53	16.33	25.00
1/SUMA	0.54	0.21	0.13	0.06	0.04

Fuente: Elaboración Propia

Cuadro 97 Matriz de normalización

ACTITUD FRENTE AL RIESGO	Fatalista	Escasamente fatalista	Parcialmente	Regularmente positiva	Positiva	Vector Priorización
Fatalista	0.544	0.619	0.531	0.429	0.360	0.497
Escasamente fatalista	0.181	0.206	0.265	0.306	0.280	0.248
Parcialmente	0.136	0.103	0.133	0.184	0.200	0.151
Regularmente positiva	0.078	0.041	0.044	0.061	0.120	0.069
Positiva	0.060	0.029	0.027	0.020	0.040	0.035

Fuente: Elaboración Propia

Cuadro 98. Índice (IC) y Relación de Consistencia (RC) obtenido del Proceso de Análisis Jerárquico

	()	
IC	0.043	
RC	0.039	

Fuente: Elaboración Propia

TANIA MIR HA RIOS ARAUJO INGENIERA GEOGRAFA Reg. CIP. Nº 79935

do

d) Análisis de los parámetros del factor resiliencia de la dimensión social

Cuadro 99. Matriz de comparación de pares de los parámetros utilizados en el factor resiliencia de la dimensión social

FACTOR RESILIENCIA SOCIAL	Conocimiento sobre ocurrencia de desastres	Capacitación en temas de riesgos de desastres	Actitud frente a riesgos
Conocimiento sobre ocurrencia de desastres	1.00	2.00	4.00
Capacitación en temas de riesgos de desastres	0.50 1.00		3.00
Actitud frente a riesgos	0.25	0.33	1.00
SUMA	1.75	3.33	8.00
1/SUMA	0.57	0.30	0.13

Fuente: Elaboración Propia

Cuadro 100. Matriz de normalización de pares de los parámetros utilizados en el factor resiliencia de la dimensión social

FACTOR RESILIENCIA SOCIAL	Conocimiento sobre ocurrencia de desastres	Capacitación en temas de riesgos de desastres	Actitud frente a riesgos	Vector Priorización
Conocimiento sobre ocurrencia de desastres	0.571	0.600	0.500	0.557
Capacitación en temas de riesgos de desastres	0.286	0.300	0.375	0.320
Actitud frente a riesgos	0.143	0.100	0.125	0.123

Fuente: Elaboración Propia

Cuadro 101. Índice (IC) y Relación de Consistencia (RC) obtenido del Proceso de Análisis Jerárquico para los parámetros utilizados en el factor resiliencia de la dimensión social

IC	0.009
RC	0.017

Fuente: Elaboración Propia

Jan Jan

TANIA MIR HA RIOS ARAUJO INGENIERA GEOGRAFA Reg. CIP. Nº 79935

d) Análisis de los parámetros de la dimensión social

Cuadro 102. Matriz de comparación de pares

DIMENSIÓN SOCIAL	Exposición	Fragilidad	Resiliencia
Exposición	1.00	2.00	4.00
Fragilidad	0.50	1.00	3.00
Resiliencia	0.25	0.33	1.00
SUMA	1.75	3.33	8.00
1/SUMA	0.57	0.30	0.13

Fuente: Elaboración Propia

Cuadro 103, Matriz de normalización

DIMENSIÓN SOCIAL	Exposición	Fragilidad	Resiliencia	Vector Priorización
Exposición 0.571		0.600	0.500	0.557
Fragilidad	0.286	0.300	0.375	0.320
Resiliencia	0.143	0.100	0.125	0.123

Fuente: Elaboración Propia

Cuadro 104. Índice (IC) y Relación de Consistencia (RC) obtenido del Proceso de Análisis Jerárquico

IC	0.009
RC	0.017

Fuente: Elaboración Propia

4.3 ANÁLISIS DE LA DIMENSIÓN ECONÓMICA

Para el análisis de la vulnerabilidad en su dimensión económica, se evaluaron los siguientes parámetros:

Cuadro 105. Parámetro de Dimensión Económica

	Dimensión Económica	
Exposición	Fragilidad	Resiliencia
Viviendas ubicadas en el Sector 1	Material Predominante de las paredes Material Predominante de techos Estado de conservación	Ingreso promedio familiar Actividad laboral Ocupación

Fuente: Elaboración Propia

TANIA MIRTEA RIOBARAUJO INGENIERA GEOGRAFA Reg. CIP. Nº 19935

All and a second

4.3.1 Análisis de la Exposición en la Dimensión Económica

Cuadro 106. Matriz de comparación de pares

Viviendas ubicadas en el Sector 1 de Morrope	Mayores a 400 viviendas	De 300 a 400 viviendas	De 200 a 300 viviendas	De 100 a 200 viviendas	Menores a 100 viviendas
Mayores a 400 viviendas	1.00	2.00	3.00	5.00	6.00
De 300 a 400 viviendas	0.50	1.00	2.00	3.00	7.00
De 200 a 300 viviendas	0.33	0.50	1.00	2.00	5.00
De 100 a 200 viviendas	0.20	0.33	0.50	1.00	3.00
Menores a 100 viviendas	0.17	0.14	0.20	0.33	1.00
SUMA	2.20	3.98	6.70	11.33	22.00
1/SUMA	0.45	0.25	0.15	0.09	0.05

Fuente: Elaboración Propia

Cuadro 107. Matriz de normalización de pares

Viviendas ubicadas en el Sector 1 de Morrope	Mayores a 400 viviendas	De 300 a 400 viviendas	De 200 a 300 viviendas	De 100 a 200 viviendas	Menores a 100 viviendas	Vector priorización
Mayores a 400 viviendas	0.455	0.503	0.448	0.441	0.273	0.424
De 300 a 400 viviendas	0.227	0.251	0.299	0.265	0.318	0.272
De 200 a 300 viviendas	0.152	0.126	0.149	0.176	0.227	0.166
De 100 a 200 viviendas	0.091	0.084	0.075	0.088	0.136	0.095
Menores a 100 viviendas	0.076	0.036	0.030	0.029	0.045	0.043

Fuente: Elaboración Propia

Cuadro 108. Índice (IC) y Relación de Consistencia (RC) obtenido del Proceso de Análisis Jerárquico para el parámetro Grupo Etario

IC	0.029
RC	0.026

Fuente: Elaboración Propia

4.3.2 Análisis de la Fragilidad en la Dimensión Económica

Para la obtención de los pesos ponderados de los parámetros del factor fragilidad de la dimensión económica, se utilizó el proceso de análisis jerárquico. Los resultados obtenidos son los siguientes:

de

TANIA MIRTHA RIOS ARAUJO INGENIERA GEOGRAFA Reg. CIP. N°79935

a) Parámetro: Material Predominante de las Paredes

Cuadro 109. Matriz de comparación de pares

MATERIAL PREDOMINANTE DE LAS PAREDES	Estera, madera o triplay	Adobe o tapia	Quincha (caña con barro)	Piedra con cemento	Ladrillo o bloque de cemento
Estera, madera o triplay	1.00	3.00	4.00	5.00	7.00
Adobe o tapia	0.33	1.00	2.00	3.00	6.00
Quincha (caña con barro)	0.25	0.50	1.00	3.00	4.00
Piedra con cemento	0.20	0.33	0.33	1.00	3.00
Ladrillo o bloque de cemento	0.14	0.17	0.25	0.33	1.00
SUMA	1.93	5.00	7.58	12.33	21.00
1/SUMA	0.52	0.20	0.13	0.08	0.05

Fuente: Elaboración Propia

Cuadro 110. Matriz de normalización

MATERIAL PREDOMINANTE DE LAS PAREDES	Estera, madera o triplay	Adobe o tapia	Quincha (caña con barro)	Piedra con cemento	Ladrillo o bloque de cemento	Vector Priorización
Estera, madera o triplay	0.519	0.600	0.527	0.405	0.333	0.477
Adobe o tapia	0.173	0.200	0.264	0.243	0.286	0.233
Quincha (caña con barro)	0.130	0.100	0.132	0.243	0.190	0.159
Piedra con cemento	0.104	0.067	0.044	0.081	0.143	0.088
Ladrillo o bloque de cemento	0.074	0.033	0.033	0.027	0.048	0.043

Fuente: Elaboración Propia

Cuadro 111. Índice (IC) y Relación de Consistencia (RC) obtenido del Proceso de Análisis Jerárquico para el parámetro Material Predominante de las Paredes

IC	0.050
RC	0.045

Fuente: Elaboración Propia

do

TANIA MIRATA RIOSARAUJO INGENIERA GEOGRAFA Reg. CIP. N° 729935

b) Parámetro: Material Predominante de techos

Cuadro 112. Matriz de comparación de pares

MATERIAL PREDOMINANTE DE TECHOS	Estera y/o torta de barro	Madera	Paja	Calamina	Concreto
Estera y/o torta de barro	1.00	2.00	4.00	5.00	7.00
Madera	0.50	1.00	3.00	4.00	6.00
Paja	0.25	0.33	1.00	2.00	5.00
Calamina	0.20	0.25	0.50	1.00	2.00
Concreto	0.14	0.17	0.20	0.50	1.00
SUMA	2.09	3.75	8.70	12.50	21.00
1/SUMA	0.48	0.27	0.11	0.08	0.05

Fuente: Elaboración Propia

Cuadro 113. Matriz de normalización

MATERIAL PREDOMINANTE DE TECHOS	Estera y/o torta de barro	Madera	Paja	Calamina	Concreto	Vector Priorización
Estera y/o torta de barro	0.478	0.533	0.460	0.400	0.333	0.441
Madera	0.239	0.267	0.345	0.320	0.286	0.291
Paja	0.119	0.089	0.115	0.160	0.238	0.144
Calamina	0.096	0.067	0.057	0.080	0.095	0.079
Concreto	0.068	0.044	0.023	0.040	0.048	0.045

Fuente: Elaboración Propia

Cuadro 114. Índice (IC) y Relación de Consistencia (RC) obtenido del Proceso de Análisis Jerárquico para el parámetro Material Predominante de Techos

IC	0.034
RC	0.030

Fuente: Elaboración Propia

0

 \cap

INGENIERA GEOGRAFA Reg. CIP. Nº 79935

c) Parámetro: Estado de conservación

Cuadro 115. Matriz de comparación de pares

ESTADO DE CONSERVACIÓN	Muy malo	malo	Regular	Bueno	Muy bueno
Muy malo	1.00	2.00	3.00	4.00	5.00
Malo	0.50	1.00	2.00	3.00	4.00
Regular	0.33	0.50	1.00	3.00	3.00
Bueno	0.25	0.33	0.33	1.00	1.00
Muy bueno	0.20	0.25	0.33	1.00	1.00
SUMA	2.28	4.08	6.67	12.00	14.00
1/SUMA	0.44	0.24	0.15	0.08	0.07

Fuente: Elaboración Propia

Cuadro 116. Matriz de normalización

ESTADO DE CONSERVACIÓN	Muy malo	malo	Regular	Bueno	Muy bueno	Vector Priorización
Muy malo	0.44	0.49	0.45	0.33	0.36	0.414
Malo	0.22	0.24	0.30	0.25	0.29	0.260
Regular	0.15	0.12	0.15	0.25	0.21	0.177
Bueno	0.11	0.08	0.05	0.08	0.07	0.079
Muy bueno	0.09	0.06	0.05	0.08	0.07	0.071

Fuente: Elaboración Propia

Cuadro 117. Índice (IC) y Relación de Consistencia (RC) obtenido del Proceso de Análisis

Jerárquico IC 0.023 RC 0.020

Fuente: Elaboración Propia

d) Análisis de los parámetros de la Fragilidad económica

Cuadro 118. Matriz de comparación de pares

FRAGILIDAD ECONÓMICA	Material predominante de las paredes	Material predominante de los techos	Estado de conservación
Material predominante de las paredes	1.00	3.00	4.00
Material predominante de los techos	0.33	1.00	2.00
Estado de conservación	0.25	0.50	1.00
SUMA	1.58	4.50	7.00
1/SUMA	0.63	0.22	0.14

CCCCCCC A

THA RIOS ARAUJO INGENIERA GEOGRAFA Reg. CIP. Nº 79935

Cuadro 119. Matriz de normalización

FRAGILIDAD ECONÓMICA	Material predominante de las paredes	Material predominante de los techos	Estado de conservación	Vector Priorización
Material predominante de las paredes	0.632	0.667	0.571	0.623
Material predominante de los techos	0.211	0.222	0.286	0.239
Estado de conservación	0.158	0.111	0.143	0.137

Fuente: Elaboración Propia

Cuadro 120. Índice (IC) y Relación de Consistencia (RC) obtenido del Proceso de Análisis

Jerárquico

10	0.009
10	0.009
RC	0.017

Fuente: Elaboración Propia

4.3.3 Análisis de la Resiliencia en la Dimensión Económica

Para la obtención de los pesos ponderados de los parámetros del factor resiliencia de la dimensión económica, se utilizó el proceso de análisis jerárquico. Los resultados obtenidos son los siguientes:

a) Parámetro: Ingreso promedio familiar

Cuadro 121. Matriz de comparación de pares

INGRESO PROMEDIO FAMILIAR	Menor a 700	Entre 701-800	801-900	901-1000	Mayor a 1,000
Menor a 700	1.00	2.00	3.00	5.00	7.00
Entre 701-800	0.50	1.00	3.00	5.00	6.00
801-900	0.33	0.33	1.00	3.00	5.00
901-1000	0.20	0.20	0.33	1.00	2.00
Mayor a 1,000	0.14	0.17	0.20	0.50	1.00
SUMA	2.18	3.70	7.53	14.50	21.00
1/SUMA	0.46	0.27	0.13	0.07	0.05

Fuente: Elaboración Propia

TANIA MIRTHA MOS ARAUJO INGENIÈRA GEOGRAFA Reg. CIP. Nº 79935

Cuadro 122. Matriz de normalización

INGRESO PROMEDIO FAMILIAR	Menor a 700	701-800	801-900	901-1000	Mayor a 1,000	Vector Priorizació
Menor a 700	0.460	0.541	0.398	0.345	0.333	0.415
701-800	0.230	0.270	0.398	0.345	0.286	0.306
801-900	0.153	0.090	0.133	0.207	0.238	0.164
901-1000	0.092	0.054	0.044	0.069	0.095	0.071
Vlayor a 1 000	0.066	0.045	0.027	0.034	0.048	0.044

Fuente: Elaboración propia.

Cuadro 123. Índice (IC) y Relación de Consistencia (RC) obtenido del Proceso de Análisis Jerárquico

IC	0.039
RC	0.035

Fuente: Elaboración propia.

b) Parámetro: Actividad laboral

Cuadro 124. Matriz de comparación de pares del parámetro Tipo de Vivienda

ACTIVIDAD LABORAL	Agricultura, ganaderia y pesca	Empresa de servicios	Comercio al por mayor y menor	Hospedajes y restaurantes	otros
Agricultura, ganadería y pesca	1.00	2.00	4.00	6.00	7.00
Empresa de servicios	0.50	1.00	2.00	3.00	4.00
Comercio al por mayor y menor	0.25	0.50	1.00	2.00	3.00
Hospedajes y restaurantes	0.17	. 0.33	0.50	1.00	1.00
otros	0.14	0.25	0.33	1.00	1.00
SUMA	2.06	4.08	7.83	13.00	16.00
1/SUMA	0.49	0.24	0.13	0.08	0.06

Fuente: Elaboración propia.

TANIA MIRTHA RÍOS ARAUJO INGENIERA GEOGRAFA Reg. CIP. Nº 79935

do

Cuadro 125. Matriz de normalización de pares del parámetro Tipo de Vivienda

ACTIVIDAD LABORAL	Agricultura, ganaderia y pesca	Empresa de servicios	Comercio al por mayor y menor	Hospedajes y restaurantes	otros	Vector de priorización
Otro	0.486	0.490	0.511	0.462	0.438	0.477
Cedida por el centro de trabajo y/u otro hogar o institución	0.243	0.245	0.255	0.231	0.250	0.245
Alquilada	0.121	0.122	0.128	0.154	0.188	0.143
Propia, por invasión	0.081	0.082	0.064	0.077	0.063	0.073
Propia pagándola a plazos o totalmente pagada	0.069	0.061	0.043	0.077	0.063	0.063

Fuente: Elaboración propia.

Cuadro 126. Índice (IC) y Relación de Consistencia (RC) obtenido del Proceso de Análisis Jerárquico para el parámetro Tipo de Vivienda

IC	0.009
RC	0.008

Fuente: Elaboración propia.

c) Parámetro: Ocupación

Cuadro 127. Matriz de comparación de pares

OCUPACIÓN	Trabajador familiar no remunerado	obrero	empleado	Trabajador independiente	empleador
Trabajador familiar no remunerado	1.00	2.00	4.00	7.00	8.00
Obrero	0.50	1.00	2.00	4.00	6.00
Empleado	0.25	0.50	1.00	2.00	4.00
Trabajador independiente	0.14	0.25	0.50	1.00	2.00
empleador	0.13	0.17	0.25	0.50	1.00
SUMA	2.02	3.92	7.75	14.50	21.00
1/SUMA	0.50	0.26	0.13	0.07	0.05

Fuente: Elaboración propia.

h

TANIA MIRTHA RIOS ARAUJO INGENIERA GEOGRAFA Reg. CIP. Nº 79935

Cuadro 128. Matriz de normalización de pares del parámetro Tipo de Vivienda

OCUPACIÓN	Trabajador familiar no remunerado	obrero	empleado	Trabajador independiente	empleador	Vector de priorización
Trabajador familiar no remunerado	0.496	0.511	0.516	0.483	0.381	0.477
Obrero	0.248	0.255	0.258	0.276	0.286	0.265
Empleado	0.124	0.128	0.129	0.138	0.190	0.142
Trabajador independiente	0.071	0.064	0.065	0.069	0.095	0.073
empleador	0.062	0.043	0.032	0.034	0.048	0.044

Fuente: Elaboración propia.

Cuadro 129. Índice (IC) y Relación de Consistencia (RC) obtenido del Proceso de Análisis

IC	0.012
RC	0.011

d) Análisis de los parámetros de la Resiliencia económica

Cuadro 130. Matriz de comparación de pares

RESILIENCIA ECONÓMICA	Ingreso promedio familiar	Actividad laboral	Ocupación
ngreso promedio familiar	1.00	2.00	3.00
Actividad laboral	0.50	1.00	2.00
Ocupación	0.33	0.50	1.00
SUMA	1.83	3.50	6.00
1/SUMA	0.55	0.29	0.17

Fuente: Elaboración propia.

Cuadro 131. Matriz de normalización

RESILIENCIA ECONÓMICA	Ingreso promedio familiar	Actividad laboral	Ocupación	Vector Priorización
Ingreso promedio familiar	0.545	0.571	0.500	0.539
Actividad laboral	0.273	0.286	0.333	0.297
Ocupación	0.182	0.143	0.167	0.164

Fuente: Elaboración propia.



TANIA MIRTHARIOS ARAUJO INGENIERA GEOGRAFA Reg. CIP.Nº 79935

Cuadro 132. Índice (IC) y Relación de Consistencia (RC) obtenido del Proceso de Análisis

ociaiq	uico
IC	0.005
RC	0.009

Fuente: Elaboración propia.

d) Análisis de los parámetros de la Dimensión Económica

Cuadro 133. Matriz de comparación de pares

RESILIENCIA ECONÓMICA	Exposición	Fragilidad	Resiliencia
Exposición	1.00	3.00	5.00
Fragilidad	0.33	1.00	3.00
Resiliencia	0.20	0.33	1.00
SUMA	1.53	4.33	9.00
1/SUMA	0.65	0.23	0.11

Fuente: Elaboración propia.

Cuadro 134. Matriz de normalización

RESILIENCIA ECONÓMICA	Ingreso promedio familiar	Actividad laboral	Ocupación	Vector Priorización
Ingreso promedio familiar	0.652	0.692	0.556	0.633
Actividad laboral	0.217	0.231	0.333	0.260
Ocupación	0.130	0.077	0.111	0.106

Fuente: Elaboración propia.

Cuadro 135. Índice (IC) y Relación de Consistencia (RC) obtenido del Proceso de Análisis

| Jerárquico | IC | 0.019 | RC | 0.037 |

Fuente: Elaboración propia.

TANIA MIRTHRRIOS ARAUJO INGENIERA GEOGRAFA Reg. CII: Nº 79935

A

4.4 NIVELES DE VULNERABILIDAD

En el siguiente cuadro, se muestran los niveles de vulnerabilidad y sus respectivos rangos obtenidos a través de utilizar el Proceso de Análisis Jerárquico.

Cuadro 136. Niveles de Vulnerabilidad

NIVEL		R	ANG	90	
MUY ALTO	0.277	≤	٧	5	0.432
ALTO	0.162	≤	٧	<	0.277
MEDIO	0.086	≤	٧	<	0.162
BAJO	0.044	<	٧	<	0.086

4.5 ESTRATIFICACIÓN DE LA VULNERABILIDAD

En el siguiente cuadro se muestra la matriz de vulnerabilidad obtenido:

Cuadro 137. Estratificación de la Vulnerabilidad

NIVEL	DESCRIPCIÓN	RANGOS
RIESGO MUY ALTO	Mayor de 1400 habitantes expuestas del sector 1 del distrito de Morrope, no tiene abastecimiento de agua directo, no cuenta con servicios higiénicos, no tienen servicio de alumbrado eléctrico, conocen sobre la ocurrencia de desastres de todos los años, no tienen capacitación en temas de riesgos de desastres, con actitud fatalista frente al riesgo. Viviendas expuestas mayores a 400. El material predominante de las paredes es estera y/u o madera, con techo de estera y/o torta de barro, en muy mal estado de conservación; la actividad agrícola, trabajador familiar no remunerado.	
RIESGO ALTO	Hasta 1,400 habitantes expuestas, abastecimiento de agua a través del río, acequia, manantial o pozo; uso de río, acequia o canal como servicio higiénico, el tipo de alumbrado es a través de velas; tienen conocimiento de de ocurrencia de desastres de 1 a 3 años, hace 5 años que han tenido capacitación en temas de riesgo de desastres, actitud escasamente fatalista frente al riesgo. Hasta 400 viviendas expuestas al riesgo, el material predominante de las paredes es de adobe, con techo de madera, en mal estado de conservación, la actividad laboral en empresas de servicios, obrero.	0.162 ≤ R < 0.277
RIESGO MEDIO	Hasta 1,200 habitantes expuestos, abastecimiento de agua a través de cisterna u otro similar. Uso de pozo ciego/negro como servicio higiénico, el tipo de alumbrado es por lámparas a gas o petróleo, tienen conocimiento de ocurrencia de desastres de entre 4 a 9 años, cada 3 años han tenido capacitación en temas de riesgo de desastres, actitud frente al riesgo parcialmente positiva. Hasta 300 viviendas expuestas al riesgo, el material predominante de las paredes es de madera y/o quincha (caña con barro), con techo de calamina, en regular estado de conservación; la actividad laboral es de comercio al por mayor y menor, su ocupación es de empleado.	0.086 ≤ R < 0.162
RIESGO BAJO	Hasta 1,000 habitantes expuestos, el abasteciemto de agua es por pilón de uso público o red pública de agua, Uso de letrina como servicio higiénico, el alumbrado es por panel solar o electricidad tiene conocimiento de ocurrencia de desastres de mas de 10 años o cree que nunca ha pasado, cada 2 años ha tendio capacitación en temas de riesgo de desastres, actitud frente al reisgo es regularmente positiva. Hasta 200 viviendas expuestas al riesgo, el material predominante de las paredes es de ladrillo o bloque de cemento y/o piedra o sillar, con techo de concreto armado, con buen estado de conservación; la actividad laboral es de hospedajes y restaurante u otros.	0.044 ≤ R < 0.086

Fuente: Elaboración propia

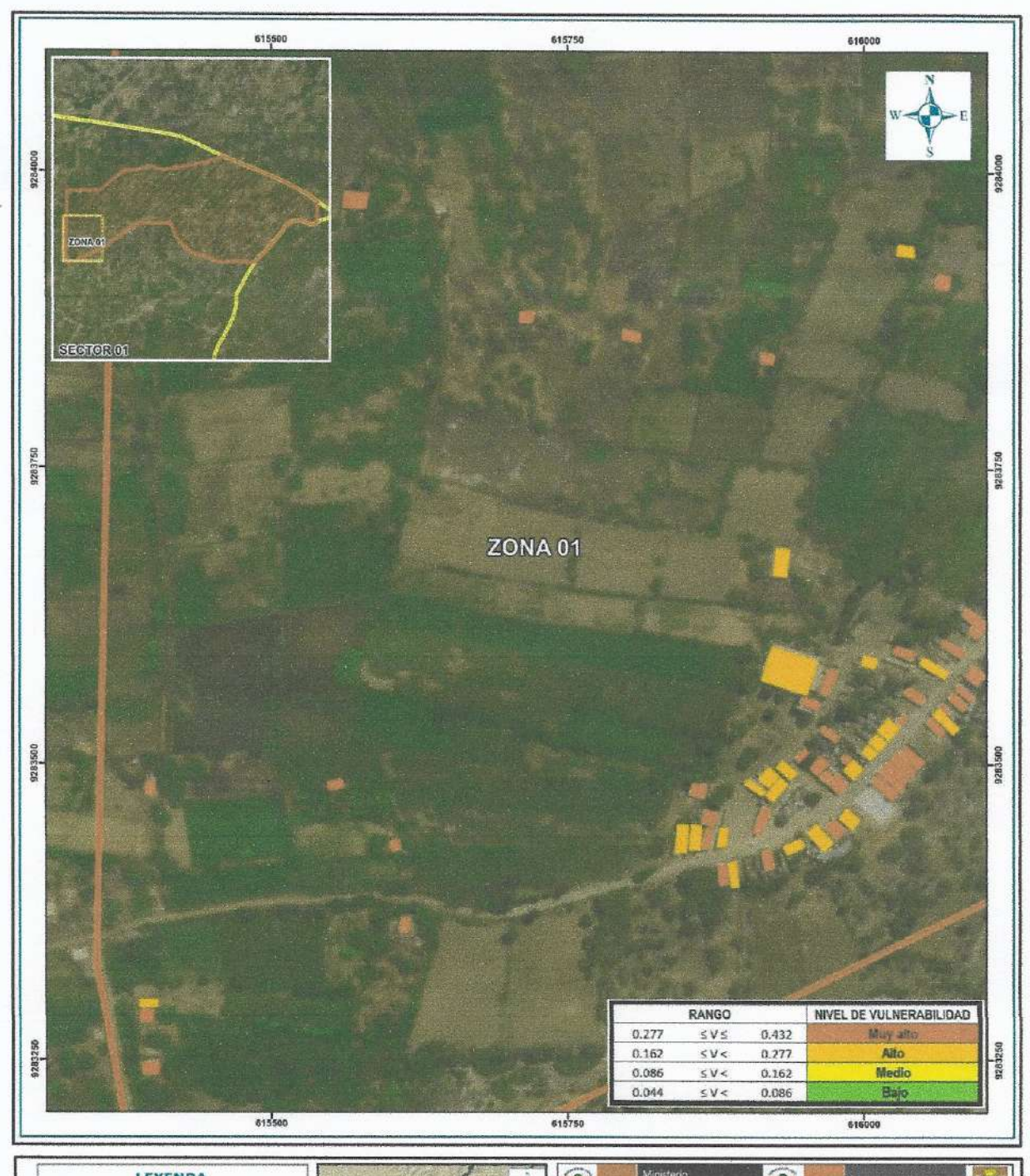
TANIAMIRTHA RÍOS ARAUJO INGENIERA GEOGRAFA Reg. CII. Nº 79935



4.6 MAPA DE VULNERABILIDAD

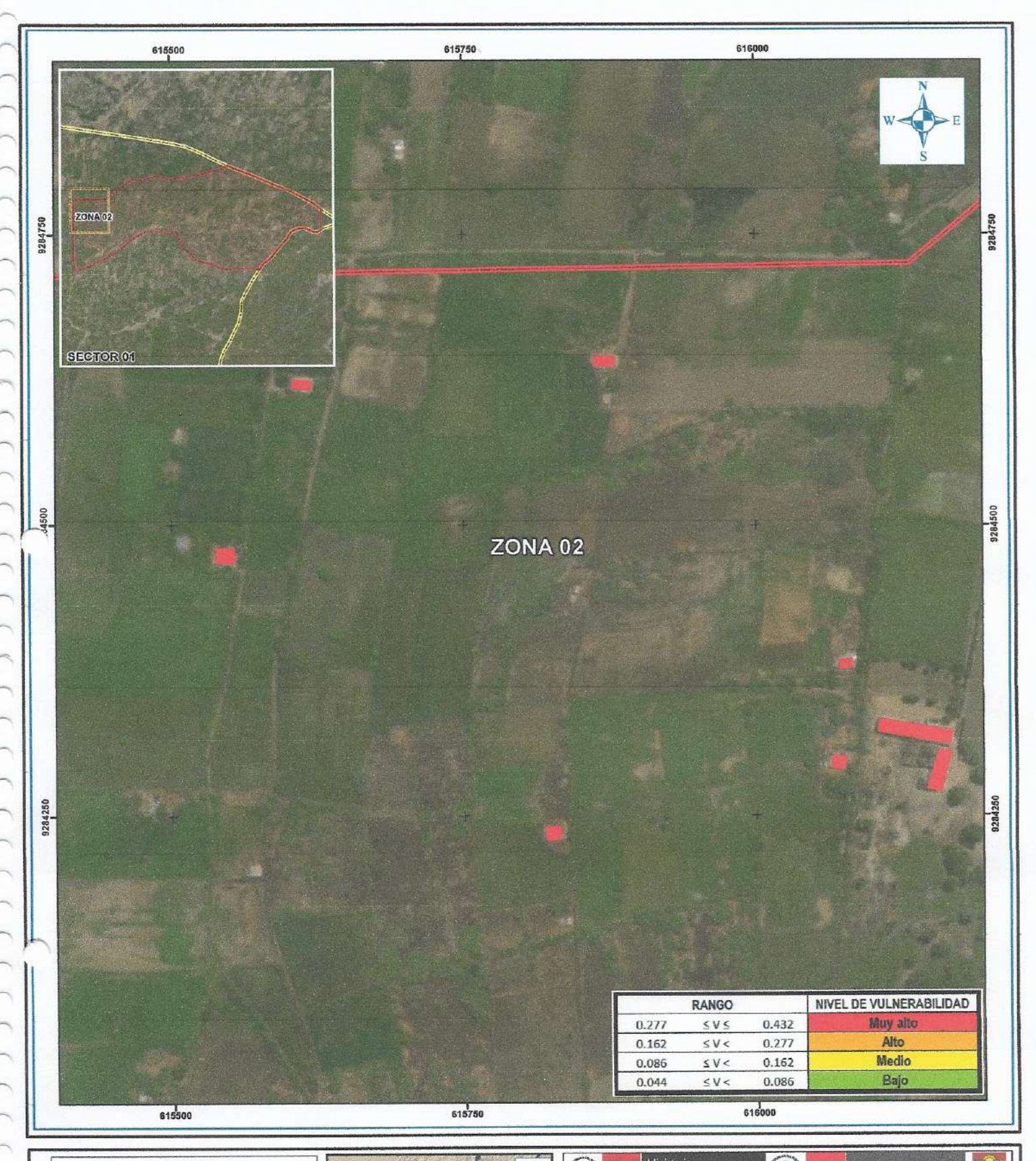
Figura 8. Mapa de vulnerabilidad

Fuente: Elaborado con información proporcionada de SENAMHI, INGEMMET, INEI y ZEE Lambayeque

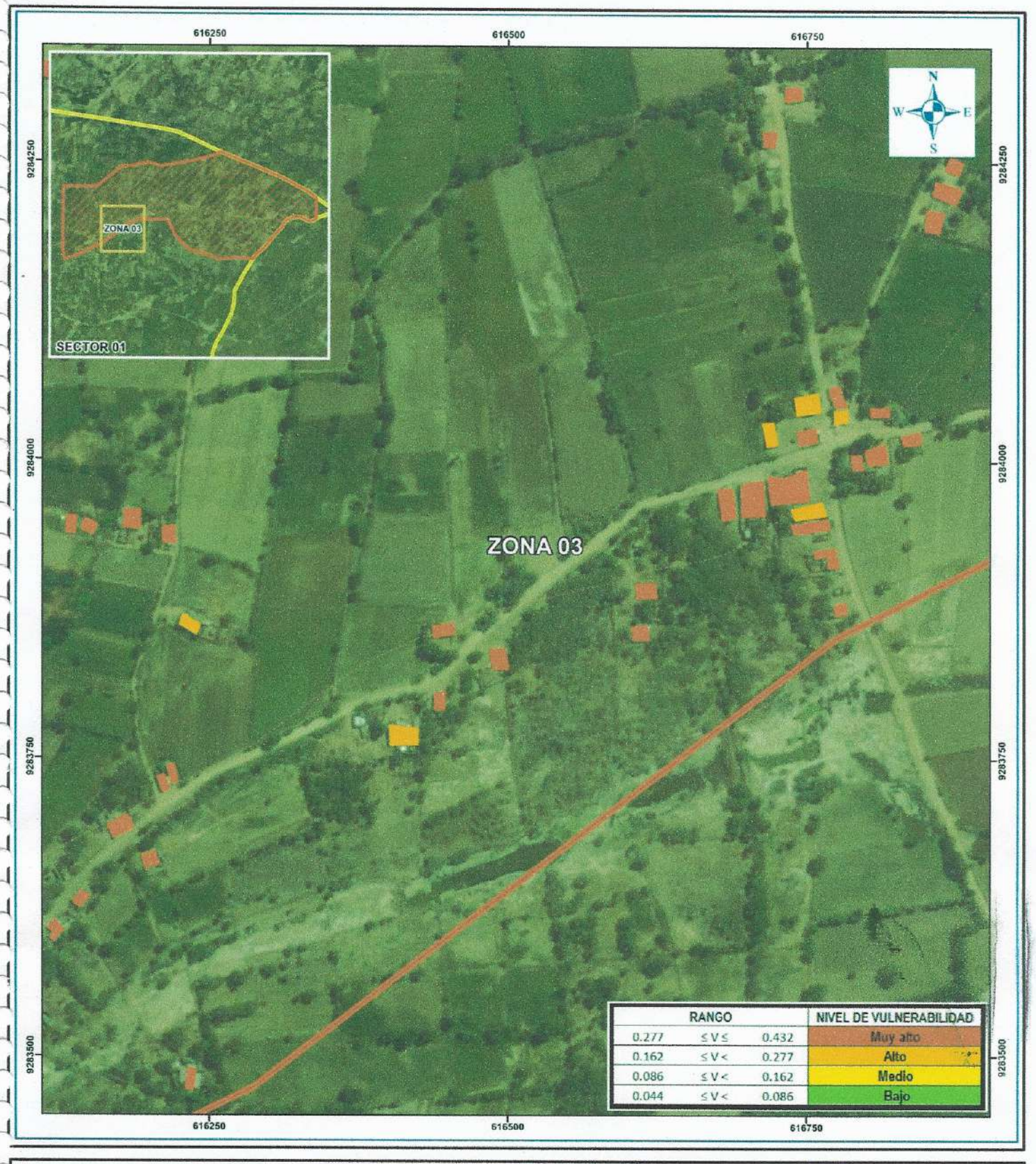




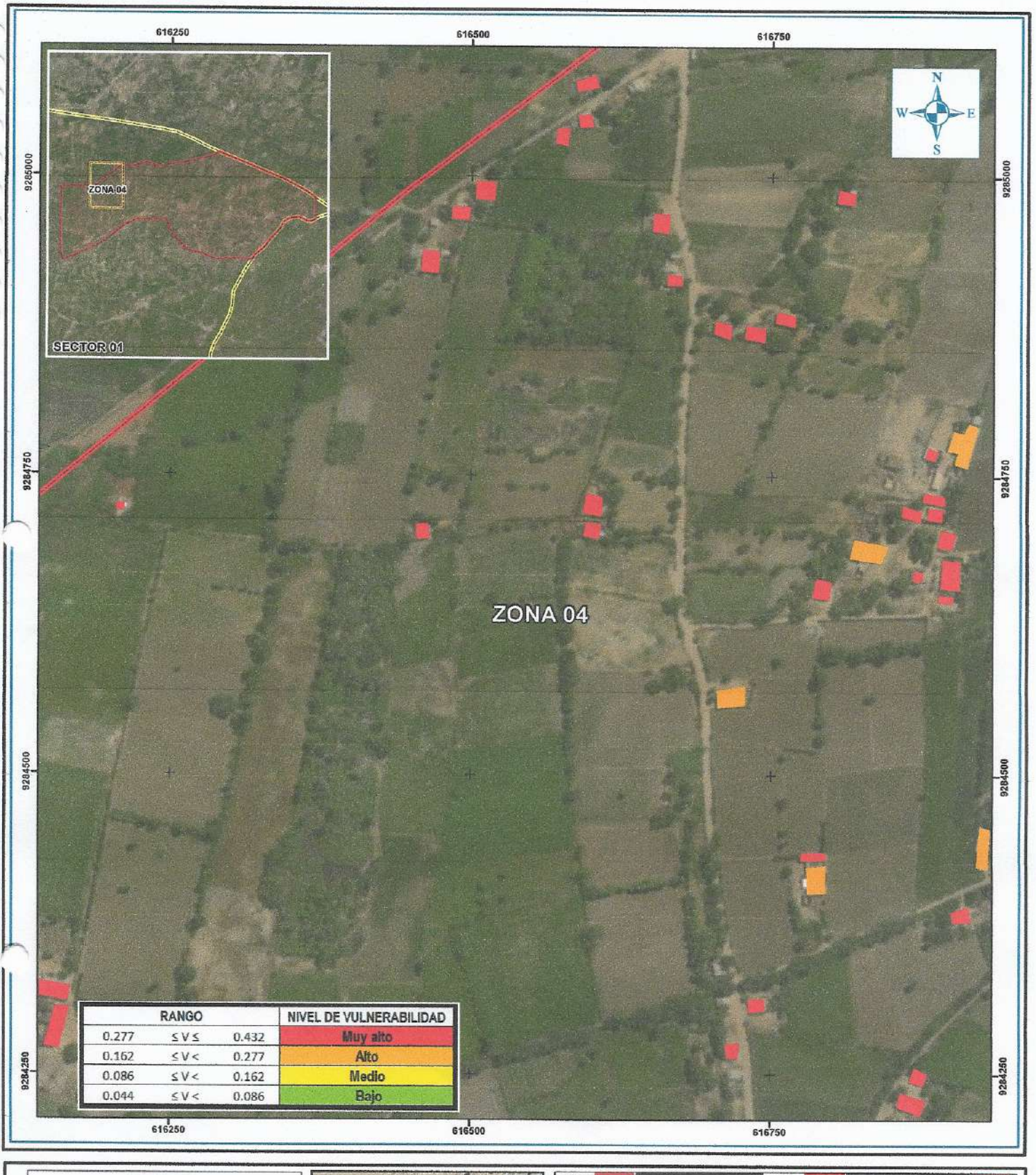
















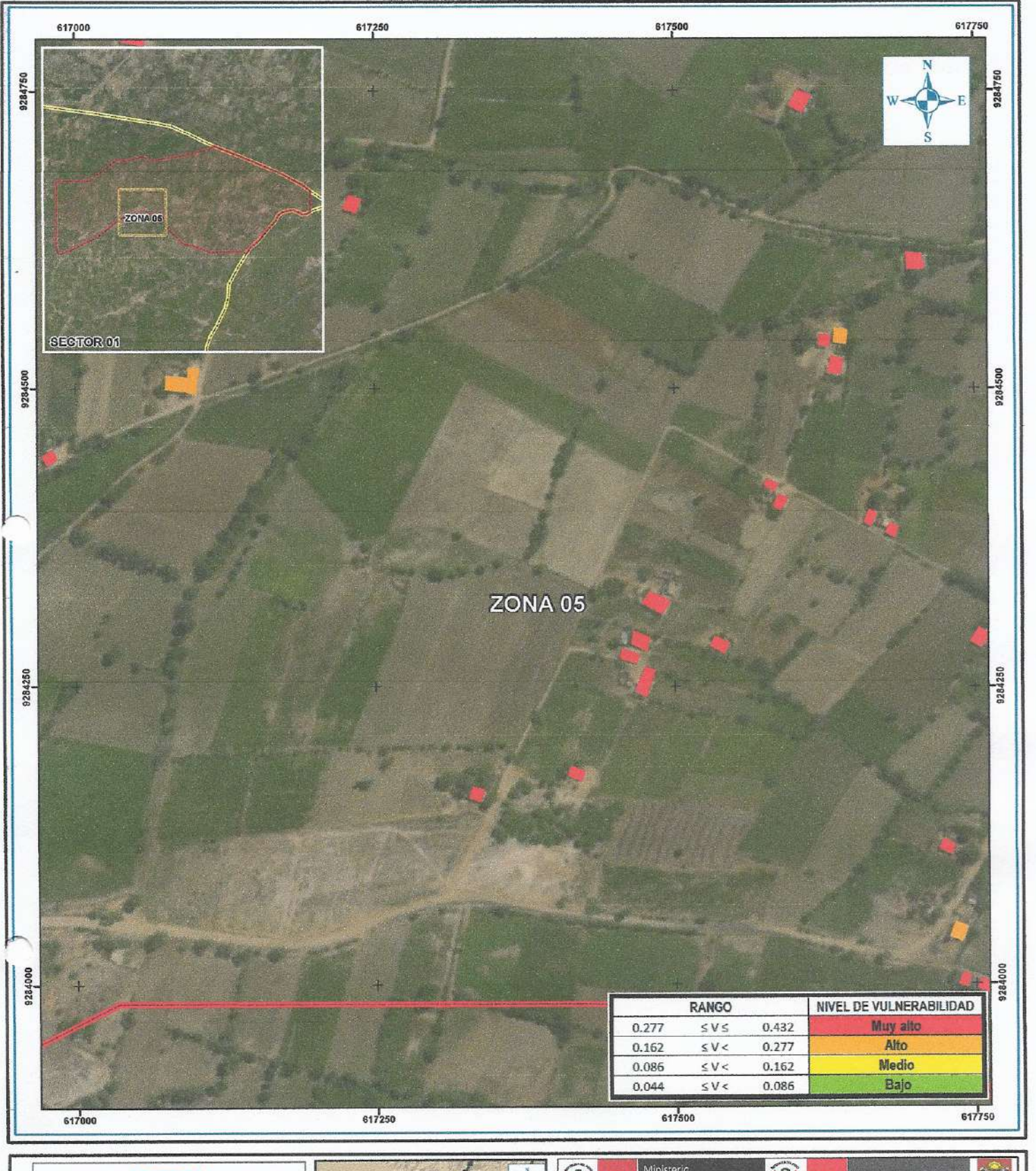


Elaborado por:
PNVR-MVCS/CENEPRED

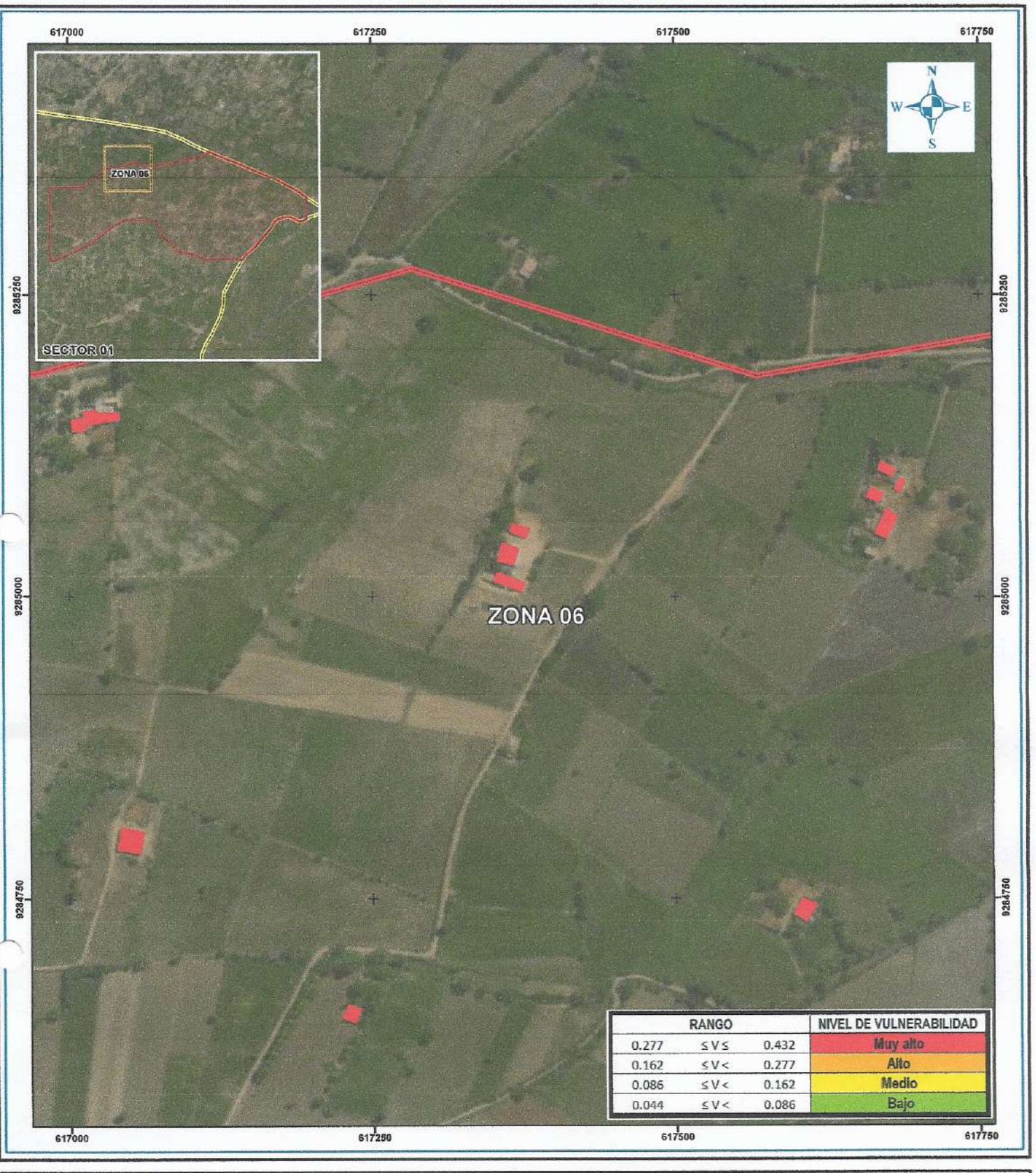
Fecha: INGENIERA GEOGRAFA
NoviembRegio 2018 9935

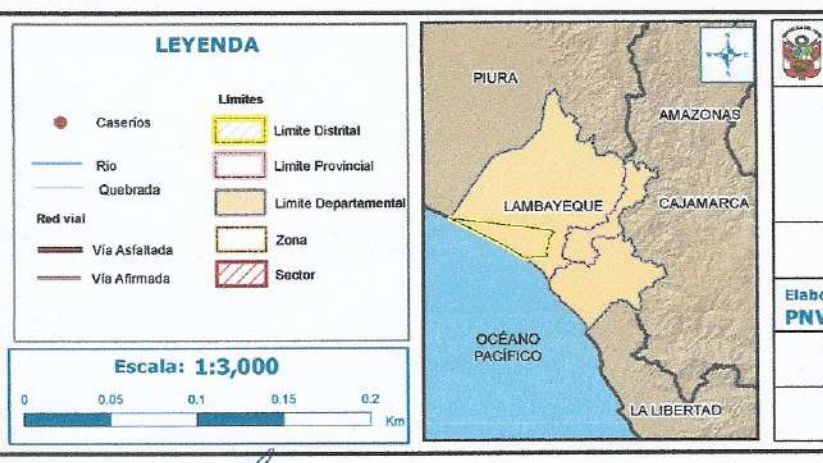
Fuente: Instituto Geográfico Nacional (IGN), Red Vial Nacional (RVN) Instituto Nacional de Estadística e Informática (INEI)

> Proyección UTM Zona 17 Sur Datum Horizontal de Referencia WGS84











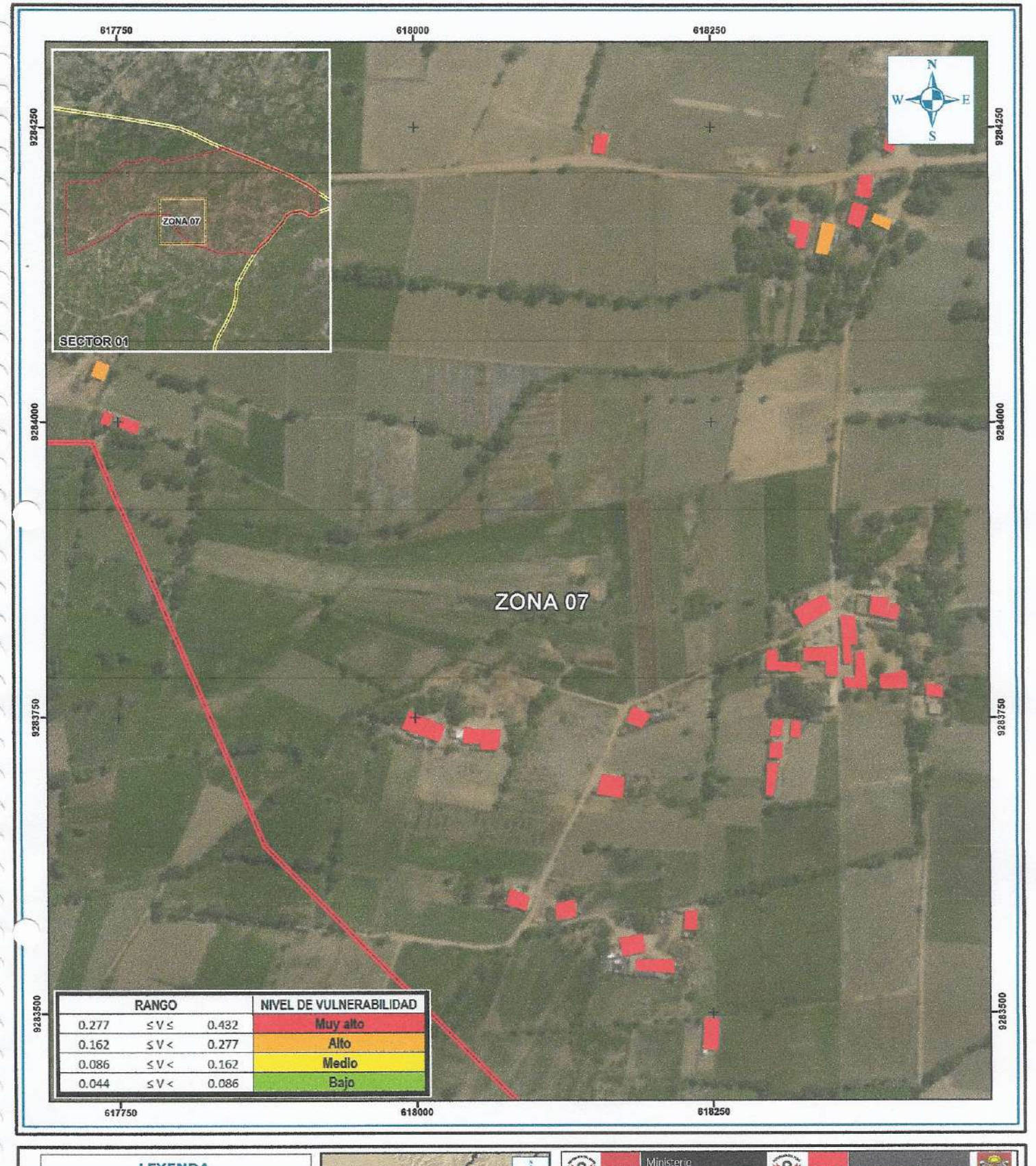
EVALUACIÓN DE RIESGO POR INUNDACIÓN PLUVIAL EN EL SECTOR 1, DEL DISTRITO DE MORROPE, PROVINCIA DE LAMBAYEQUE DEPARTAMENTO DE LAMBAYEQUE

PNVR-MVCS/CENEPRED

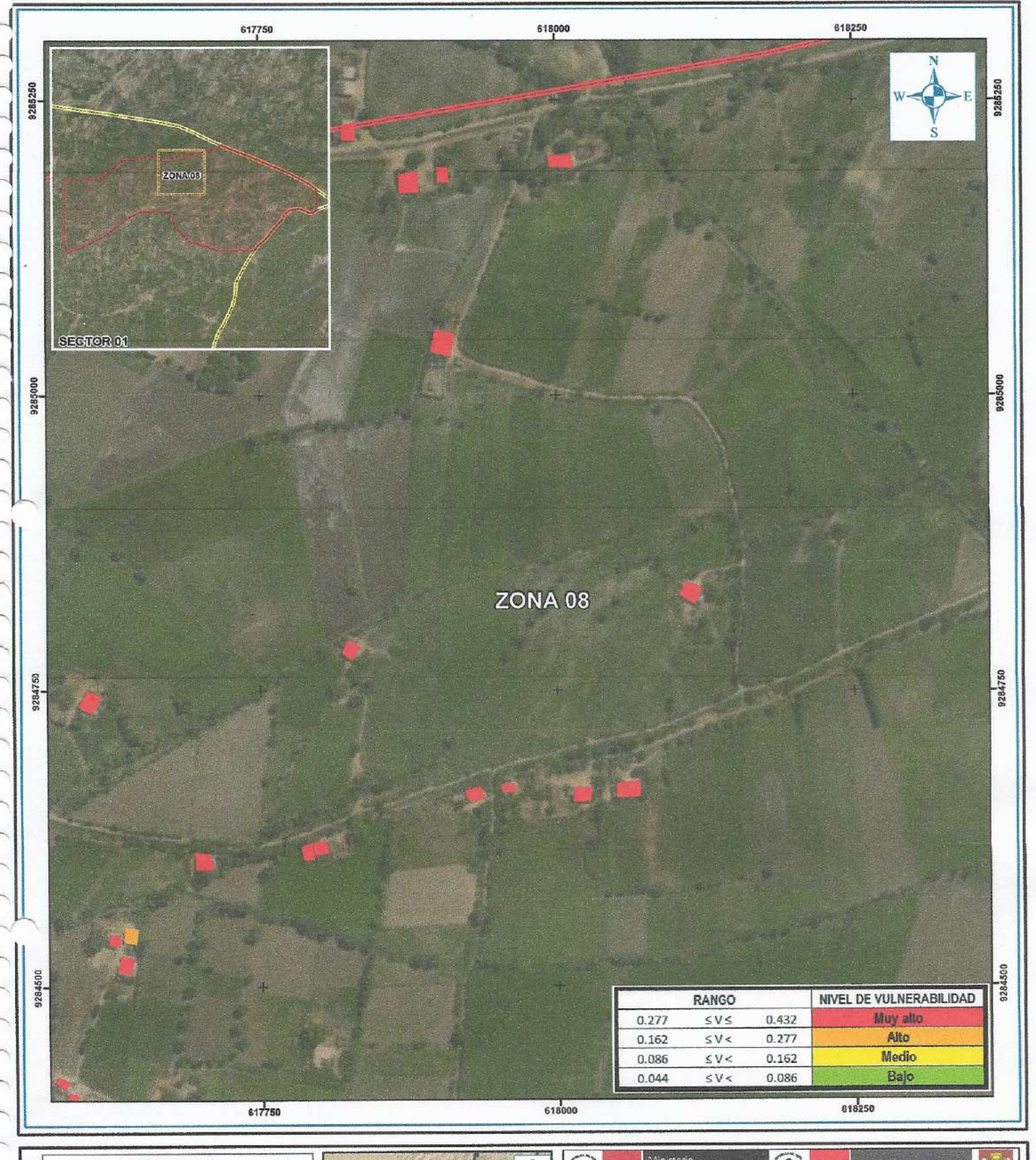
MAPA DE VULNERABILIDAD
ZONA 06 TANIA MIRTHA RIOS ARAU.
Fecha: INGENIERA GEOGRAFA NoviembRegd61201/89935

Fuente: Instituto Geográfico Nacional (IGN), Red Vial Nacional (RVN) Instituto Nacional de Estadística e Informática (INEI)

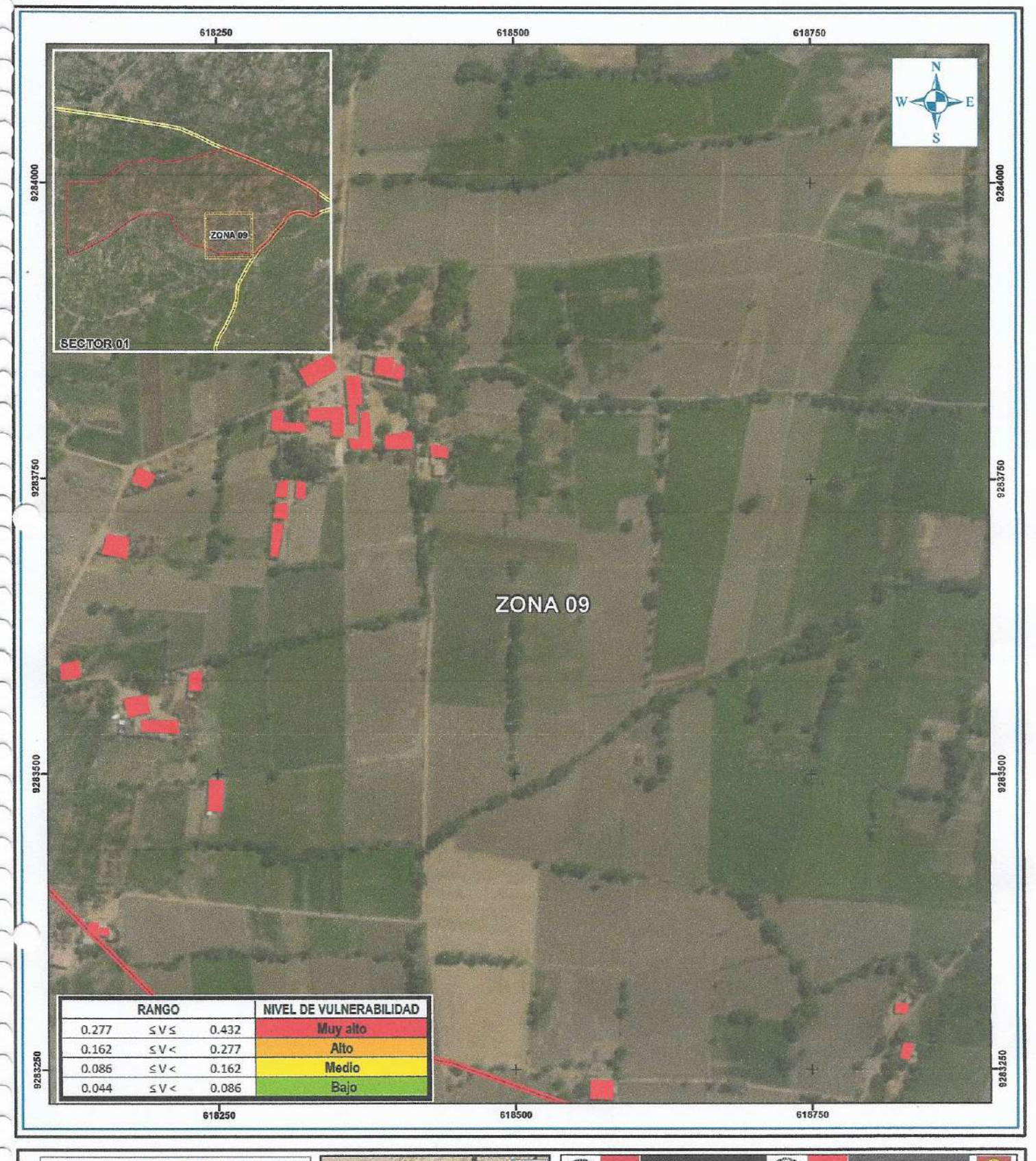
Proyección UTM Zona 17 Sur Datum Horizontal de Referencia WGS84





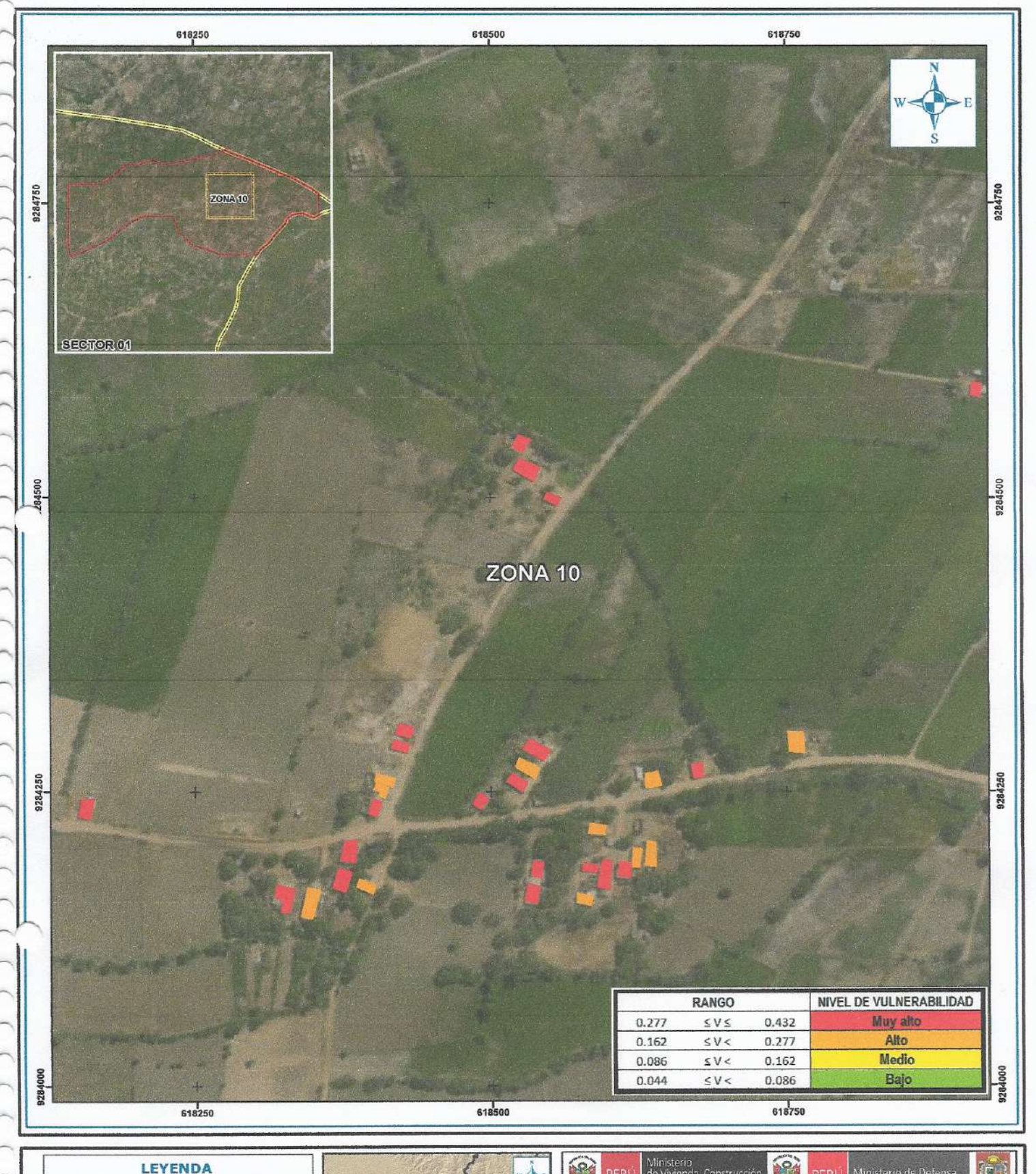




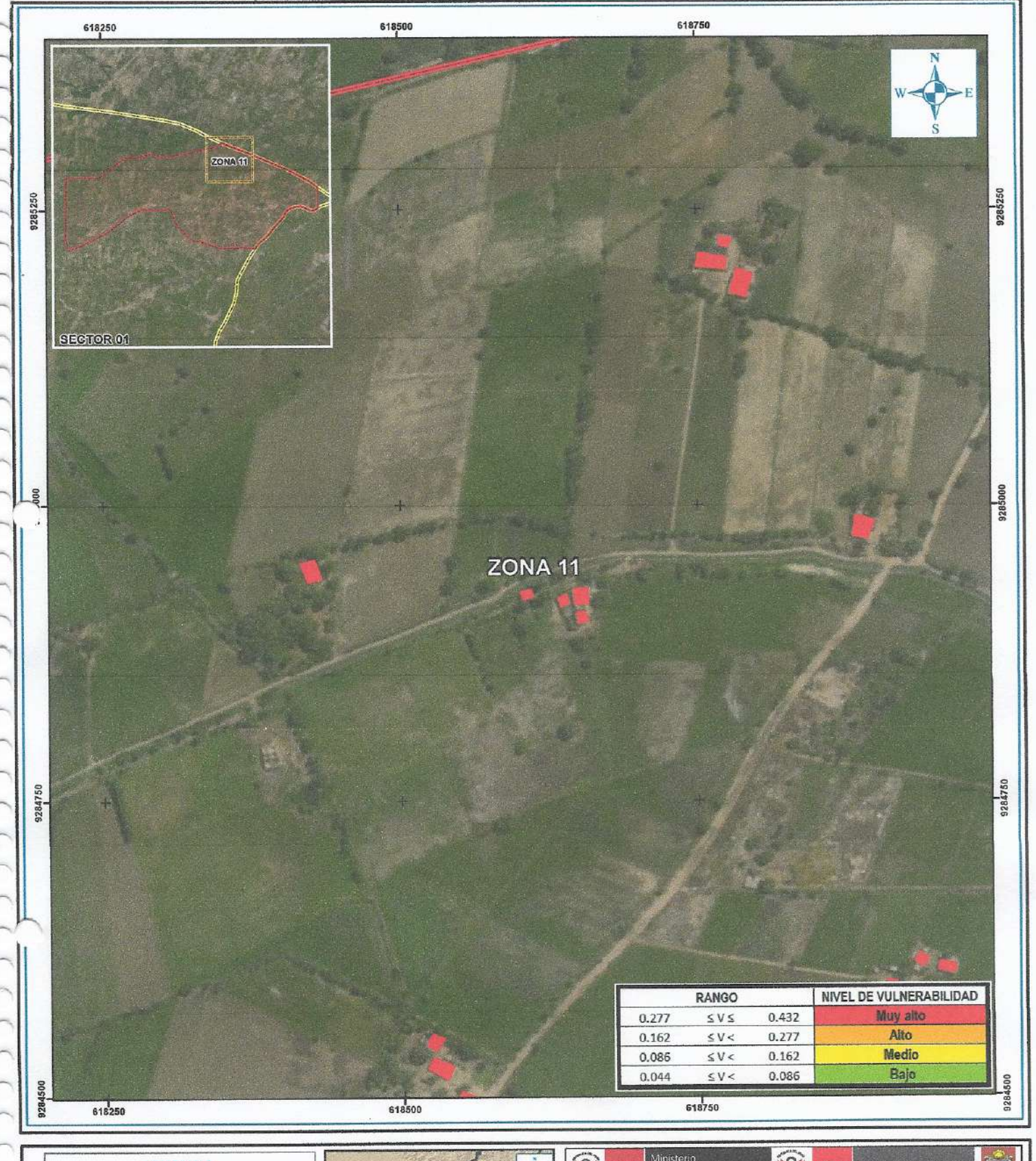




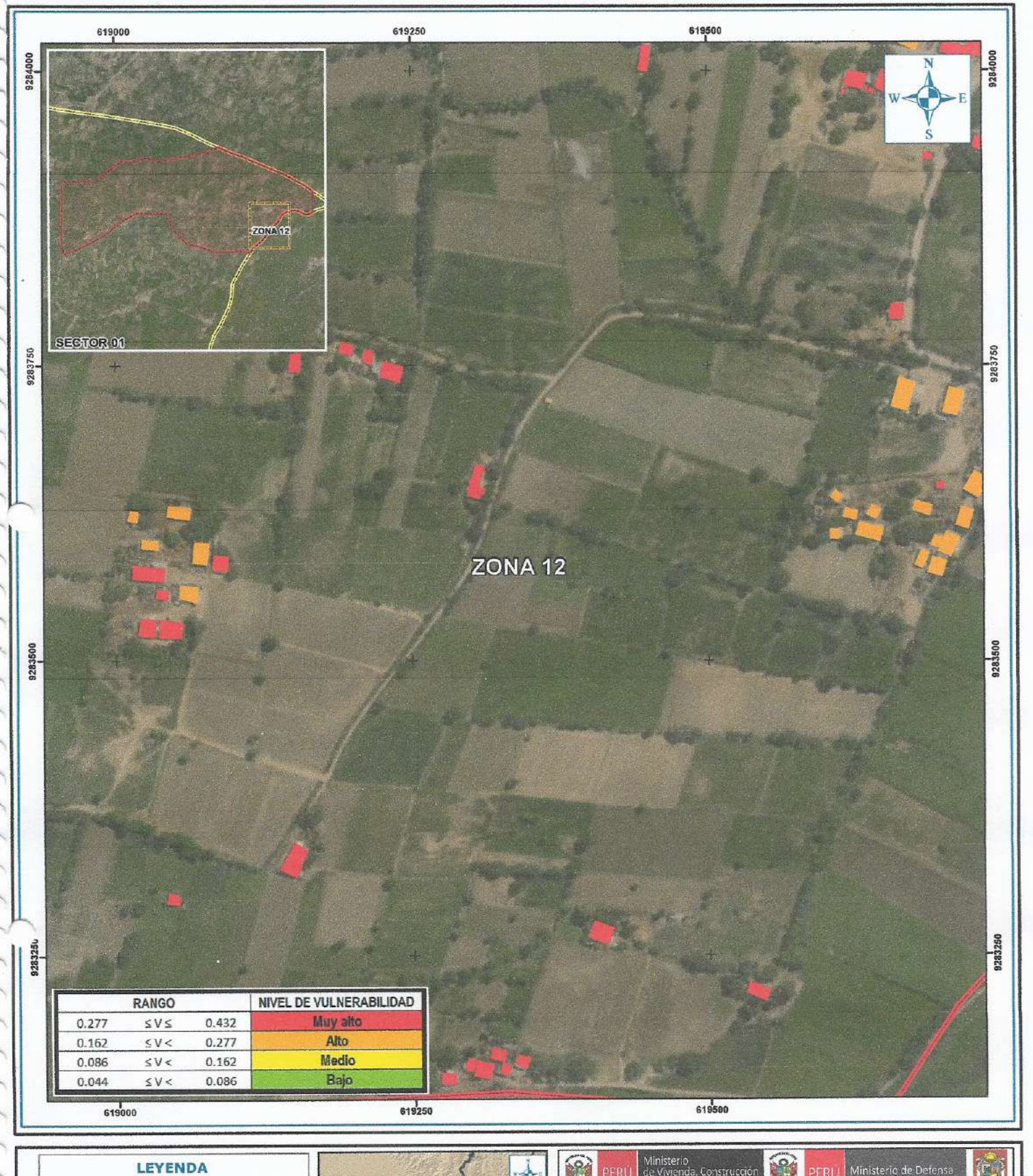




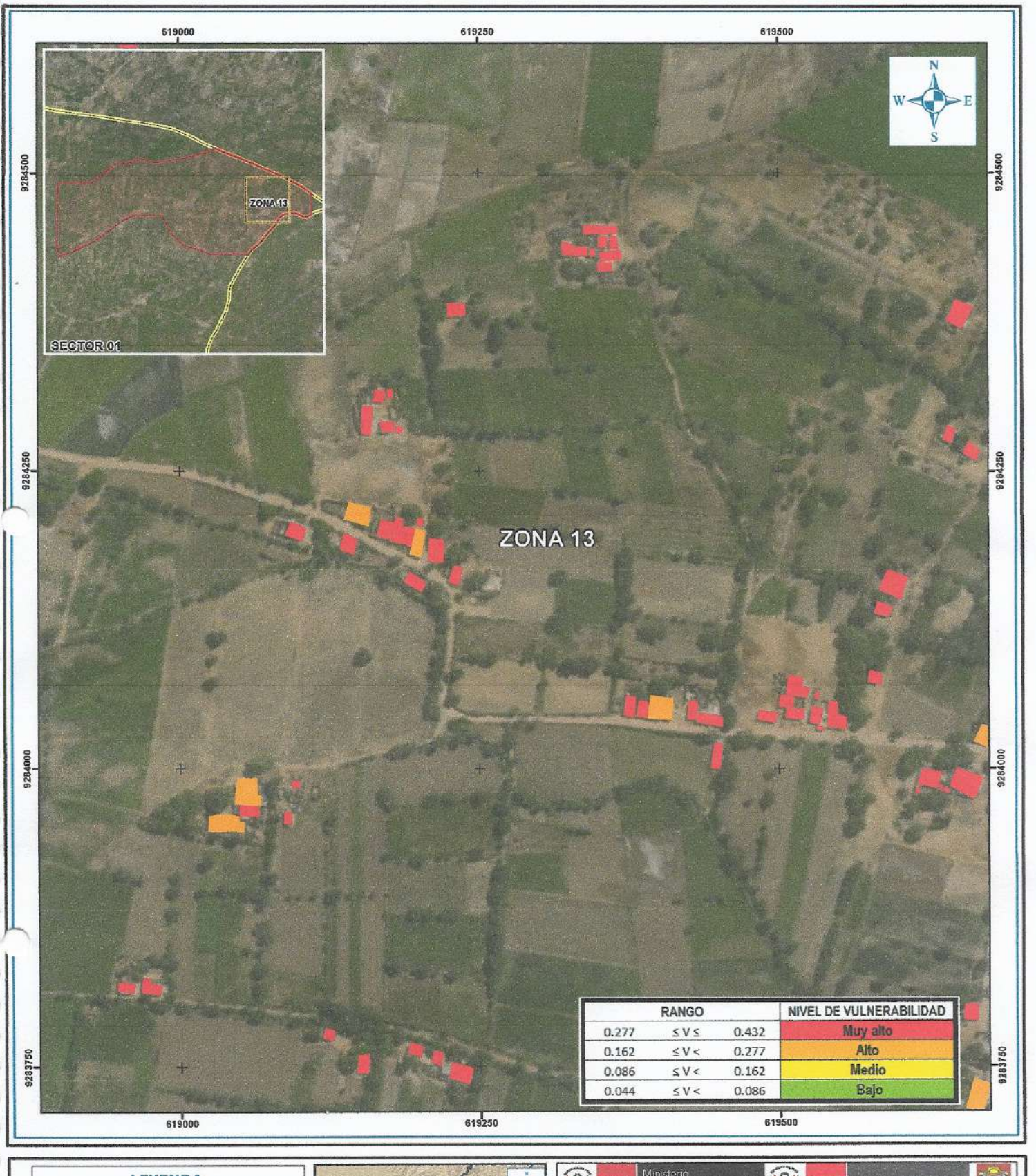




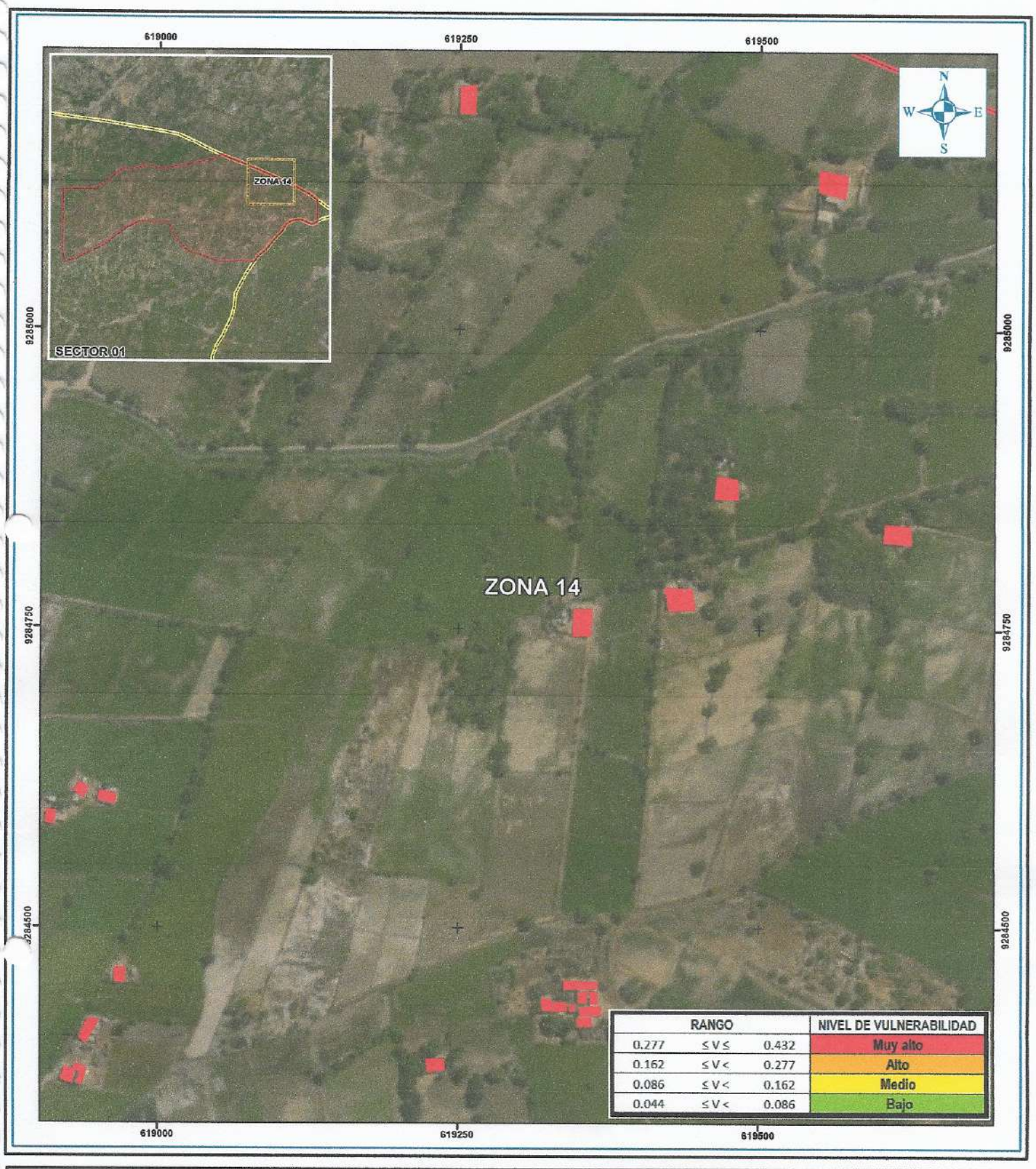


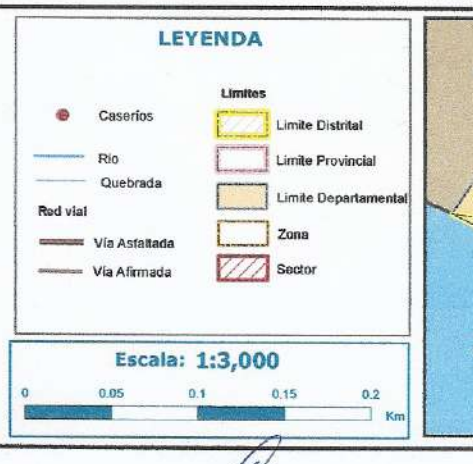
















EVALUACIÓN DE RIESGO POR INUNDACIÓN PLUVIAL EN EL SECTOR 1, DEL DISTRITO DE MORROPE, PROVINCIA DE LAMBAYEQUE DEPARTAMENTO DE LAMBAYEQUE

> MAPA DE VULNERABILIDAD ZONA 14 TANIA MIRTHA

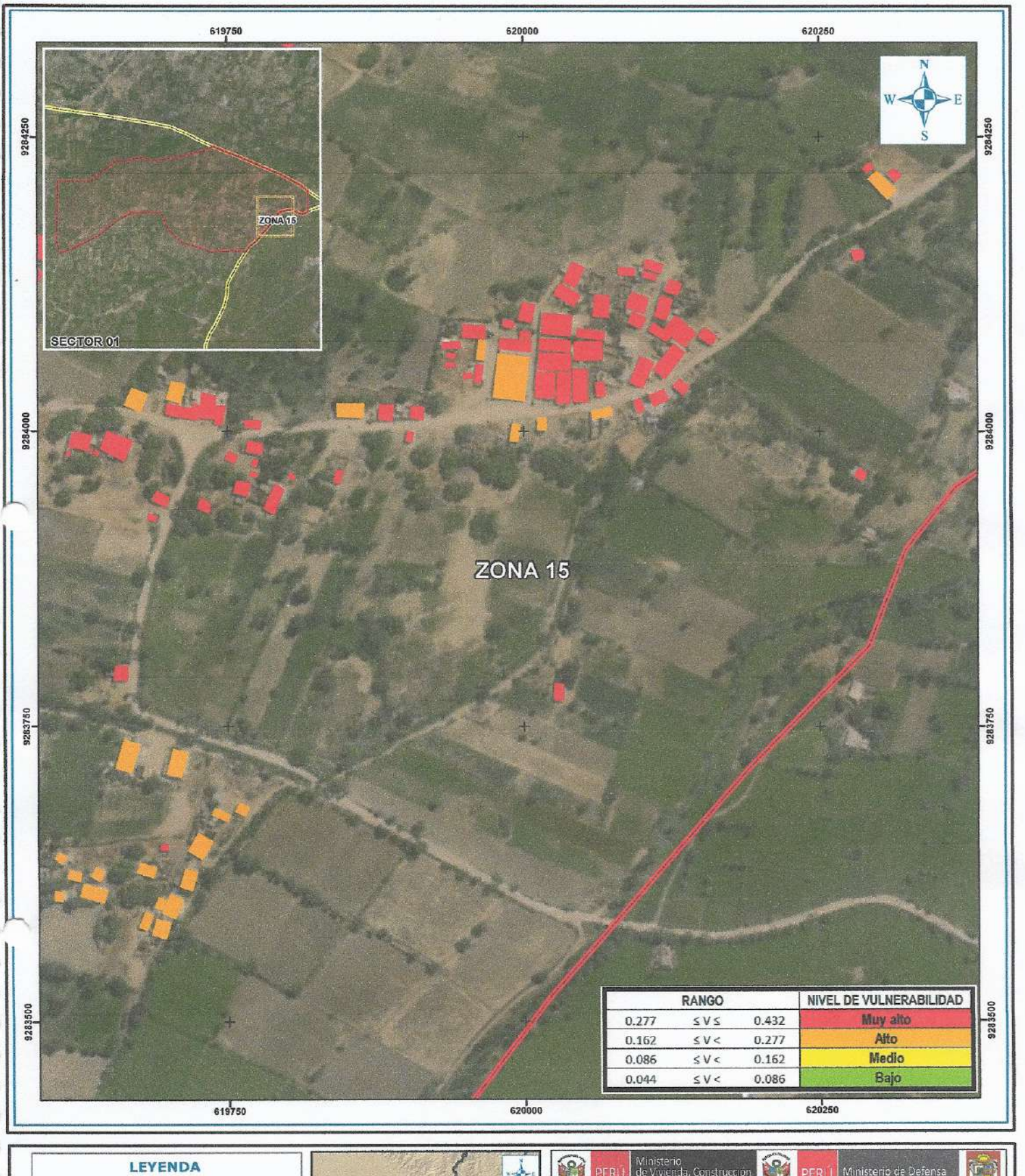
Elaborado por: PNVR-MVCS/CENEPRED

orado por:

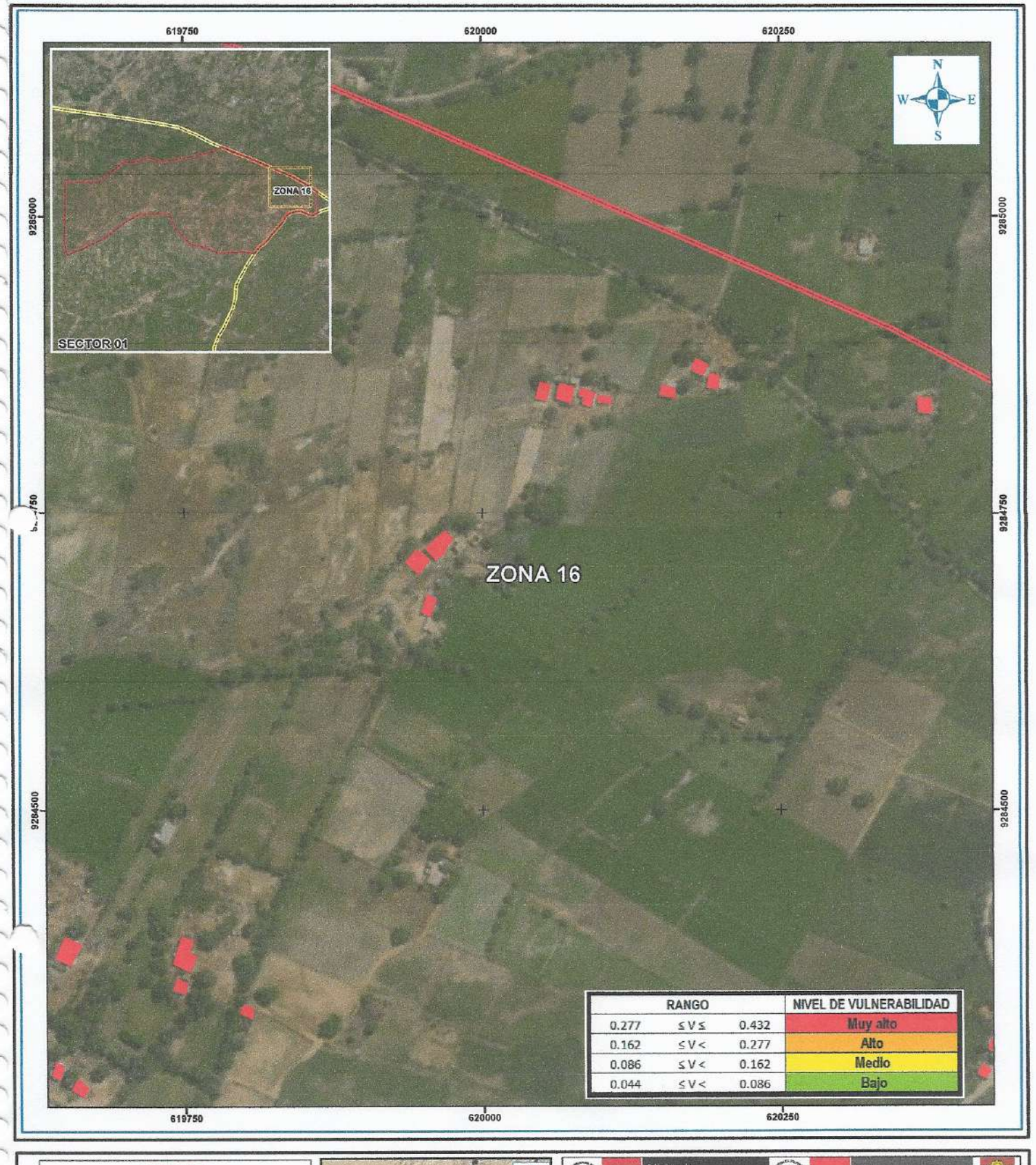
/R-MVCS/CENEPRED

Fuente: Instituto Geográfico Nacional (IGN), Red Vial Nacional (RVN)

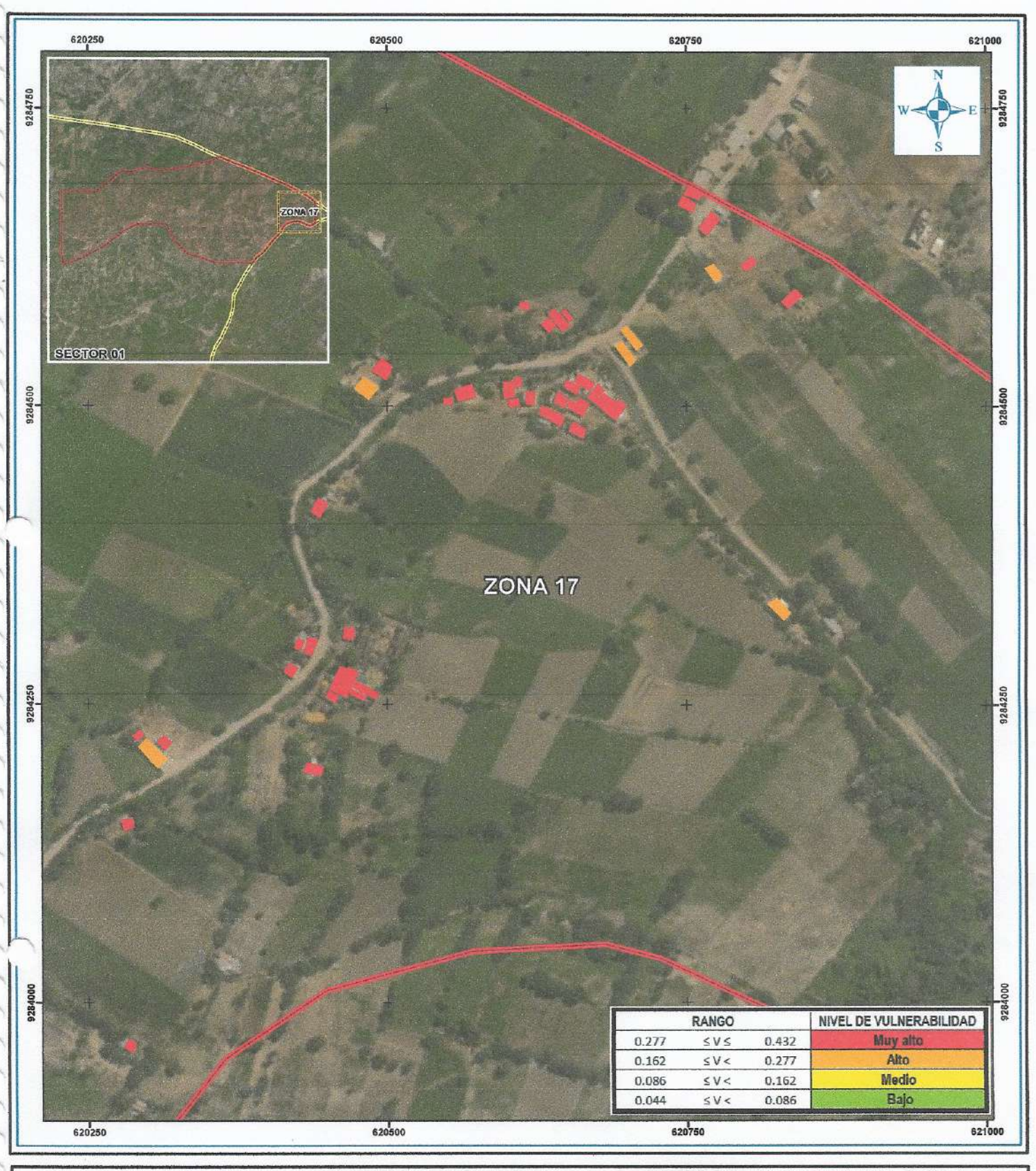
Instituto Nacional de Estadística e Informática (INEI)























EVALUACIÓN DE RIESGO POR INUNDACIÓN PLUVIAL EN EL SECTOR 1, DEL DISTRITO DE MORROPE, PROVINCIA DE LAMBAYEQUE **DEPARTAMENTO DE LAMBAYEQUE**

MAPA DE VULNERABILIDAD

ZONA 17

Elaborado por: PNVR-MVCS/CENEPRED TANIAMIRTHA RIOS ARAUJO
Fecha: INGENIERA GEOGRAFA
Noviembre de 2008 N° 79935

Fuente: Instituto Geográfico Nacional (IGN), Red Vial Nacional (RVN) Instituto Nacional de Estadística e Informática (INEI)



CAPITULO V: CÁLCULO DE RIESGO

5.1 METODOLOGÍA PARA LA DETERMINACIÓN DE LOS NIVELES DE RIESGO

Para determinar el cálculo del riesgo de la zona de influencia, se utiliza el siguiente procedimiento:

MAPA DE PELIGRO

NIVEL DE RIESGO

RIESGO

WAPA DE VULNERABILIDAD

Gráfico 16. Flujograma para estimar los niveles del riesgo

Fuente: CENEPRED

5.2 DETERMINACIÓN DE LOS NIVELES DEL RIESGO

5.2.1 NIVELES DEL RIESGO

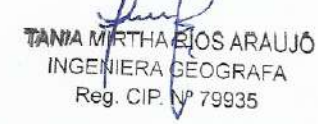
Los niveles de riesgo por inundación pluvial del área de influencia

detallan a continuación:

Cuadro 138. Niveles del Riesgo

Nivel del Riesgo	Rango
Riesgo Muy Alto	0.072 ≤ R ≤ 0.185
Riesgo Alto	0.028 ≤ R < 0.072
Riesgo Medio	0.008 ≤ R < 0.028
Riesgo Bajo	0.002 ≤ R < 0.008

Fuente: CENEPRED





5.2.2 MATRIZ DEL RIESGO

La matriz de riesgos originado por inundación pluvial en el Sector 1 del distrito de Morrope es el siguiente:

Cuadro 139. Matriz del Riesgo

Marketon - Control		Oudui	V 199. Maulz	uei Mesgo	
PMA	0.428	0.037	0.069	0.119	0.185
PA	0.259	0.022	0.042	0.072	0.112
PM	0.175	0.015	0.028	0.048	0.076
PB	0.092	0.008	0.015	0.025	0.040
and entropy and a second	<u> </u>	0.086	0.162	0.277	0.432
		VB	VM	VA	VMA

Fuente: Elaboración propia

5.2.3 ESTRATIFICACIÓN DEL NIVEL DEL RIESGO

Cuadro 140. Estratificación del Riesgo

NIVEL DE RIESGO	DESCRIPCIÓN	RANGOS
RIESGO MUY ALTO	Precipitación 1,000-2,000%, superior a su normal climática, presenta geología de Depósito fluvial Reciente, geomorfología de llanura o planície aluvial, con pendientes menores de 5°, Frecuencia con por lo menos 1 vez al año cada evento de El Niño y/o mayor a 5 eventos al año. Mayor de 1,400 habitantes expuestas del sector 1 del distrito de Morrope, no tiene abastecimiento de agua directo, no cuenta con servicios higiénicos, no tienen servicio de alumbrado eléctrico, conocen sobre la ocurrencia de desastres de todos los años,no tienen capacitación en temas de riesgos de desastres, con actitud fatalista frente al riesgo. Viviendas expuestas mayores a 400. El material predominante de las paredes es estera y/u o madera, con techo de estera y/o torta de barro, en muy mal estado de conservación; la actividad agrícola, trabajador familiar no remunerado.	0.072 ≤ R < 0.185
RIESGO ALTO	Precipitación 500-1,000% superior a su normal climática, presenta geología de Depósito aluvial, geomorfología de tipo llanura o planicie inundable, con pendientes menores de 15° con una frecuencia promedio de 3 a 4 eventos asociados a precipitaciones por año. Hasta 1,400 habitantes expuestas, abastecimiento de agua a través del río, acequia, manantial o pozo; uso de rio, acequia o canal como servicio higiénico, el tipo de alumbrado es a través de velas; tienen conocimiento de de ocurrencia de desastres de 1 a 3 años, hace 5 años que han tenido capacitación en temas de riesgo de desastres, actitud escasamente fatalista frente al riesgo, Hasta 400 viviendas expuestas al riesgo, el material predominante de las paredes es de adobe, con techo de madera, en mal estado de conservación, la actividad laboral en empresas de servicios, obrero.	0.028 ≤ R < 0.072



TANIANA'NATHA' ARDSHARNO'O INGNGENIERA BEOGRAFA Reg. CIP. Nº 79935

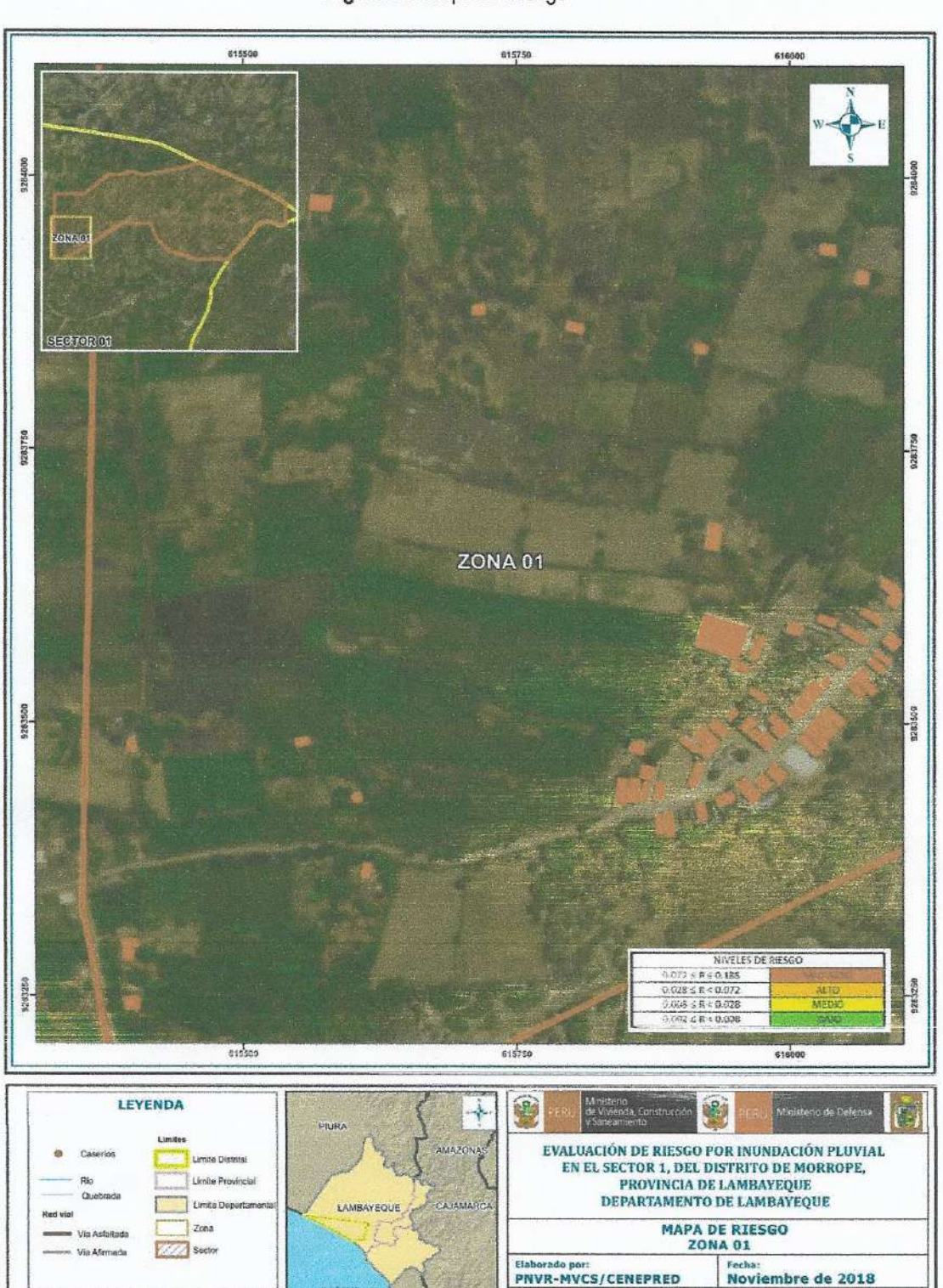
RIESGO MEDIO	Precipitación 300-500% superior a su normal climática, presenta geología de depósitos fluvial aluvial, geomorfología de terraza aluvial, con pendientes desde 15° a 25°, situados en, grandiorita o tonalitas, con una frecuencia promedio de 1 a 3 eventos asociados a precipitaciones por año. Hasta 1,200 habitantes expuestos, abastecimiento de agua a través de cistema u otro similar, Uso de pozo ciego/negro como servicio higiénico, el tipo de alumbrado es por lámparas a gas o petróleo, tienen conocimiento de ocurrencia de desastres de entre 4 a 9 años, cada 3 años han tenido capacitación en temas de riesgo de desastres, actitud frente al riesgo parcialmente positiva. Hasta 300 viviendas expuestas al riesgo, el material predominante de las paredes es de madera y/o quincha (caña con barro), con techo de calamina, en regular estado de conservación; la actividad laboral es de comercio al por mayor y menor, su ocupación es de empleado.	0.008 ≤ R < 0.028
RIESGO BAJO	Precipitación 190-300% superior a su normal climática, presenta geología de Depósito Eólico Reciente, geomorfología de colina en roca volcánica o vertiente aluvio-torrencial, con pendientes mayores a 25°,, con una frecuencia promedio menor a 1 evento asociados a precipitaciones por año. Hasta 1,000 habitantes expuestos, el abasteciemto de agua es por pilón de uso público o red pública de agua, Uso de letrina como servicio higiénico, el alumbrado es por panel solar o electricidad tiene conocimiento de ocurrencia de desastres de mas de 10 años o cree que nunca ha pasado, cada 2 años ha tendio capacitación en temas de riesgo de desastres, actitud frente al reisgo es regularmente positiva. Hasta 200 viviendas expuestas al riesgo, el material predominante de las paredes es de ladrillo o bloque de cemento y/o piedra o sillar, con techo de concreto armado, con buen estado de conservación; la actividad laboral es de hospedajes y restaurante u otros.	0.002≤ R < 0.008

Ga

TANIA MIRTHARIOS ARAUJO INGENIERA GEOGRAFA Reg. CIP.Nº 79935

5.2.4 MAPA DE RIESGOS

Figura 09. Mapa de Riesgo



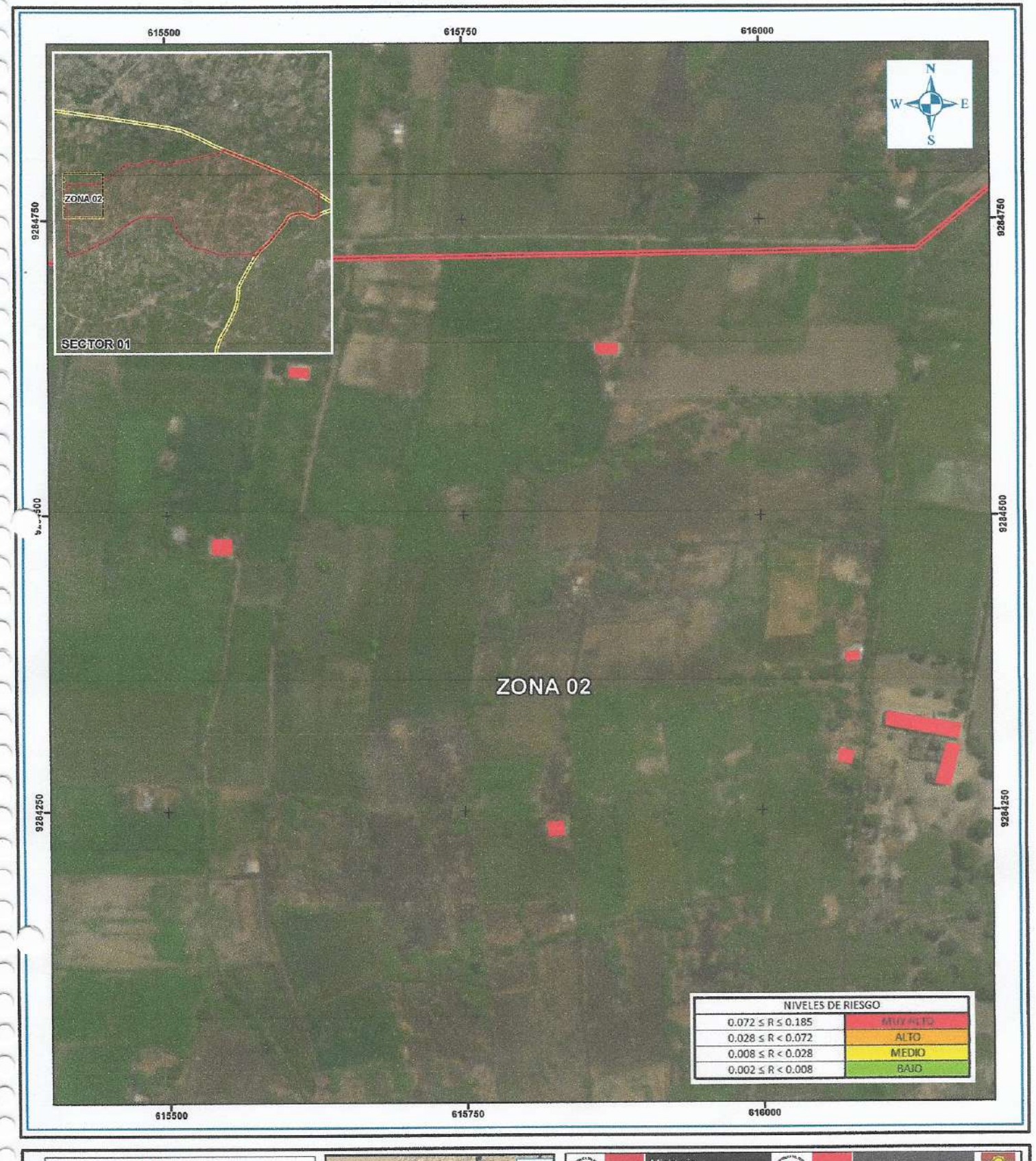
DCEANO PACIFICO

Escala: 1:3.000

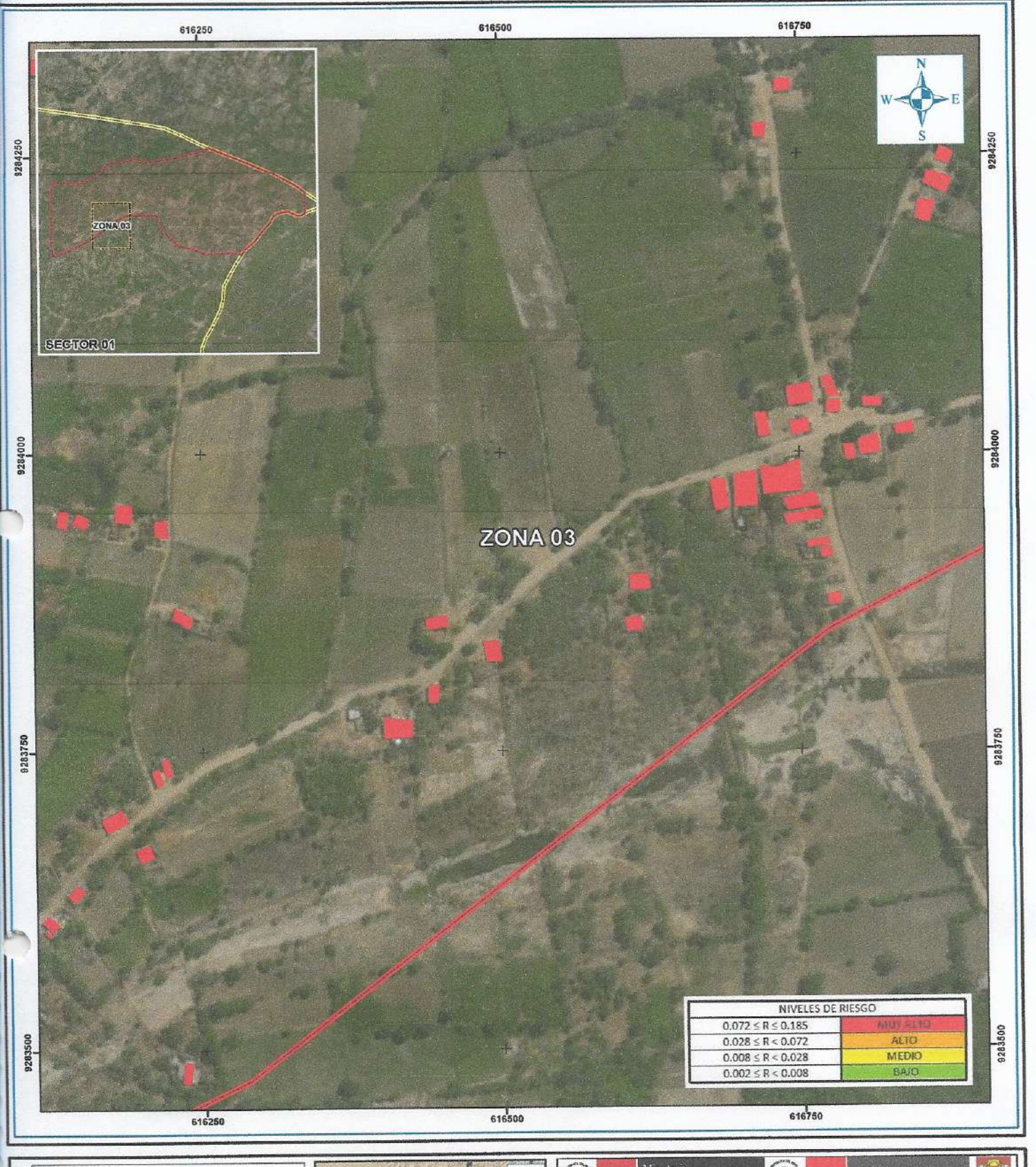
Kul

Fuente: Elaborado con información proporcionada de IGN, INGEMMET, INEI, SENAMHI y ZEE Lambayeque ANIA MIRTHA RIOS ARAUJO INGENIERA GEOGRAFA
Reg. CIP. Nº 79935

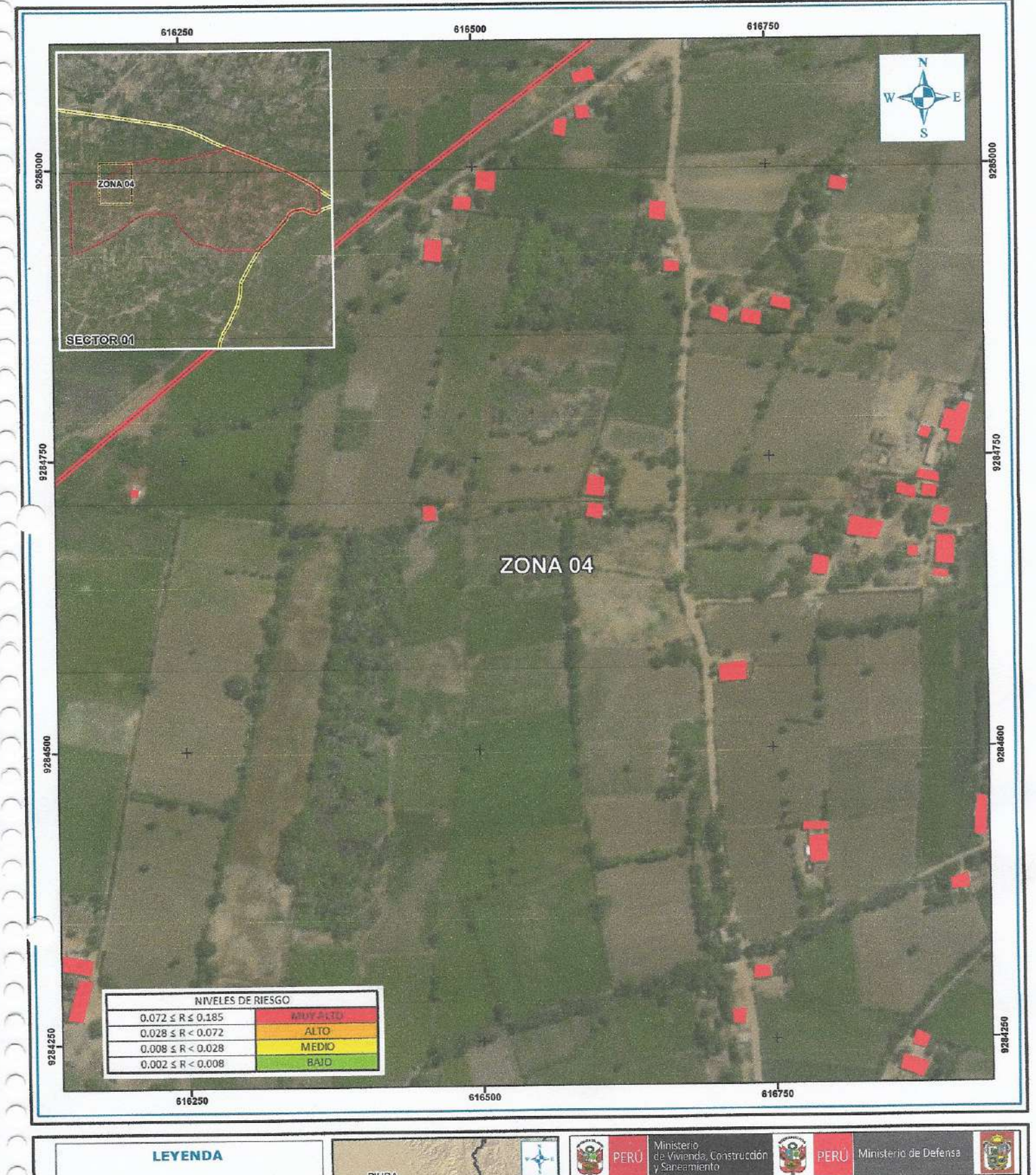
Fuente: Instituto Geográfico Nacional (IGN), Red Vial Nacional (RVN) Instituto Nacional de Estadistica e Informática (INET)



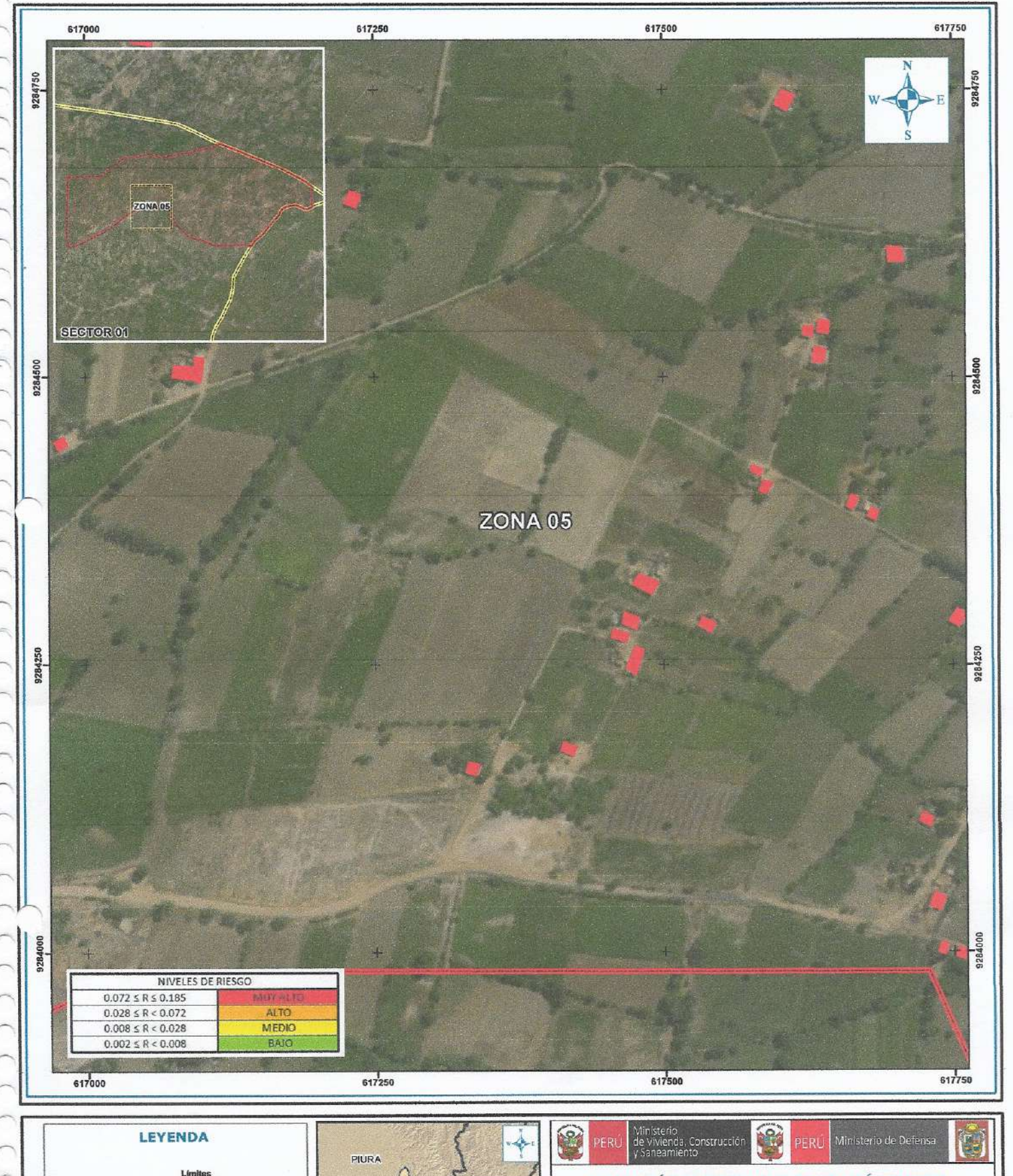






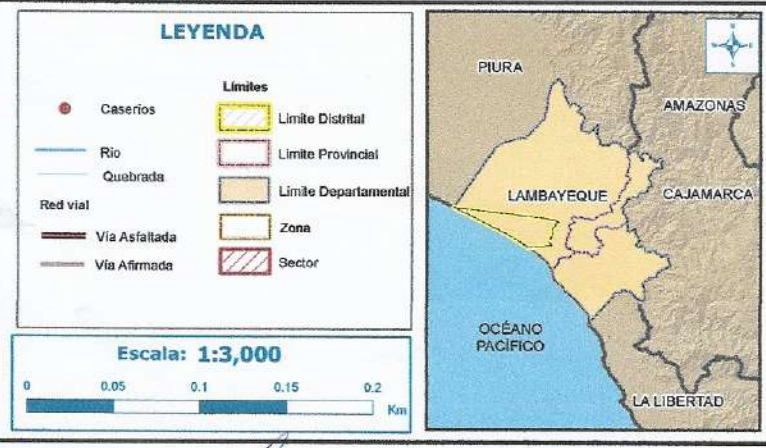












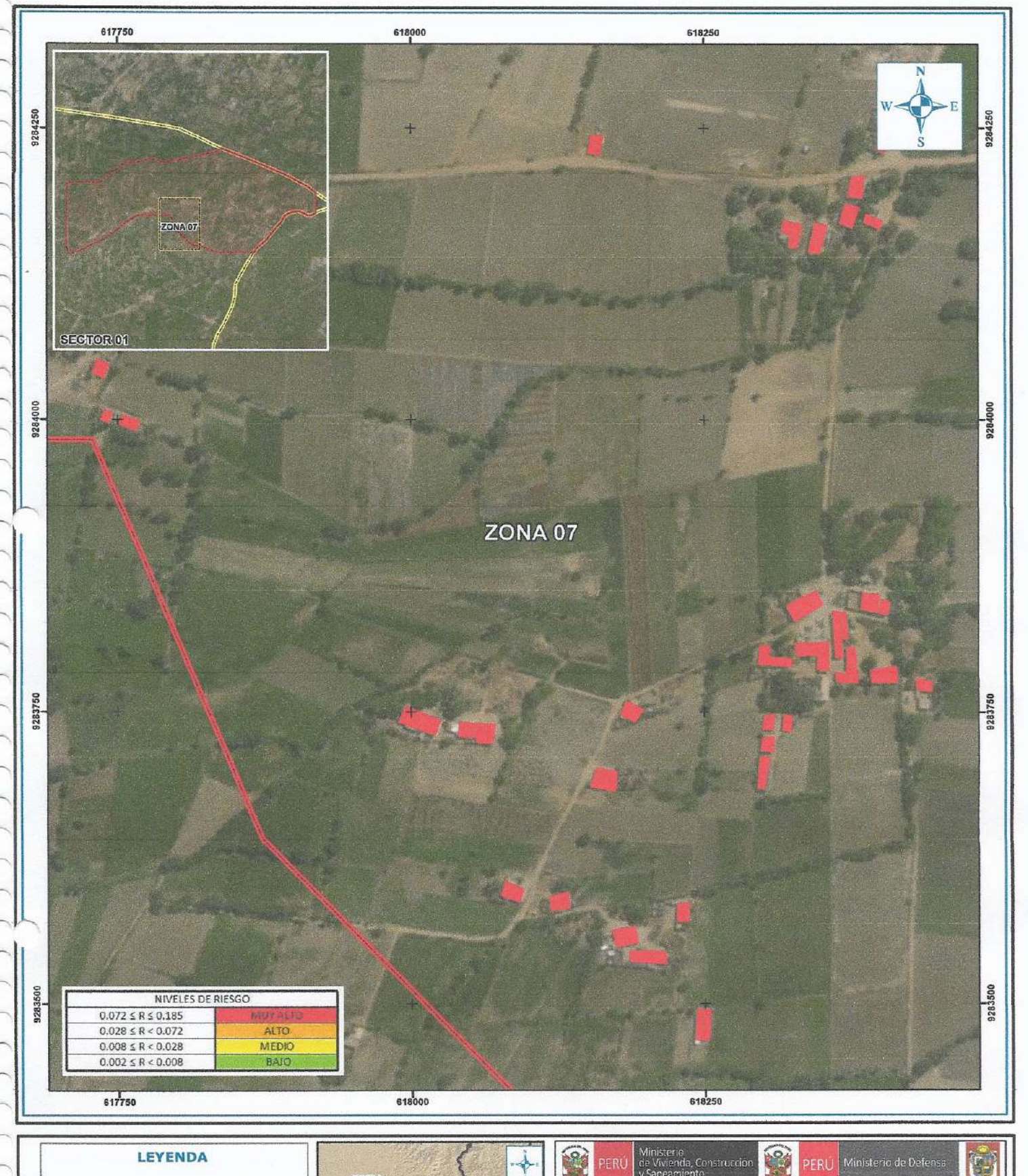


MAPA DE RIESGINGENIERA GEOGRAFA ZONA 06 Reg. CIP. Nº 79935

Elaborado por:
PNVR-MVCS/CENEPRED

Fecha: Noviembre de 2018

Fuente: Instituto Geográfico Nacional (IGN), Red Vial Nacional (RVN) Instituto Nacional de Estadística e Informática (INEI)







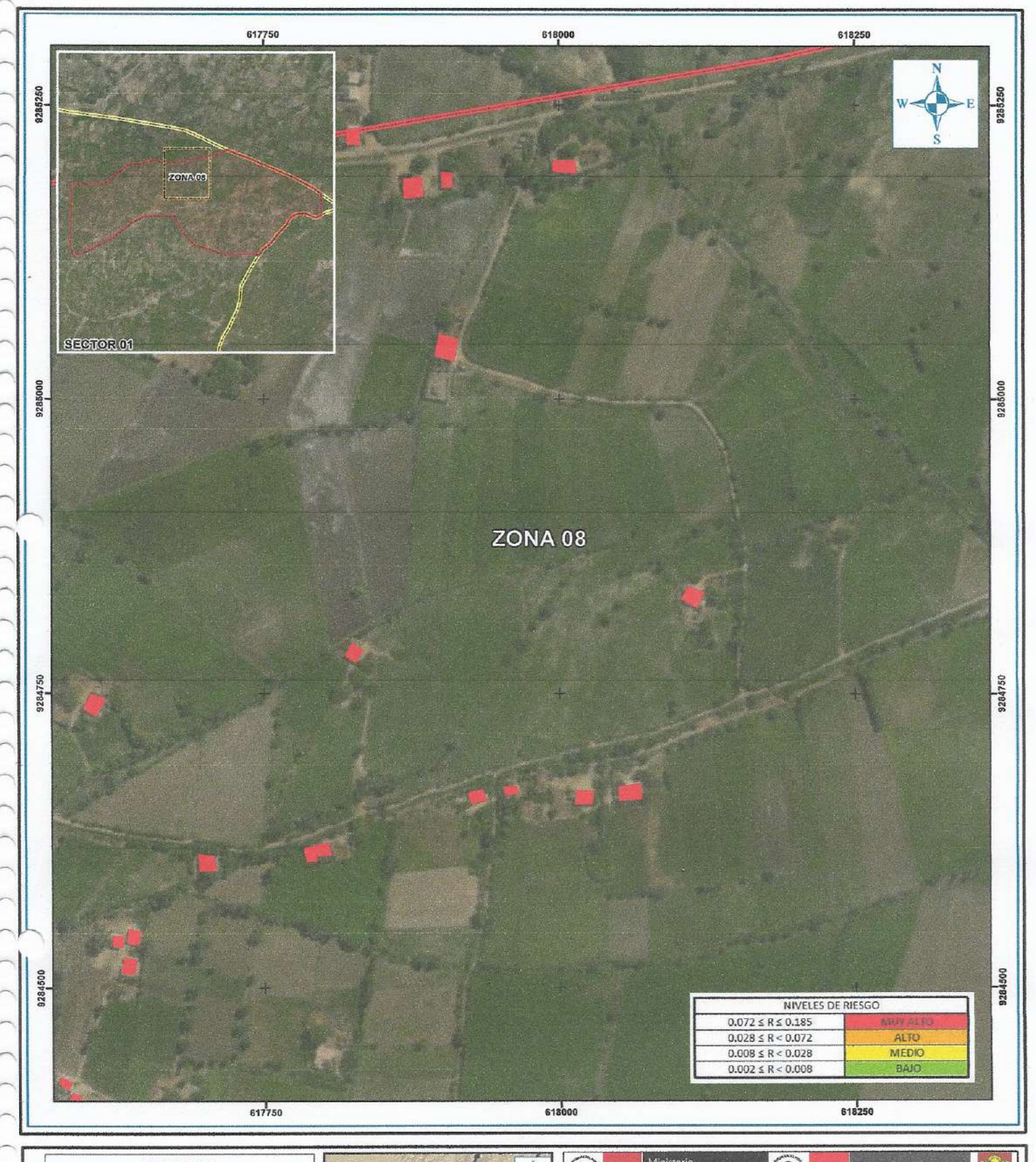
MAPA DE RIESGO TANIA MIRTHA RÍOS ARA ZONA 07 INGENIERA

PNVR-MVCS/CENEPRED

Elaborado por:

Fecha: Noviembre 88926 PgN° 79935

Fuente: Instituto Geográfico Nacional (IGN), Red Vial Nacional (RVN) Instituto Nacional de Estadística e Informática (INEI)



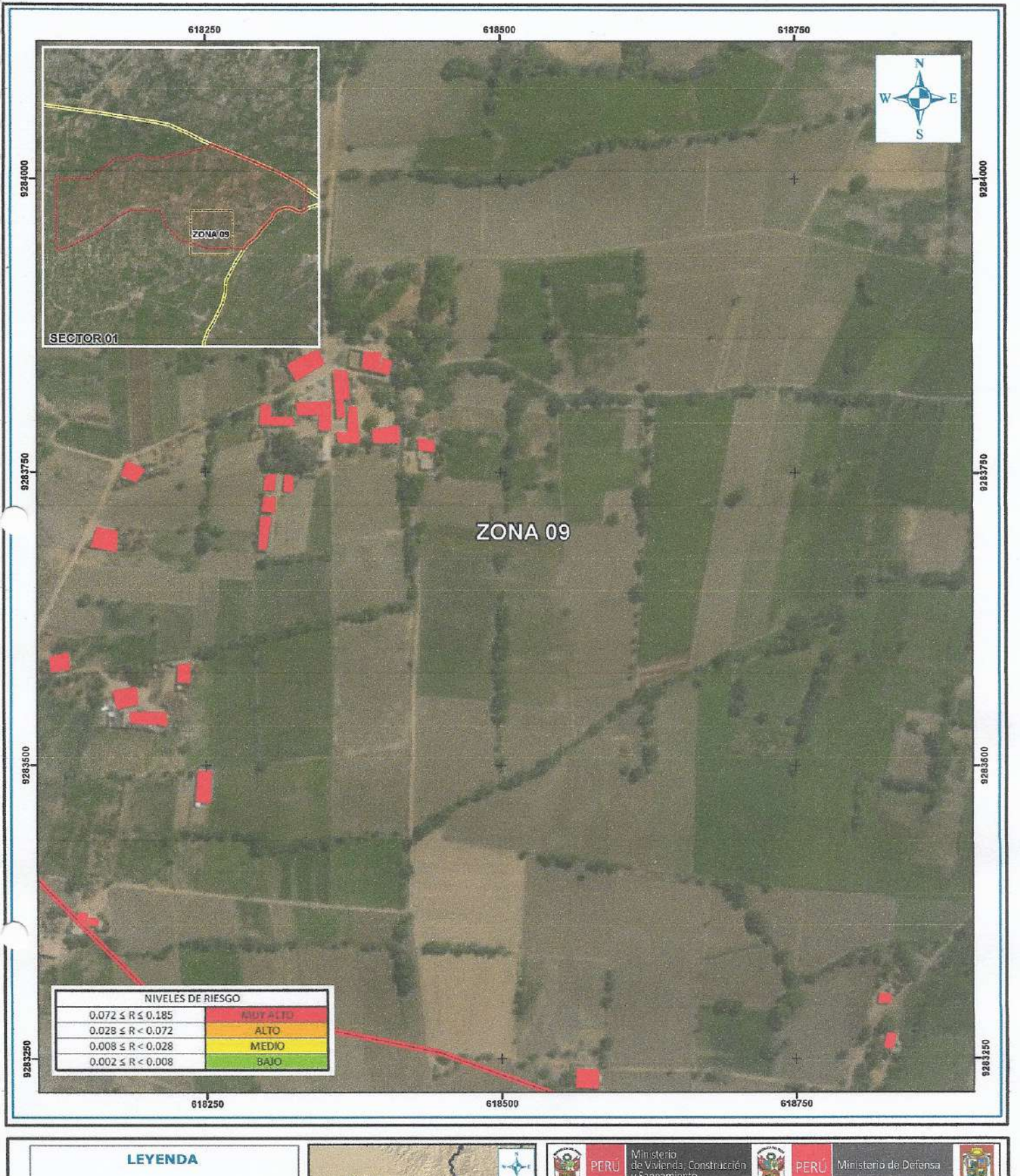




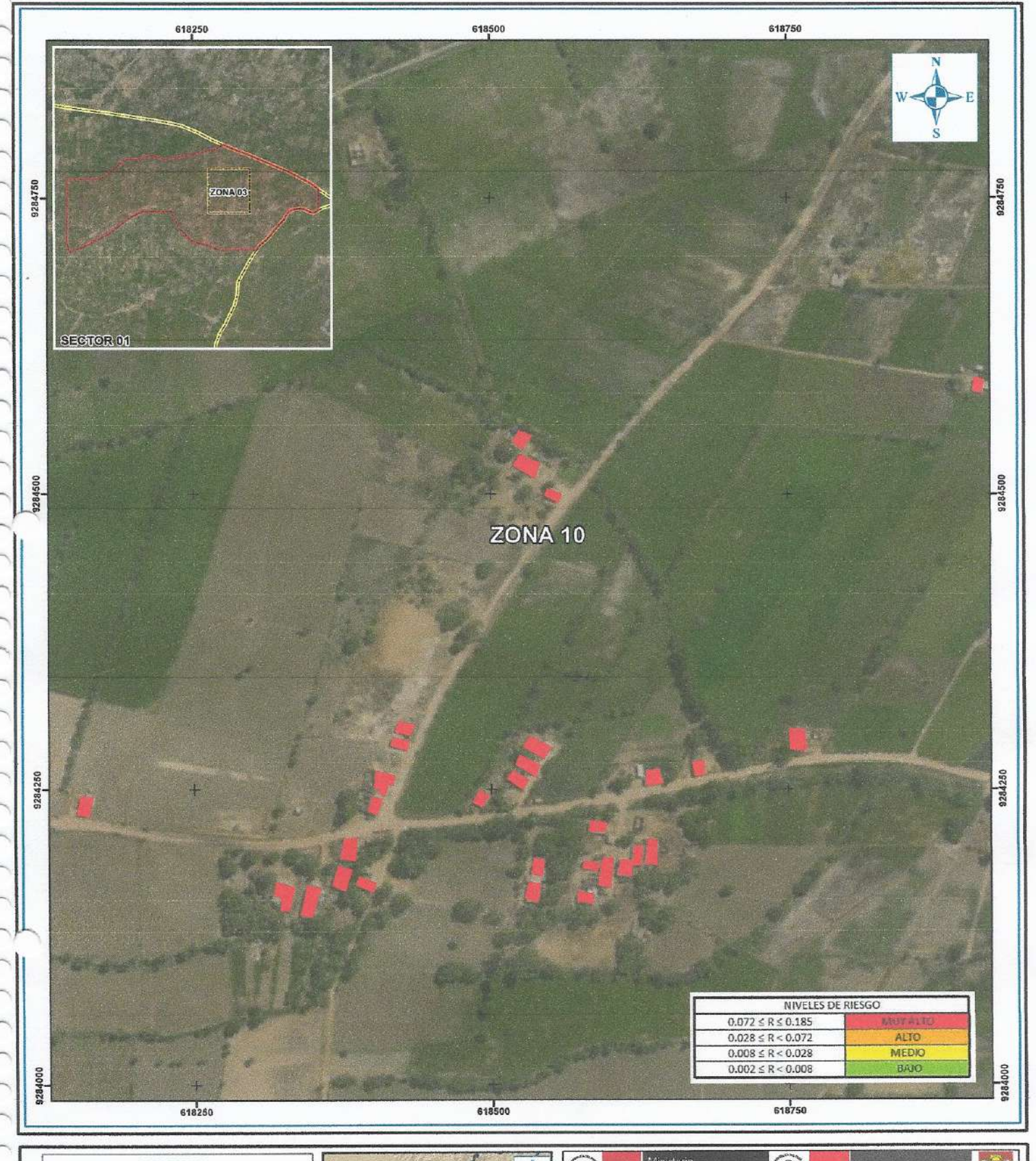
ZONA 08 INGENIERA GEOGRAFA
Reg. CIP. Nº 79935

Noviembre de 2018

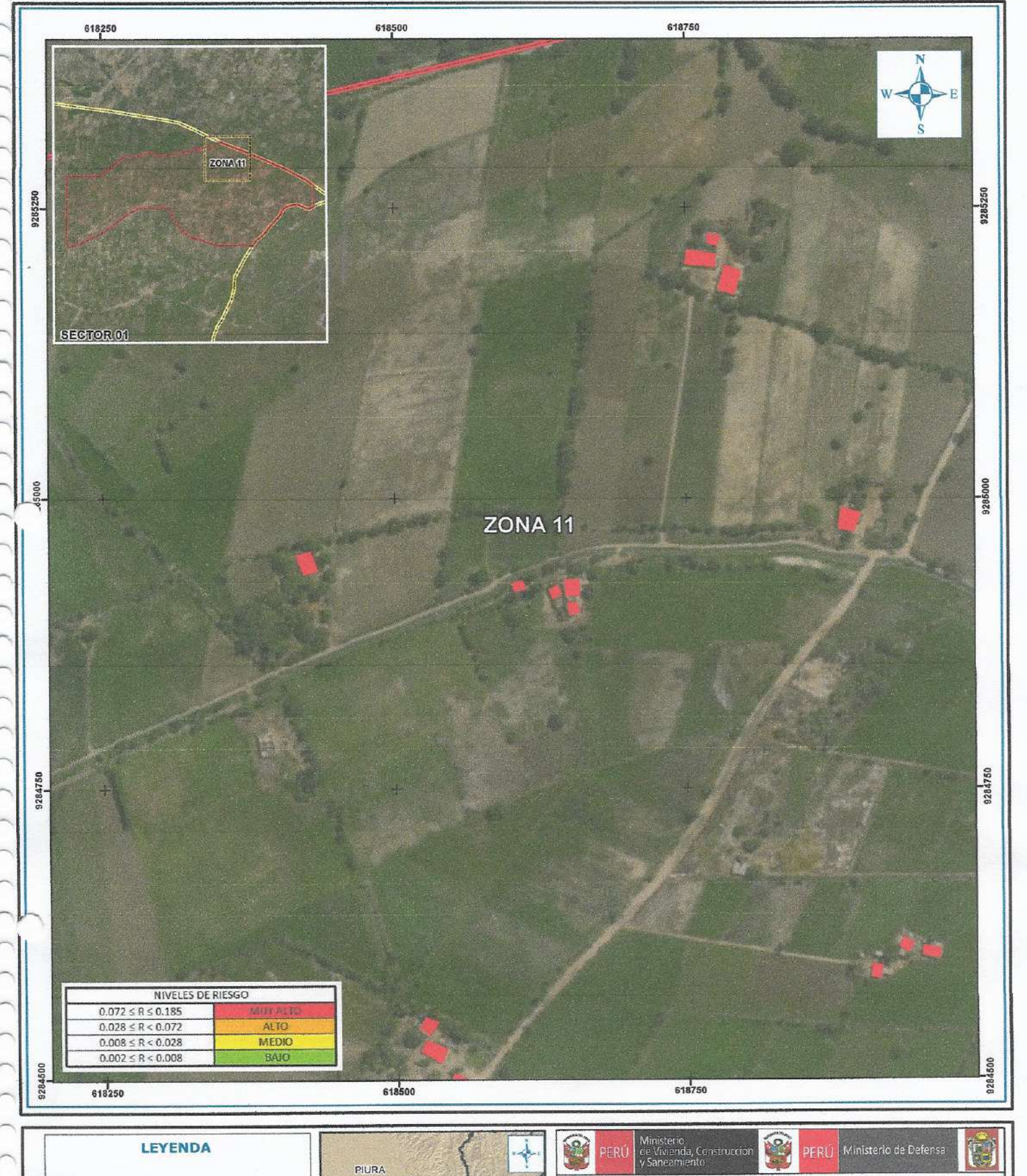
Fuente: Instituto Geográfico Nacional (IGN), Red Vial Nacional (RVN) Instituto Nacional de Estadística e Informática (INEI)



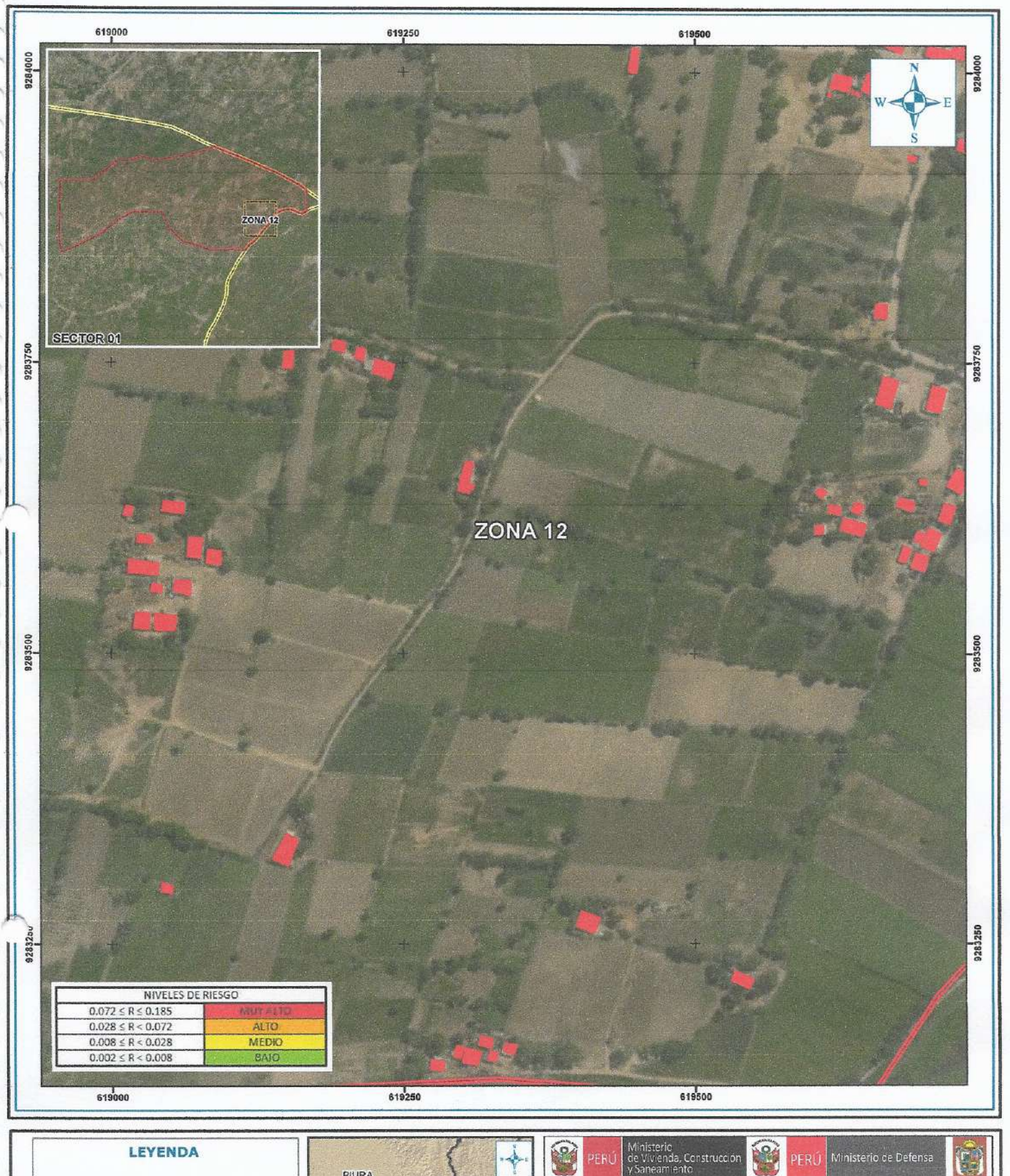




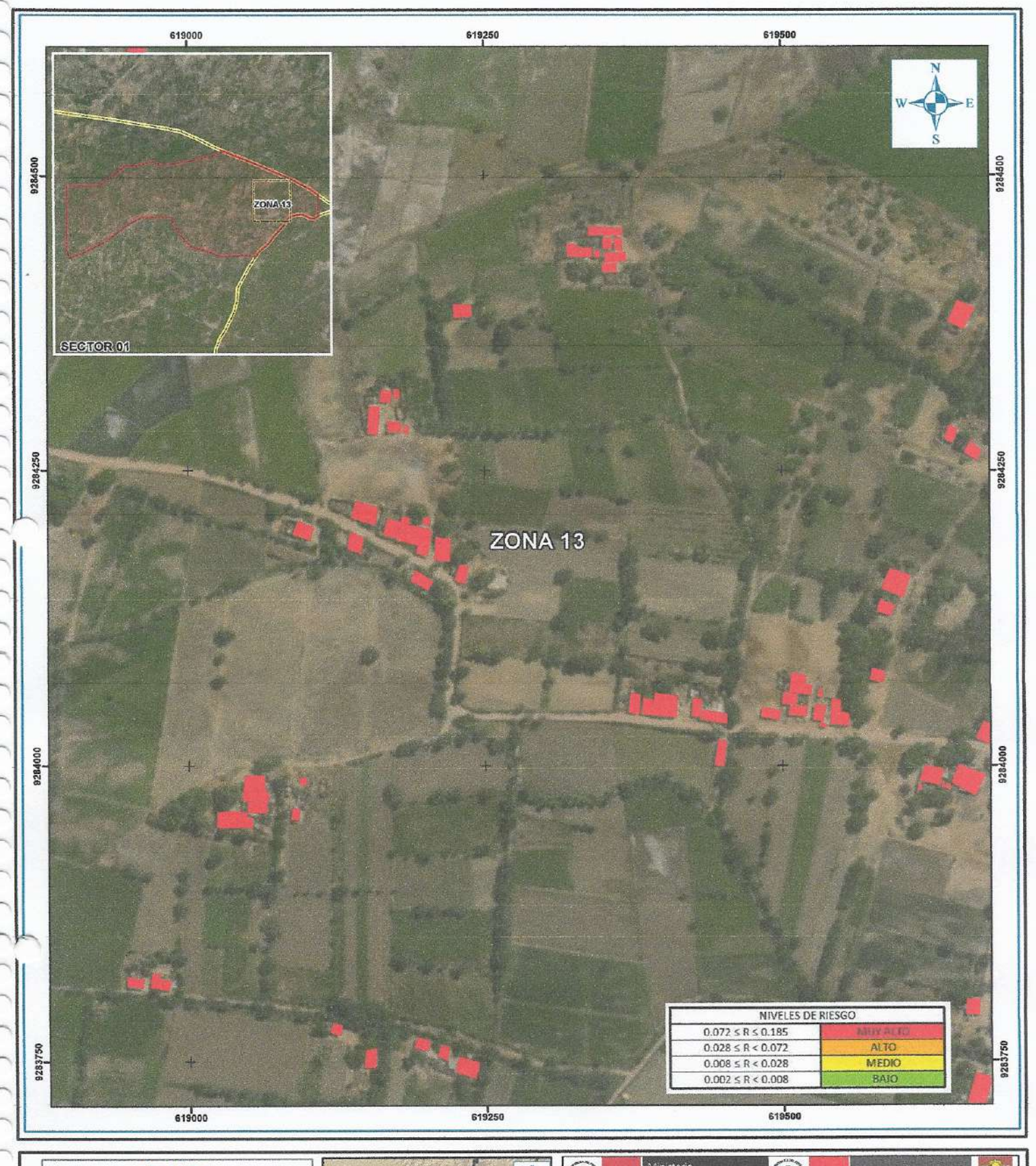














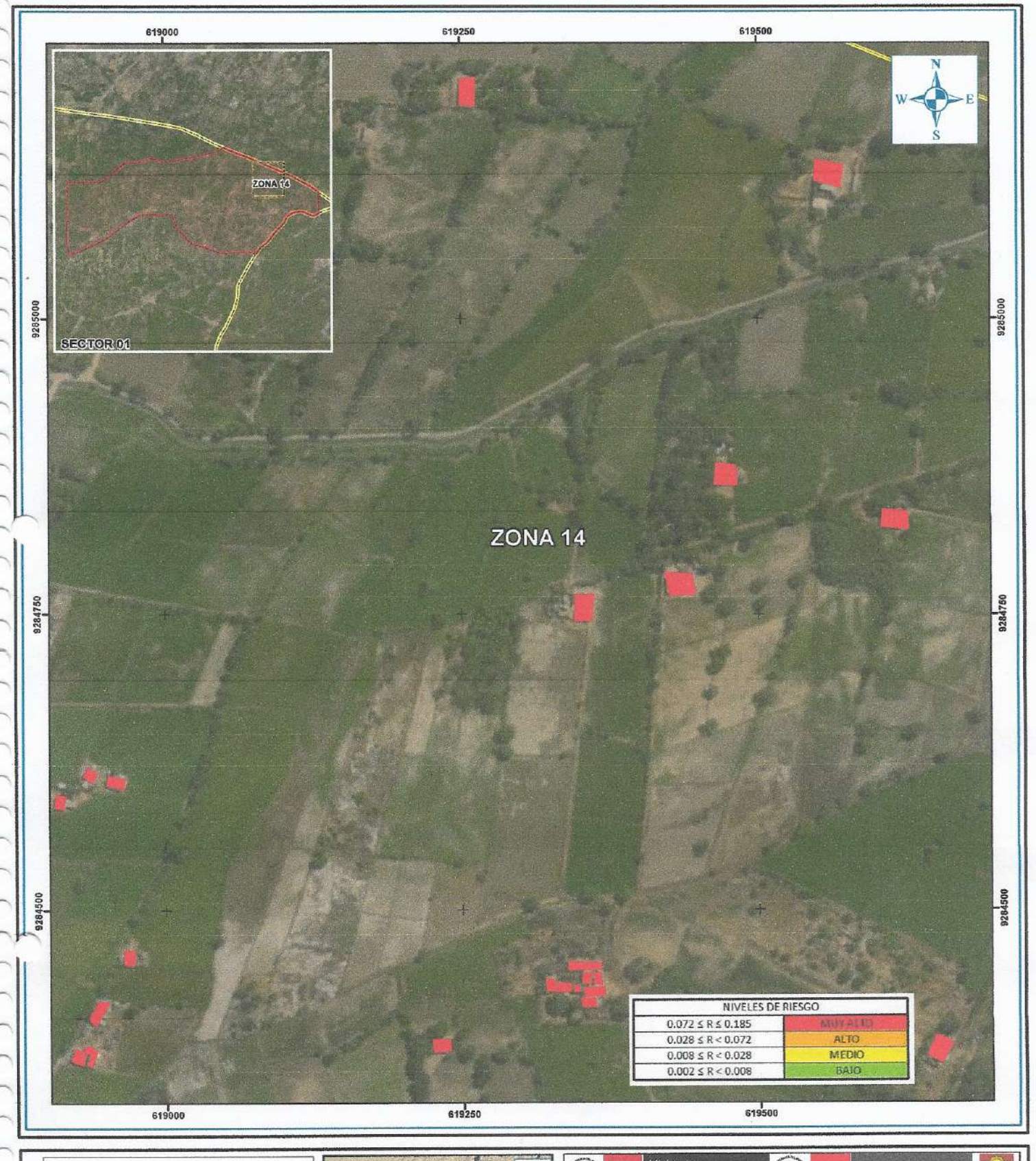


Elaborado por:

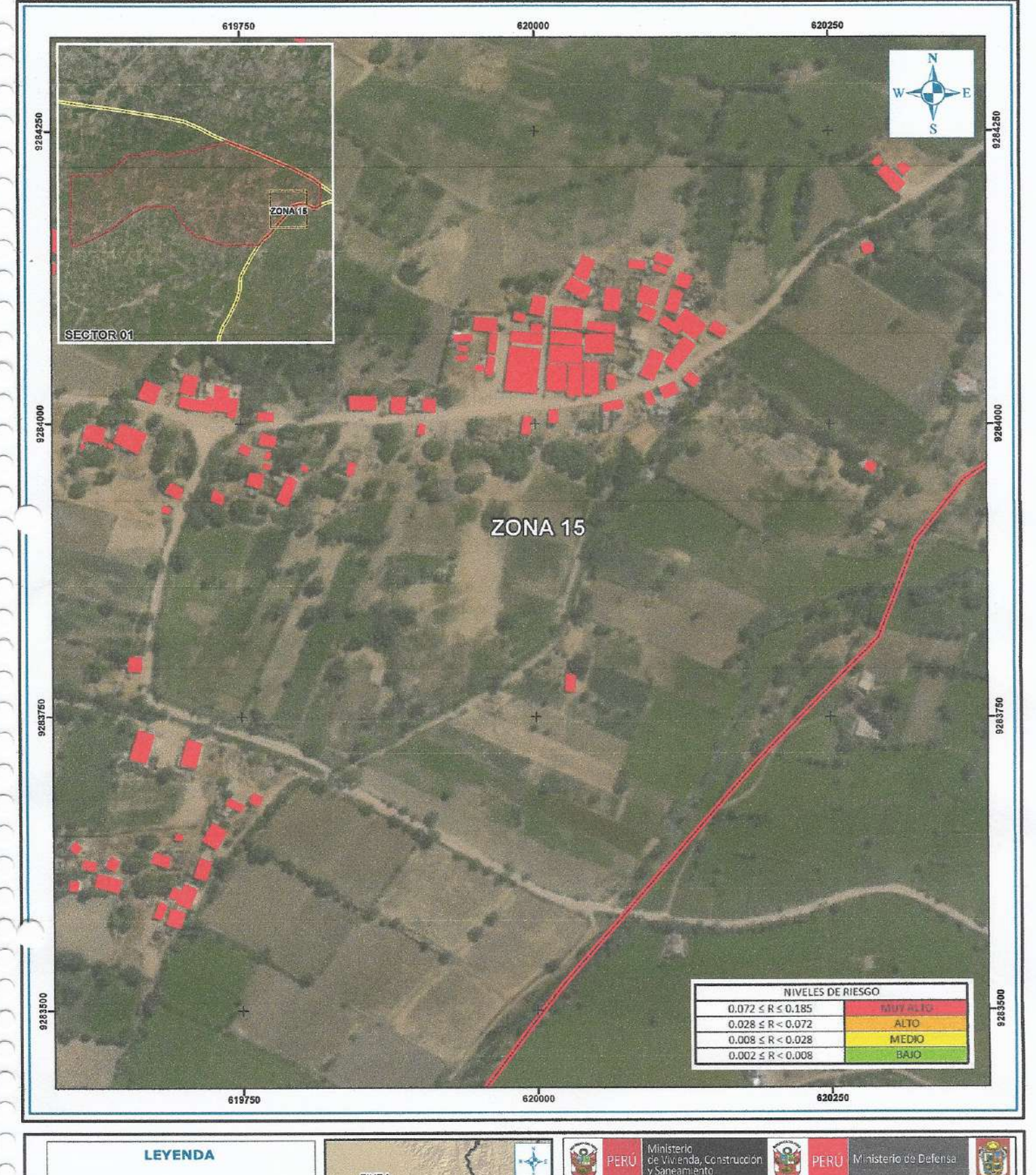
EVALUACIÓN DE RIESGO POR INUNDACIÓN PLUVIAL EN EL SECTOR 1, DEL DISTRITO DE MORROPE, PROVINCIA DE LAMBAYEQUE DEPARTAMENTO DE LAMBAYEQUE

MAPA DE RIESANA MIRTHARIOS ARAUJO ZONA13 INGENIERA GEOGRAFA INGENIERA GEOGRAFA Noviembre de 2018 Fecha: PNVR-MVCS/CENEPRED

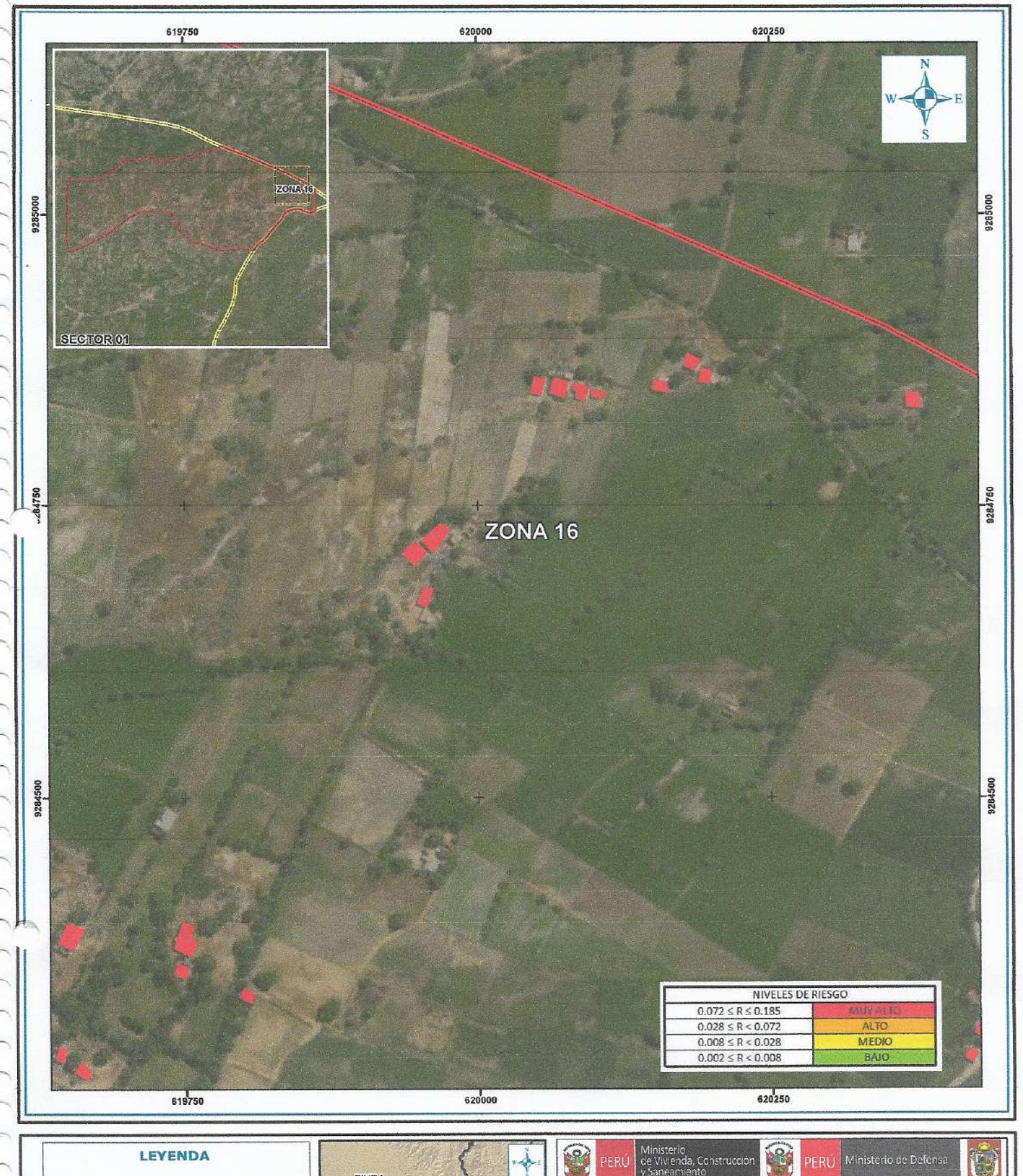
Fuente: Instituto Geográfico Nacional (IGN), Red Vial Nacional (RVN) Instituto Nacional de Estadística e Informática (INEI)



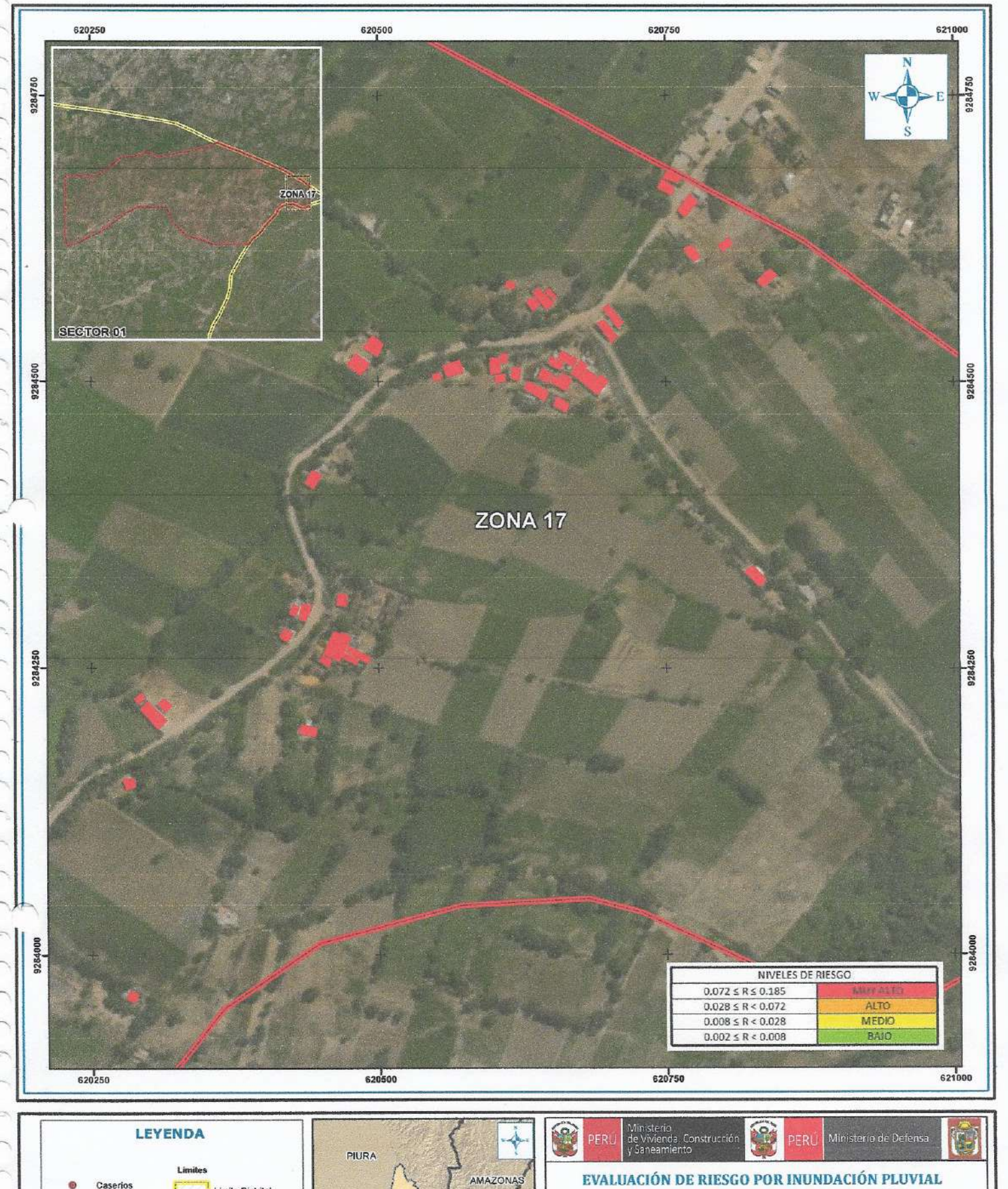














5.3 CÁLCULO DE POSIBLES PÉRDIDAS (CUALITATIVA Y CUANTITATIVA)

En esta parte de la evaluación, se estiman los efectos probables que podrían generarse en el sector 1 del distrito de Morrope, a consecuencia del impacto del peligro por inundación pluvial

Se muestra a continuación los efectos probables del sector 1 del distrito de Morrope, siendo estos de carácter netamente referencial.

Cuadro 141. Efectos probables del sector 1 de Morrope

Efectos probables	Cantidad	costo unitario S/.	Total	daños probables	perdidas probables
Daños probables					
17 viviendas construidas con material de concreto	17	40,000	680,000	680,000	
229 viviendas construidas con material de adobe	229	15,000	3,435,000	435,000	
3 institución educativa	3	150,000	450,000	450,000	
Pérdidas probables					
costo de adquisición de carpas	180	500	90,000		90,000
costo de adquisición de módulos de viviendas	50	8,000	400,000		400,000
gastos de atención de emergencia	920	500	460,000		460,000
TOTAL			5,515,000	1,565,000	950,000

Fuente: SIGRID e INEI.

5.4 MEDIDAS DE PREVENCIÓN Y REDUCCIÓN DE RIESGOS DE DESASTRES

5.4.1 DE ORDEN ESTRUCTURAL

- Aplicar inmediatamente medidas de control físico para la reconstrucción con cambios en la infraestructura actual, con adecuados materiales de construcción, así como la concepción de diseño elevado debido al tipo de suelo, entre otras medidas de prevención y/o reducción del riesgo a escala ingenieril con la finalidad de reducir el nivel de riesgo.
- Elaborar obras de infraestructura que permitan un mejor drenaje de las aguas de lluvias en el sector 1 del distrito de Morrope, para evitar las inundaciones y mitigar los efectos de las lluvias intensas.

TANIA MIRTHARIOS ARAUJO INGENIERA GEOGRAFA Reg. CIP Nº 79935

Gen

- Evaluar la posibilidad de construcción de cunetas en las vías para facilitar la escurrantía de las aguas de lluvias hacia la zona de desfogue, así también alcantarillas y badenes según corresponda.
- Considerar la construcción techos a 2 aguas (que tenga ángulo de caída) para que discurra el agua y no se empoce en los techos previniendo el empozamiento y probable colapso.

5.4.2 DE ORDEN NO ESTRUCTURAL

- A la autoridad que corresponda, utilizar el presente informe de evaluación de riesgo, según lo estipulado en la normatividad vigente.
- Incorporar la gestion de riesgo de desastre de manera transversal al proceso de planificación territorial y desarrollo local.
- Fortalecer la capacidad de gestión de autoridades, funcionarios y técnicos de la Municipalidad facilitando especialmente el cumplimiento de funciones y competencias asignadas según marco normativo vigente y la política nacional de gestión de riesgo de desastre.
- Capacitar a la población en el cumplimiento de las normas técnicas de construcción y alternativas de sistemas de construcción apropiadas y en el uso de letrinas, para el Sector 1, distrito de Morrope como medida de seguridad.
- Elaborar el Plan de Prevención y Reducción del riesgo de desastres ante los diversos fenómenos que puedan identificarse en el distrito.
- Fortalecer las capacidades de la población en materia de gestión prospectiva, correctiva y reactiva del riesgo de desastres.
- Instalar el Sistema de Alerta Temprana (SAT) por inundación a fin de que la población pueda conocer anticipadamente el tiempo en que ha de suscitarse un probable evento adverso y se encuentren preparados para responder adecuadamente.

Ante estos efectos probables y para evitar posible pérdidas, se recomienda la evaluación de las siguientes medidas estructurales y no estructurales, entre otras:

God

TANIA MIRTHA RIOS ARAUJO INGENIERA GEOGRAFA Reg. CIP. Nº 79935

CAPITULO VI: CONTROL DEL RIESGO

6.1. ACEPTABILIDAD O TOLERANCIA DEL RIESGO

Peligro por Inundación Pluvial

Tipo de peligro

: Hidrometeorológico

Tipo de Fenómeno

: Inundación Pluvial

Elementos Expuestos

: Sector A-Noroeste, distrito de Morrope, provincia de Lambayeque,

departamento de Lambayeque.

a) Valoración de consecuencias

Cuadro 142 Valoración de consecuencias

Valor	Nivel	Descripción
4	Muy Alta	Las consecuencias debido al impacto de un fenómeno natural sor catastróficas.
3	Alta	Las consecuencias debido al impacto de un fenómeno natural pueden ser gestionadas con apoyo externo.
2	Medio	Las consecuencias debido al impacto de un fenómeno natural pueden ser gestionadas con los recursos disponibles.
1	Baja	Las consecuencias debido al impacto de un fenómeno natural pueden ser gestionadas sin dificultad.

Fuente: CENEPRED

Del cuadro anterior, obtenemos que las consecuencias debido al impacto de un fenómeno natural son catastróficas, es decir, posee el Nivel 4- Muy Alta.

b) Valoración de frecuencia

Cuadro 143. Valoración de la frecuencia de ocurrencia

Valor	Nivel	Descripción
4	Muy Alta	Puede ocurrir en la mayoría de las circunstancias.
3	Alta	Puede ocurrir en periodos de tiempo medianamente largos según las circunstancias.
2	Medio	Puede ocurrir en periodos de tiempo largos según las circunstancias.
1	Baja	Puede ocurrir en circunstancias excepcionales.

Fuente: CENEPRED

Del cuadro anterior, se obtiene que el evento de inundación pluvial puede ocurrir en periodos de tiempo medianamente largos según las circunstancias, es decir, posee el nivel 3 - Alta.



TANIA MIRTHARIOS ARAUJO INGENIERA GEOGRAFA Reg. CIP. Nº 79935

c) Nivel de consecuencia y daños

Cuadro 144. Nivel de consecuencia y daños

Consecuencies	Nivel	Zor	ne de Con	secuencias y	darios
Muy Alta	4	Alta	Alfa	Muy Alta	Muy Alta
Alta	3	Media	Alta	Alta	Muy Ntn
Media	2	Media	Media	Alta	Alta
Saja		Baja	Media	Media	Alta
	Nive)	100	2	3	4
	Frecuencia	Bala	Media	Alta	Muy Atta

Panels: CRVEPRED.

De la anterior se obtiene que el nivel de consequencia y daño es de nivel 4 - Muy Alta.

d) Aceptabilidad y/o Tolerancia:

Cuadro 145. Nivel de consecuencia y daños

Valor	Descriptor	Descripción
4	Inadmisible	Se debe aplicar inmediatamente medida de control físico y de ser posible transferir inmediatamente los riesgos.
3	Inaceptable	Se deben deserrollar actividades INMEDIATAS y PRIORITARIAS para el manejo de nesgos
2	Tolerable	Se deben desarrollar actividades para el manejo de riesgos
and the same	Hosptanie	El rinsgo no presenta un peligro significativo

Fuente: CENEPRED

De lo anterior se obtiene que la aceptabilidad y/o Tolerancia del Riesgo por inundación pluvial en el Sector 1 del distrito de Morrope, es de nivel 4 – Inadmisible.

La matriz se Aceptabilidad y/o Tolerancia del Riesgo se indica a continuación:

Cuadro 146. Nivel de consequencia y defice

Reago	Riesgo	tootmisbie	Reego
Inaceptable	Inacoptable		Inadmisible
Riesgo	- Riesgo	Riesgo	Riesgo
Tolarabie	Inaceptrible	Inaceptable	Inadmisióle
Riesgo	Riesgo	Riesgo	Riesgo
Tolerable	Tolombie	Insceptable	Inaceptable
filosom	Riesgo	Riesgo	Riesgo
Azamatic	Tolerable	Tolerable	Inaceptable

Fuenta: CENEPRED



TANIA MIRTHARIOS ARABUÓ INGENIER - DECIGRAPA Bro-Cil Las Trichs

e) Prioridad de Intervención

Cuadro 147. Prioridad de Intervención

Valor	Descriptor	Nivel de priorización
4	Inadmisible	1
3	Inaceptable	II
2	Tolerable	Ш
1	Aceptable	IV

Fuente: CENEPRED

Del cuadro anterior se obtiene que el nivel de priorización es de I, del cual constituye el soporte para la priorización de actividades, acciones y proyectos de inversión vinculadas a la Prevención y/o Reducción del Riesgo de Desastres.

De lo detallado en el presente informe se tiene que:

Las viviendas evaluadas en el Sector 1 del distrito de Morrope, se encuentra en Zonas de Muy Alto Riesgo ante inundación pluvial originadas por lluvias intensas. Por lo tanto se estiman viviendas en Alto Riesgo y viviendas en muy alto Riesgo

Se identificó el nivel de **Peligro Muy Alto** en el sector 1, ante eventos de inundación pluvial, siendo el nivel predominante de PELIGRO MUY ALTO.

Se identificaron los niveles de **Vulnerabilidad alta y muy alta**, predominando la vulnerabilidad en un nivel muy alto, debido principlamente a la fragilidad de las viviendas asendatas por el mal estado en que se encuentran, predominando las construcciones de adobe.

El nivel de aceptabilidad y Tolerancia del riesgo en el sector 1, es de Inadmisible, el cual indica que se debe aplicar inmediatamente medida de control físico y de ser posible transferir inmediatamente los riesgos.

Siendo el cálculo de los efectos probables ascendente a S/. 5,515,000Soles.

Es importante trabajar desde la gestión prospectiva para no construir vulnerabilidades en los nuevos proyectos de inversión y que sean sostenibles. Así mismo, se debe considerar que la gestión prospectiva y correctiva reducirán los riesgos y costos de la reconstrucción.

TANIA MIRTHARIOS ARAUJO INGENIERA GEOGRAFA Reg. CIP. Nº 79935

8

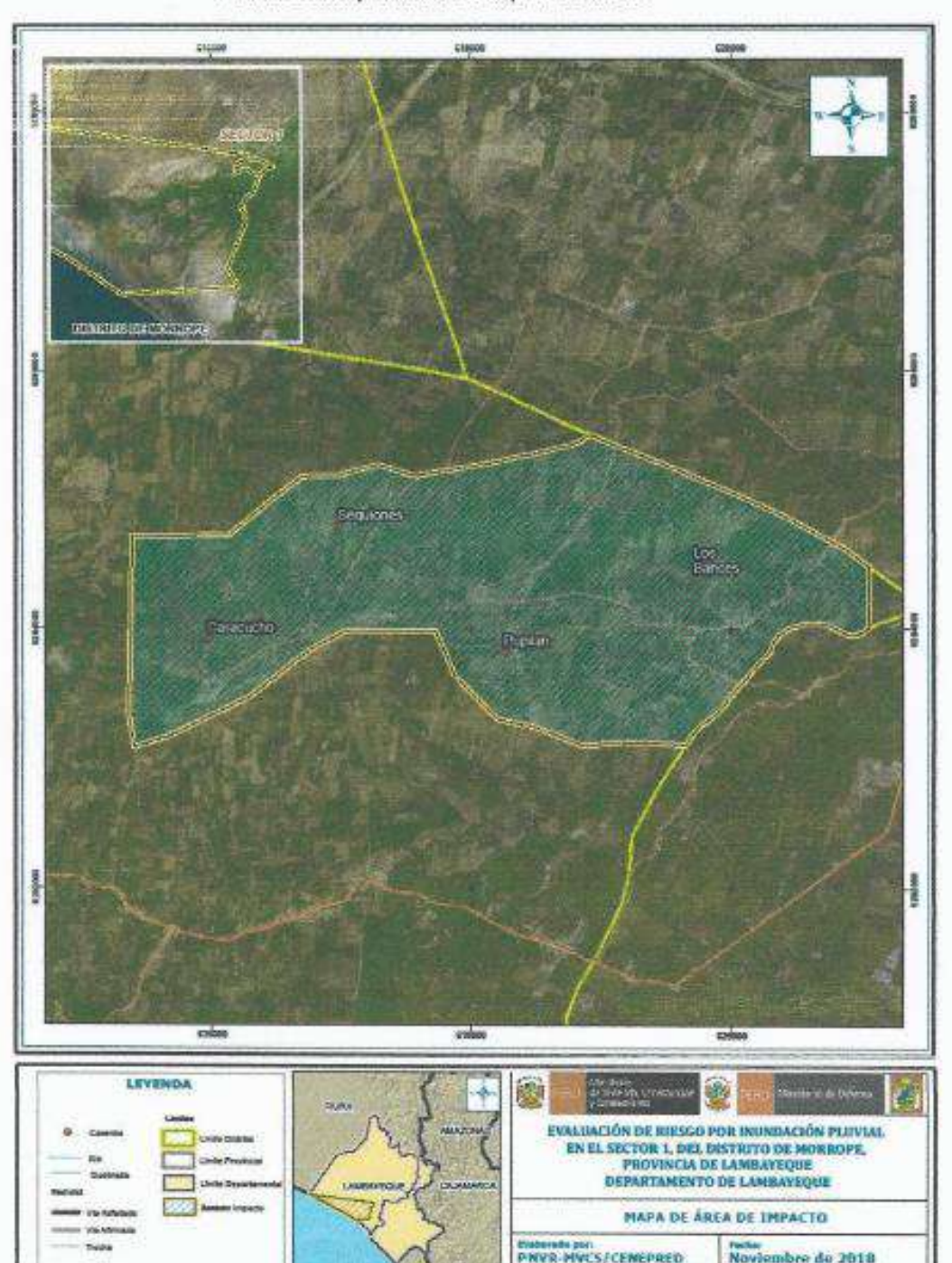
BIBLIOGRAFÍA

- Centro Nacional de Estimación, Prevención y Reducción del Riesgo de Desastres (CENEPRED), 2014. Manual para la evaluación de riesgos originados por fenómenos naturales. 2da versión.
- Instituto Nacional de Defensa Civil (INDECI). (2017). Informe de Emergencia Informe de emergencia N° 725 -24/08/2017/ COEN – INDECI (Informe N° 6454) "Precipitaciones Pluviales en el departamento de Lambayeque.
- Instituto Nacional de Estadística e Informática (INEI). (2017). Censo de Población, Vivienda e infraestructura Publica afectada por "El Niño Costero"
- Instituto Nacional de Estadística e Informática (INEI).(2016). Sistema de Información Estadístico de apoyo a la prevención a los efectos del Fenómeno de El Niño y otros Fenómenos Naturales.
- Ministerio de Agricultura y Riesgo Servicio Nacional de Meteorología e Hidrología(2013).
 Normales Decadales de temperatura y precipitación y calendario de siembras y cosechas.
 Lima, Perú. 439 pp.
- Servicio Nacional de Meteorología e Hidrología (SENAMHI).(2014). Estimación de Umbrales de Precipitaciones Extremas para la Emisión de Avisos meteorológicos, 11pp.
- Servicio Nacional de Meteorología e Hidrología (SENAMHI). (1988). Mapa de Clasificación Climática del Perú. Método de Thornthwaite. Eds. SENAMHI Perú, 14 pp.
- SENAMHI, 1988. Mapa de Clasificación Climática del Perú. Método de Thornthwaite. Eds.
 SENAMHI Perú, 14 pp.
- MINAGRI- SENAMHI. 2013. Normales Decadales de temperatura y precipitación y calendario de siembras y cosechas. Lima, Perú. 439 pp.
- SENAMHI, 2014. Estimación de Umbrales de Precipitaciones Extremas para la Emisión de Avisos meteorológicos, 11pp.
- SENAMHI, 2017. Monitoreo diario de Iluvias en las regiones Tumbes, Piura, Lambayeque, Cajamarca, La Libertad, Ancash, Lima, Huancavelica e Ica, para el periodo enero – abril 2017.
- SENAMHI-DHI, 2017. Uso del producto grillado PISCO de precipitación en estudios, investigaciones y sistemas operacionales de monitoreo y pronóstico hidrometeorológico, 21pp.
- ENFEN, 2017. Informe Técnico Extraordinario N° 001- 2017/ENFEN. El Niño Costero 2017, 31pp.

B

TANIA MRTHA RÍOS ARAUJO INGENIERA GEOGRAFA Reg. CIP. Nº 79935

ANEXO
ANEXO 01.Mapa de Área de Impacto FEN 2017



Fuente: Elaborado con información proporcionada de Instituto Geográfico Nacional, INGEMMET, SENAMHI, INEL y ZEE
TANIA MIRTHA RIOS ARAUJO
INGENIERA GEOGRAFA
Reg. CIP. Nº 79935

× 1:25,600

TANIA MIRTHA RÍOS ARAUJO INGENIERA GEOGRAFA Reg. CIR Nº 79935